



FCTUC FACULDADE DE CIÊNCIAS  
E TECNOLOGIA  
UNIVERSIDADE DE COIMBRA

DEPARTAMENTO DE  
ENGENHARIA MECÂNICA

# **Estudo numérico de propagação de fendas por fadiga em juntas soldadas em T**

Dissertação apresentada para a obtenção do grau de Mestre em Engenharia Mecânica na Especialidade de Produção e Projeto

## **Numerical study of fatigue crack growth in welded T-joints**

**Autor**

**André Lopes Almeida**

**Orientadores**

**Professor Doutor Fernando Jorge Ventura Antunes**

**Professor Doutor Ricardo Nuno Madeira Soares Branco**

**Júri**

**Presidente** Professor Doutor José Domingos Moreira da Costa  
Professor Associado com Agregação da Universidade de Coimbra

**Vogais** Professor Joel Alexandre da Silva de Jesus  
Assistente Convidado da Universidade de Coimbra

**Orientador** Professor Doutor Ricardo Nuno Madeira Soares Branco  
Professor Adjunto do Instituto Politécnico de Coimbra

**Coimbra, julho, 2016**

“Eu tentei 99 vezes e falhei,  
mas na centésima tentativa  
eu consegui.  
Nunca desista dos seus objetivos  
mesmo que esses pareçam  
impossíveis,  
a próxima tentativa  
pode ser a vitoriosa.”  
Albert Einstein

Aos meus pais e irmãos.

## Agradecimentos

A realização da presente dissertação tornou-se possível graças ao contributo e apoio de várias pessoas, auxílio esse fundamental para a consecução deste projeto. Deste modo, não poderia neste momento deixar de dirigir os meus sinceros agradecimentos:

Ao orientador, Professor Doutor Ricardo Nuno Moreira Soares Branco, por toda a disponibilidade demonstrada, por toda a ajuda preciosa que deu de forma incondicional e todo o conhecimento que me transmitiu, facilitando todo o trabalho.

Ao orientador, Professor Doutor Fernando Jorge Ventura Antunes agradeço a disponibilidade e os conselhos dados na escolha do tema da dissertação.

À minha família, especialmente aos meus pais, por toda a motivação, apoio e paciência ao longo desta longa caminhada. Devo-lhes muito do que sou hoje, e sei que sem eles e sem as condições que me disponibilizaram, não seria possível alcançar os meus objetivos.

Aos meus irmãos, Filipe e Daniel, por toda a força e confiança que depositaram em mim, motivando-me sempre para fazer mais e melhor.

Aos meus amigos, que foram um dos pilares mais importantes neste percurso, aconselhando-me, motivando-me e garantindo que sinta orgulho no meu percurso. São todos enormes e especiais.

Aos Bombeiros de Aguiar da Beira, pelo apoio e pela garra e espírito de equipa que me ensinaram a ter, independentemente das adversidades.

À Professora Doutora Marta Cristina Cardoso de Oliveira e Professora Doutora Ana Paula Bettencourt Martins Amaro pela disponibilização do *template* e pela ajuda.

À Fundação para a Ciência e Tecnologia e ao Programa Operacional Temático Fatores de Competitividade (COMPETE), participado pelo fundo comunitário Europeu FEDER (Projeto PTDC/EMS-PRO/1356/2014; COMPETE: T449508144-00019113).





---

## Resumo

A fadiga é um processo de alteração estrutural permanente, progressivo e localizado, que resulta de cargas cíclicas aplicadas em componentes, sendo estas responsáveis pela grande parte das falhas de serviço e pela rotura dos materiais. O comportamento à fadiga de juntas soldadas, continua a ser uma área muito investigada. Apesar dos grandes avanços conseguidos na tecnologia da soldadura, as ligações soldadas continuam a ser um ponto crítico e suscetível à iniciação e propagação de defeitos por fadiga. A investigação de fenómenos de fadiga com base em abordagens numéricas, devido ao crescente aumento das velocidades de processamento dos computadores da atualidade, tem-se revelado muito atrativa. De entre as várias técnicas numéricas, destaca-se o método dos elementos finitos, que permite simular geometrias e carregamentos complexos.

Neste trabalho, o principal objetivo consiste no desenvolvimento de um procedimento automático, baseado no método dos elementos finitos, para o estudo de fenómenos de propagação de fendas por fadiga em juntas soldadas em forma de T sujeitas a cargas cíclicas em Modo-I. O procedimento procura implementar uma técnica de remalhagem adaptativa com múltiplos graus de liberdade para a frente de fenda, e é desenvolvido usando o ambiente de programação Visual Basic 2012. As malhas de elementos finitos são constituídas por três regiões: uma região em forma de teia de aranha junto à frente de fenda; uma malha de transição que procura criar uma caixa retangular; e uma malha regular que preenche o resto da peça. Os campos de deslocamentos são obtidos a partir da ferramenta computacional COSMOSM. Os fatores de intensidade de tensão ao longo da frente de fenda são calculados com o método direto da extrapolação com dois pontos. Os avanços da frente de fenda são obtidos através de curvas  $da/dN - \Delta K$ . As frentes de fenda são definidas usando funções *cubic spline*. O procedimento desenvolvido tem elevada flexibilidade: permite estudar diferentes formas de fendas, incluindo fendas de canto, e fendas superficiais; diferentes geometrias das peças a unir; diferentes formas de cordões e níveis de penetração da soldadura; diferentes tipos de carga, incluindo tração, flexão e tração-flexão; entre outros.

**Palavras-chave:** Junta soldada em forma de T, Propagação de fenda por fadiga, Propagação automática de fenda, Técnica de remalhagem adaptativa, Método dos elementos finitos.



## Abstract

Fatigue is a progressive and localised structural damage caused by cyclic loading, which are largely responsible for the failure of materials. The fatigue behavior of welded joints has been extensively studied over the years. Despite the great advances in welding technology, welded connections are susceptible to fatigue crack initiation and fatigue crack propagation. The research of fatigue phenomena from numerical approaches, due to high processing capacity of today's computers, has proved to be very attractive. Among the various advanced numerical techniques, the finite element method is one of the most efficient because it can handle complex geometries and complex loading.

In this work, the main objective is to develop an automatic procedure based on the finite element method to the study fatigue crack growth phenomena in welded T-joints subject to Mode-I cyclic loading. The procedure implements an adaptive re-meshing technique with multiple degrees of freedom along the crack front using the Visual Basic 2012 programming language. The finite element meshes combine three regions: a spider web mesh near the crack front; a transition mesh whose main aim is to create a rectangular box; and a regular mesh that fills the rest of the body. The displacement fields are obtained from the COSMOSM computational tool. The stress intensity factors along the crack fronts are calculated using the direct method of extrapolation with two points. The advances of the crack front nodes are obtained from  $da/dN - \Delta K$  curves. The crack front shapes are defined through cubic spline functions. The procedure developed is very flexible. It allows to study different crack front shapes, including corner cracks and surface cracks; different geometries of the base materials; different welding geometries and penetration levels; different loading scenarios, including tension, bending and both; among others.

**Keywords** Joint welded T-shaped, Propagation of fatigue cracks, Crack propagation automatic, Adaptive remeshing technique, Finite Element Method.





## Índice

Índice de Figuras .....	ix
Índice de Tabelas .....	xiii
Simbologia e Siglas .....	xv
Simbologia.....	xv
Siglas .....	xvii
1. INTRODUÇÃO.....	1
1.1. Enquadramento .....	1
1.2. Objetivos.....	3
1.3. Estrutura da dissertação .....	4
2. REVISÃO BIBLIOGRÁFICA.....	5
2.1. Fadiga.....	5
2.2. Técnicas de Remalhagem .....	8
2.2.1. Modelo de dois graus de liberdade.....	9
2.2.2. Modelo de múltiplos graus de liberdade.....	10
2.3. Técnica de propagação automática da fenda .....	10
2.3.1. Modelo dos elementos finitos.....	11
2.3.2. Topologia da Malha.....	12
2.3.3. Tipos de elementos finitos.....	13
2.3.4. Tamanho radial dos elementos da frente de fenda .....	16
2.3.5. Malha ortogonal ao longo da frente de fenda.....	16
2.3.6. Modelo dos elementos finitos.....	17
2.3.7. Fator de intensidade de tensão.....	19
2.3.8. Incremento máximo da fenda .....	19
3. DESCRIÇÃO DO PROBLEMA .....	23
3.1. Modelo Físico .....	23
3.1.1. Carregamento.....	26
3.1.2. Propriedades do Material.....	27
3.2. Modelo Numérico .....	28
3.2.1. Método de Cálculo de K.....	31
3.2.2. Definição da frente de fenda.....	32
4. DESENVOLVIMENTO DO MODELO DE PROPAGAÇÃO AUTOMÁTICA DE FENDA.....	35
4.1. Pré-Processamento .....	36
4.2. Processamento .....	37
4.3. Pós-Processamento .....	45
5. CONCLUSÕES E PERSPETIVAS FUTURAS .....	49
REFERÊNCIAS BIBLIOGRÁFICAS .....	53
APÊNDICE A .....	57

---

APÊNDICE B.....	101
-----------------	-----

## ÍNDICE DE FIGURAS

Figura 2.1. Diagrama da curva típica $da/dN - \Delta K$ (adaptada de Paiva, 2015).....	6
Figura 2.2. Técnica de remalhagem adaptativa (adaptada de Branco <i>et al.</i> , 2015).....	9
Figura 2.3. Principais variáveis numéricas que afetam a precisão da técnica remalhagem adaptativa (adaptada de Branco <i>et al.</i> , 2015). .....	11
Figura 2.4. Topologia típica de malhas de elementos finitos (Branco <i>et al.</i> , 2008): (a) malha em teia de aranha; (b) malha de transição; (c) região da fenda; (d) região sem fenda; (e) Modelo total (adaptada de Branco <i>et al.</i> , 2015). .....	12
Figura 2.5. Elementos finitos típicos: (a) elemento hexaédrico de 20 nós; (b) elemento em cunha de 15 nós; (c) elemento hexaédrico colapsado com os nós intermédios deslocados para $\frac{1}{4}$ da aresta; (d) elemento em cunha com os nós intermédios deslocados para $\frac{1}{4}$ da aresta (adaptada de Branco <i>et al.</i> , 2015). .....	14
Figura 2.6. Modos de solicitação elementares: a) Modo-I; b) Modo-II; c) Modo-III (adaptada de Branco, 2006).....	15
Figura 2.7. Efeito da malha não-ortogonal no fator de intensidade de tensão estimado a partir do método de deslocamento do ponto para $\frac{1}{4}$ da aresta assumindo: (a) distância $Q/A$ ; (b) distância $Q/A'$ (Lin e Smith, 1999a) (adaptada de Branco <i>et al.</i> , 2015).....	17
Figura 2.8. Definição da forma da frente de fenda: (a) linha poligonal; (b) curva <i>cubic spline</i> (adaptada de Branco <i>et al.</i> , 2015). .....	18
Figura 2.9. Efeito do incremento máximo de crescimento de fenda na: (a) vida de fadiga (Lin e Smith, 1999c); (b) forma de fenda (Branco, 2006) (adaptada de Branco <i>et al.</i> , 2015).....	21
Figura 3.1. Definição da geometria com: (a) fenda central superficial; (b) fenda de canto.23	
Figura 3.2. Definição das variáveis da geometria: (a) perspectiva tridimensional; (b) vista de lado; (c) secção da frente de fenda. ....	24
Figura 3.3. Definição dos cordões de soldadura: (a) nível de penetração da soldadura; (b) nós dos cordões. ....	25
Figura 3.4. Carregamento cíclico de amplitude constante.....	26
Figura 3.5. Diferentes tipos de carregamento: (a) Flexão típica em 3 pontos; (b) Tração; (c) Flexão; (d) Flexão e tração. ....	27
Figura 3.6. Topologia da malha da frente de fenda: (a) Malha em teia de aranha; (b) Malha de transição.....	29
Figura 3.7. Definição da malha regular: (a) malha do corpo do provete; (b) malha do plano da frente de fenda. ....	30

Figura 3.8. (a) Determinação esquemática do cálculo do fator de intensidade de tensão ao longo da frente de fenda usando o método de extrapolação com dois pontos; (b) Identificação dos nós intermédios movidos para $\frac{1}{4}$ da aresta. ....	31
Figura 4.1. Algoritmo do procedimento numérico desenvolvido.....	35
Figura 4.2. Resumo das principais subrotinas criadas para implementar o procedimento numérico desenvolvido.....	36
Figura 4.3. Malha em teia de aranha: (a) padrão 2D do 1º anel; (b) padrão 2D do 2º anel; (c) padrão 2D do 3º anel; (d) representação 3D primeiro anel; (e) representação 3D dos três anéis.....	38
Figura 4.4. (a) Padrão 2D da malha de transição; (b) representação 3D da malha de transição.....	39
Figura 4.5. (a) Malha no plano da fenda; (b) ampliação da zona junto à frente de fenda; (c) representação 3D da malha da zona 1; (d) representação 3D da malha da zona 2.40	
Figura 4.6. Geração da malha: (a) até aos apoios (NEL4=2); (b) até à extremidade superior do provete (NEL5=2). ....	41
Figura 4.7. (a) Perfil 2D na zona dos cordões de soldadura; (b) malha de elementos finitos na zona dos cordões de soldadura. ....	42
Figura 4.8. Geração da malha até à extremidade inferior do provete (NEL4=2 e NEL6=2). ....	43
Figura 4.9. Vários cenários de carregamento: (a) fenda de canto sujeita a tração com cargas aplicadas nas extremidades; (b) fenda de canto sujeita a flexão com cargas aplicadas nas extremidades. ....	44
Figura 4.10. (a) Representação das tensões de von Mises na peça; (b) detalhe na região da fenda. ....	46
Figura 4.11. Evolução da frente de fenda para uma fenda superficial com forma inicial semicircular com comprimento igual a 3 mm sujeita a flexão em três pontos. ....	47
Figura 4.12. Evolução do parâmetro adimensional a/b com o comprimento de fenda adimensional b/X1.....	48
Figura 4.13. Variação do $K_i/K_{m\acute{a}x}$ ao longo da frente de fenda para diferentes comprimentos de fenda. ....	48
Figura B.1. Ficheiro ASCII para abertura do programa de elementos finitos ( <i>configurations.txt</i> ). ....	101
Figura B.2. Ficheiro ASCII para definição da geometria do provete em T, do nível de penetração dos cordões de soldadura, dos tipos e magnitude dos carregamentos e das propriedades do material ( <i>options.txt</i> ). ....	101
Figura B.3. Ficheiro ASCII para definição da frente de fenda inicial ( <i>crack.txt</i> ). ....	102
Figura B.4. Ficheiro ASCII para definição das variáveis L1, L2, L3 e L4 (correspondentes as primeiras 4 variáveis do ficheiro) e das variáveis NEL ( <i>meshoptions.txt</i> ). ....	102
Figura B.5. Ficheiro ASCII para definição dos perfis de soldadura fissurados (3 colunas da esquerda) e não fissurados (3 colunas da direita) ( <i>weldprofile.txt</i> ). ....	103

Figura B.6. Ficheiro ASCII para definição da frente de fenda inicial, nº de iterações e nº de corridas realizadas (*resume.out*)..... 103



## ÍNDICE DE TABELAS

Tabela 3.1. Propriedades do alumínio 6082-T6 (Borrego, 2001).....	27
Tabela 3.2. Constantes da lei de Paris ( $da/dN - \Delta K[m/ciclo - MPa \cdot m^{1/2}]$ ).....	28





## SIMBOLOGIA E SIGLAS

### Simbologia

$a$  – Comprimento da fenda

$a_f$  – Tamanho máximo da fenda

$a_i$  – Tamanho mínimo da fenda

$b$  – Largura da fenda

$C$  – Constante da Lei de Paris

$d$  – Diâmetro

$da/dN$  – Velocidade de propagação da fenda

$da_i$  – Incremento local de fenda

$E$  – Módulo de Young

$E'$  – Módulo de Young modificado

$F_{máx}$  – Força máxima

$F_{mín}$  – Força mínima

$f(x_i)$  – Função

$f''(x_i)$  – Derivada de segunda ordem da função  $f''(x_i)$

$k$  – Número de nós

$K$  – Fator de intensidade de tensão

$K_{Ic}$  – Tenacidade à fratura

$K_{máx}$  – Fator de intensidade de tensão máximo

$K_{mín}$  – Fator de intensidade de tensão mínimo

$L_1$  – Tamanho radial dos elementos adjacentes à frente de fenda

$L_2$  – Tamanho radial do segundo anel da malha em teia de aranha

$L_3$  – Tamanho radial do terceiro anel da malha em teia de aranha

$L_4$  – Tamanho radial da malha de transição

Lig (1) – Nível de penetração da soldadura do cordão fissurado

Lig (2) – Nível de penetração da soldadura do cordão não-fissurado

- 
- $m$  – Expoente da Lei de Paris  
 $n$  – Número de intervalos  
 $NEL_i$  – Variável geométrica que controla a densidade da malha  
 $N_f$  – Número de ciclos de fadiga  
 $N^{(j)}$  – Número de ciclos de carga para o incremento  $j$   
 $r$  – Raio do sistema de coordenadas polares  
 $R$  – Razão de tensão  
 $r_p$  – Distância radial entre o nó P e a ponta da fenda  
 $r^{-\lambda}$  – Singularidade do campo de tensão  
 $t$  – Largura da peça  
 $T_i$  – Variável geométrica da malha de transição  
 $v_B$  – Deslocamento normal do plano da fenda para o ponto B  
 $v_P$  – Deslocamento normal do plano da fenda para o ponto P  
 $W$  – Comprimento da peça  
 $x_i$  – Coordenada x do nó  $i$   
 $X_i$  – Variável geométrica da peça na direção x  
 $Y_i$  – Variável geométrica da peça na direção y  
 $Y$  – Fator geométrico  
 $Z_i$  – Variável geométrica da peça na direção z  
 $\alpha_1$  – Declive junto à raiz do cordão  
 $\Delta a^{(j)}$  – Incremento da fenda do passo  $j$   
 $\Delta a_{máx}^{(j)}$  – Incremento máximo da fenda do passo  $j$   
 $\Delta K$  – Gama do fator de intensidade de tensão  
 $\Delta K^{(j)}$  – Gama do fator de intensidade de tensão do passo  $j$   
 $\Delta K_i$  – Gama do fator de intensidade de tensão do nó  $i$   
 $\Delta K_{lf}$  – Limiar de propagação de propagação de fenda por fadiga  
 $\Delta K_{máx}^{(j)}$  – Valor máximo da gama do fator de intensidade de tensão do passo  $j$   
 $\theta$  – Ângulo no sistema de coordenadas polares  
 $\sigma$  – Tensão remota aplicada  
 $\sigma_{máx}$  – Tensão remota máxima  
 $\sigma_{mín}$  – Tensão remota mínima

$\kappa$  – Parâmetro elástico

$\nu$  – Coeficiente de Poisson

## **Siglas**

EF – Elementos Finitos

MEF – Método dos Elementos Finitos

MFLE – Mecânica da Fratura Linear Elástica

SIF – *Stress Intensity Factor* (Fator de Intensidade de Tensão)

ASCII - *American Standard Code for Information Interchange* (Código Americano Padrão para o Intercâmbio de Informação)

# 1. INTRODUÇÃO

## 1.1. Enquadramento

No dia a dia, são várias as máquinas ou equipamentos cujos componentes estão sujeitos a cargas cíclicas. Estas cargas normalmente levam ao fim de um determinado tempo ao dano dos componentes. A ocorrência destes danos, pode causar paragens inesperadas na produção, que não estavam previstas nas tarefas de manutenção, e que podem conduzir a prejuízos económicos e até, em casos extremos, a acidentes de trabalho.

O fenómeno de fadiga é um processo de alteração estrutural permanente, progressivo e localizado, que resulta das cargas anteriormente mencionadas, sendo responsável pela maior parte das falhas de serviço (cerca de 90 %) e pela rotura dos materiais. Este fenómeno de fadiga é dividido em três etapas: i) nucleação e iniciação da fenda; ii) crescimento macroscópico da fenda, onde há uma propagação estável da fenda; iii) e, por fim, verifica-se a rotura do material.

Ao longo dos tempos, foram efetuados diversos testes e experiências, que contribuíram para muitos avanços no conhecimento desta área. No entanto, apesar destes avanços, existem ainda muitos outros focos de investigação em aberto, uma vez que se trata de um fenómeno bastante complexo, afetado por inúmeras variáveis. Um dos assuntos que atualmente continua a ser muito investigado é o comportamento à fadiga de juntas soldadas.

Devido aos avanços conseguidos na tecnologia da soldadura, este método de ligação estrutural tem vindo a ser cada vez mais utilizado. Porém, apesar de todos os avanços observados nas últimas décadas, o cordão de soldadura, devido à inevitável concentração de tensões associada, presença potencial de defeitos, bem como a existência de um campo de tensões residuais, continua a ser um ponto crítico e suscetível à iniciação e propagação de defeitos.

Neste sentido, torna-se muito importante a criação, por parte dos projetistas, de modelos de previsão de vida fiáveis, para que deste modo se possam definir de forma precisa as geometrias mais adequadas para cada caso.

O estudo do comportamento à fadiga dos cordões de soldadura tem sido realizado quer por via experimental, quer numérica. No entanto, devido ao aumento da capacidade de processamento dos computadores, bem como o sucesso verificado na aplicação de métodos numéricos avançados às ciências de engenharia, a abordagem numérica tem-se revelado uma abordagem cada vez mais atrativa.

No que diz respeito à propagação de fendas por fadiga, o desenvolvimento de modelos numéricos baseados na técnica de propagação automática tem sido uma via seguida. Esta técnica tem sido, essencialmente, implementada usando o método dos elementos finitos.

A técnica de propagação automática (Smith e Cooper, 1989) pode dividir-se em cinco etapas principais: (i) desenvolvimento de um modelo de elementos finitos tridimensional representativo; (ii) cálculo do campo de deslocamentos; (iii) cálculo dos fatores de intensidade de tensão efetiva ao longo da frente de fenda; (iv) determinação dos avanços da frente de fenda aplicando uma lei de propagação adequada; (v) definição de uma nova frente de fenda através das posições dos nós obtidos no passo anterior.

Esta técnica necessita do desenvolvimento de um conjunto de subrotinas específicas, de relativa complexidade, que não se encontram disponíveis nos principais *softwares* de elementos finitos utilizados na atualidade (tais como ABAQUS, ANSYS, PATRAN, MARC, etc.).

Embora esta seja uma técnica muito versátil e que tem permitido, com grande sucesso, efetuar estudos muito diversificados ao longo dos últimos 30 anos (Branco *et al.*, 2015) a sua aplicação no campo das juntas soldadas tem sido limitada, em certo ponto, devido a complexidade da malha, às exigências geométricas associadas a este tipo de situações e o comportamento local do material.

Assim neste trabalho, pretende-se desenvolver, otimizar e validar um modelo de elementos finitos tridimensional, que será baseado no conceito de propagação automática de fenda, para geometrias soldadas em forma de T, sujeitas a cargas em Modo-I (ver Figura 2.6). Este modelo deve ser suficientemente flexível para acomodar diferentes formas iniciais de fenda, diferentes perfis de cordão de soldadura, e também diferentes geometrias das peças a unir.

## 1.2. Objetivos

Este trabalho, como foi mencionado anteriormente, tem como objetivo desenvolver um modelo numérico tridimensional baseado na técnica de propagação automática (Smith e Cooper, 1989) para analisar juntas soldadas em forma de T sujeitas a cargas cíclicas em Modo-I.

Pretende-se que este modelo numérico seja bastante flexível de modo a permitir acomodar diferentes formas iniciais de fenda definidas a partir de um número variável de nós. Além disso, o modelo deve permitir simular, quer fendas superficiais, quer fendas passantes. Relativamente ao carregamento, devem ser previstos três cenários principais, nomeadamente tração, flexão e tração-flexão. A necessidade de flexibilidade para acomodar diferentes formas de perfis para cada um dos cordões de soldadura da junta em T também será tida em conta ao longo deste trabalho. Além disso, pretende-se, ainda, que o nível de penetração da junta soldada das peças a unir possa ser variável.

O modelo numérico será desenvolvido a partir do método dos elementos finitos com base numa técnica de remalhagem adaptativa com  $n$  graus de liberdade que calcula, de forma individual, os avanços locais de todos os nós de canto da frente de fenda (Branco *et al.*, 2015). A malha tridimensional de elementos finitos será constituída por três regiões principais: uma malha em forma de teia de aranha, centrada na frente de fenda, e composta por vários anéis concêntricos; uma malha de transição que tem como objetivo efetuar uma transição de uma zona muito refinada junto à frente de fenda para uma região mais grosseira; e uma malha regular que se conecta à anterior e preenche o restante volume do sólido. Os avanços locais dos nós da frente de fenda são calculados a partir da lei de Paris (ver Figura 2.1), e os fatores de intensidade de tensão dos nós da frente de fenda são obtidos através do método direto de extrapolação com 2 pontos.

Relativamente ao desenvolvimento da ferramenta numérica referida, usar-se-á a linguagem de programação Visual Basic que integra a ferramenta informática Microsoft Visual Studio 2012. Nesta fase, este modelo numérico é desenvolvido com o objetivo de garantir compatibilidade com o *software* de elementos finitos COSMOSM que faz parte do *software* comercial SolidWorks 2014.

### **1.3. Estrutura da dissertação**

Esta dissertação estará dividida em cinco capítulos. No primeiro, procura-se enquadrar e definir o problema, de modo a identificar os objetivos a que nos propomos alcançar.

No segundo capítulo, efetua-se uma revisão da literatura com o intuito de estar a par da investigação no que toca a este tema em concreto.

O capítulo seguinte é dedicado à descrição do problema e à forma como é desenvolvido o modelo de propagação automática proposto neste trabalho. Nesse sentido, descrevem-se, de forma sucinta, os modelos físicos e numéricos, bem como as principais abordagens e metodologias selecionadas para a implementação da técnica de remalhagem adaptativa com múltiplos graus de liberdade.

No quarto capítulo são apresentadas, de forma progressiva, as principais fases de desenvolvimento do modelo numérico tridimensional da junta soldada em T, onde se destacam as fases de pré-processamento, processamento, e pós-processamento. De forma complementar à descrição da metodologia implementada, apresenta-se, de forma sucinta, uma explicação do código-fonte criado em Visual Basic 2012 para esta geometria.

Por fim, no último capítulo, será feita uma síntese do trabalho realizado, onde serão explanadas as principais conclusões e apresentadas sugestões para trabalhos futuros.

## 2. REVISÃO BIBLIOGRÁFICA

### 2.1. Fadiga

Os danos causados por fadiga são responsáveis por cerca de 80% a 90% das falhas prematuras de componentes em serviço em engenharia (Branco *et al.*, 2012a).

A fadiga é um processo localizado, permanente e progressivo, a que os componentes mecânicos em serviço estão submetidos devido às cargas cíclicas a que estão sujeitos. Estes ciclos de carregamento, com ou sem choque, conduzem à diminuição da secção resistente, levando à rotura mesmo para tensões inferiores ao limite de elasticidade do material.

A falha por fadiga é um processo que compreende três fases distintas. A primeira fase designa-se por iniciação de fenda, e envolve a nucleação e o crescimento microscópico da fenda, sendo este um fenómeno que ocorre normalmente à superfície, em zonas de maior concentração de tensões, e onde, em geral, há maior suscetibilidade de ocorrência de deformação plástica. Na segunda fase, a propagação estável de fenda, verifica-se um crescimento macroscópico da fenda, existindo um aumento progressivo da velocidade de propagação e um aumento da dimensão da fenda. Por fim, depois de atingida uma dimensão crítica da fenda, ocorre a propagação instável que conduz à rotura do componente.

O estudo da propagação de fendas por fadiga tem recorrido à Mecânica da Fratura Linear Elástica (MFLE), iniciada por Irwin (1958), sendo a metodologia que melhor quantifica o período de propagação da fenda e que se baseia no fator de intensidade de tensão,  $K$ . A utilização desta ferramenta baseia-se na tolerância ao defeito, ou seja, considera que todos os componentes de engenharia possuem defeitos (Ribeiro, 2011).

Este fator é função da tensão remota aplicada, do modo de deformação da fenda, da dimensão de fenda e da geometria do sólido.

A quantificação da magnitude da concentração de tensões provocada pela existência da fenda num corpo elástico é traduzida pela seguinte expressão (2.1):

$$K = Y\sigma\sqrt{\pi a} \quad (2.1)$$



onde  $Y$  é um fator geométrico que considera o efeito da geometria do componente,  $\sigma$  é o valor da tensão remota aplicada e  $a$  é o comprimento da fenda.

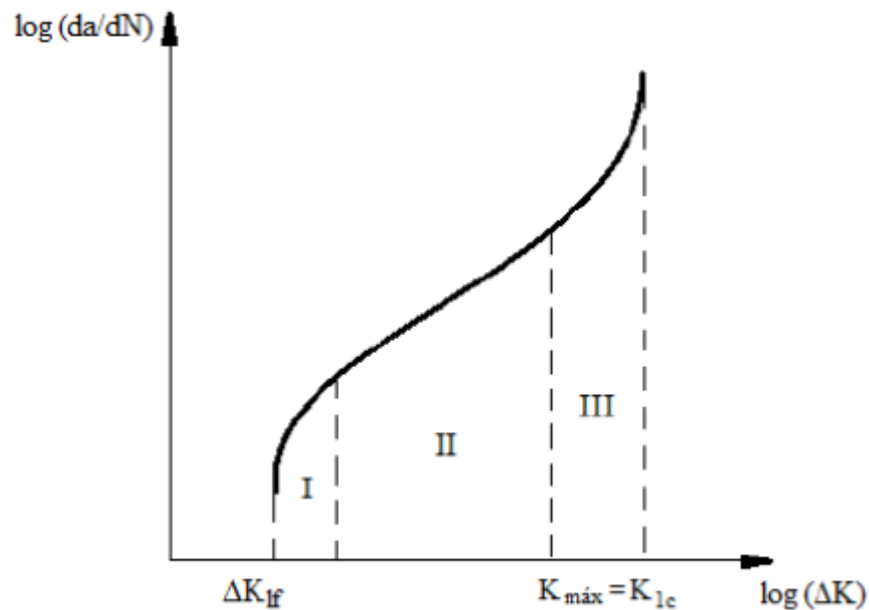
No momento em que se atinge o valor máximo de  $K$ , alcança-se o valor crítico ( $K_{Ic}$ ) para o qual ocorre rotura instável, e que pode também ser designado como tenacidade à fratura.

Com base nas definições apresentadas anteriormente, é possível relacionar a velocidade de propagação da fenda com a gama do fator de intensidade de tensão,  $\Delta K$ , através da expressão (2.2):

$$\Delta K = K_{m\acute{a}x} - K_{m\acute{i}n} \quad (2.2)$$

onde  $K_{m\acute{a}x}$  e  $K_{m\acute{i}n}$  representam os valores máximo e mínimo do fator de intensidade de tensão,  $K$ , durante um ciclo de carga.

Na Figura 2.1 representa-se uma curva típica  $da/dN - \Delta K$ , na qual se identificam três zonas com comportamentos distintos, designadas por regimes de propagação I, II e III.



**Figura 2.1.** Diagrama da curva típica  $da/dN - \Delta K$  (adaptada de Paiva, 2015).

O regime I apresenta como valor inferior o limiar de propagação de fendas por fadiga,  $\Delta K_{lf}$ , em que para valores inferiores não existe propagação. De notar que a propagação inicial é lenta, devido à influência de diversos fatores, entre os quais a microestrutura (fronteiras de grão, inclusões, etc.), a tensão média, ou o meio ambiente.

Num sentido oposto, no regime III, a propagação da fenda ocorre de forma rápida (crescimento instável) até que se dê a rotura. Este fenómeno resulta da aproximação de  $K_{m\acute{a}x}$  ao valor crítico,  $K_{Ic}$ , que é uma característica do material.

Na zona intermédia, regime II, existe um crescimento estável, apresentando uma taxa de propagação de fenda entre valores  $10^{-6}$  e  $10^{-3}$  mm/ciclo para materiais metálicos (Zhao et al., 2008). Nesta zona, verifica-se que, numa escala bi-logarítmica, a velocidade de propagação da fenda apresenta uma relação aproximadamente linear com o fator de intensidade de tensão. Esta relação, proposta por Paris e Erdogan (1963), pode ser escrita na forma (2.3) seguinte:

$$\frac{da}{dN} = C(\Delta K)^m \quad (2.3)$$

onde  $C$  e  $m$  são constantes determinadas experimentalmente através de técnicas de ajustamento de funções, e que depende da razão de tensão, da tensão média, da frequência, da microestrutura, dos efeitos ambientais, entre outros fatores.

No entanto, esta função apenas faz o ajustamento na zona II, sendo que existem outros modelos que permitem modelar as três regiões. Forman *et al.* (1967) criaram um modelo que é muitas vezes utilizado para ajustar as zonas de crescimento lento e acelerado da fenda. Também Erdogan e Ratwani (1970) propuseram um modelo capaz de incluir as três fases de crescimento da fenda por fadiga.

Com base neste modelo, conhecido por lei de Paris, o número de ciclos de fadiga,  $N_f$ , entre dois comprimentos de fenda, é obtido pela seguinte expressão (2.4):

$$N_f = \int_{a_i}^{a_f} \frac{da}{C(\Delta K)^m} \quad (2.4)$$

onde  $a_i$  e  $a_f$  são os limites de integração que representam o tamanho mínimo e máximo da fenda. Em situações práticas, por vezes, existe dificuldade em determinar a solução analítica

da equação 2.4. Nesses casos pode-se recorrer ao algoritmo de integração de Eules, sendo o número de ciclos de carga, dado por:

$$N^{(j+1)} = N^{(j)} + \Delta N^{(j)} \Leftrightarrow N^{(j+1)} = N^{(j)} + \frac{\Delta a^{(j)}}{C[\Delta K(a^{(j)})]^m}, \quad j = 0, 1, \dots, n \quad (2.5)$$

onde  $n$  representa o número de intervalos,  $\Delta a^{(j)}$  é o incremento da fenda do passo  $j$ , e  $\Delta K^{(j)}$  é a gama do fator de intensidade de tensão do passo  $j$ . Realizando uma análise com base em incrementos locais, a lei de Paris é aplicável a qualquer ponto, como se segue:

$$\frac{da_i}{dN} = C(\Delta K_i)^m \quad (2.6)$$

sendo que  $da_i$  e  $\Delta K_i$  representam o incremento local de fenda e a gama do fator de intensidade de tensão do nó  $i$  da frente de fenda. Recorrendo à equação 2.6, podemos deduzir as relações seguintes:

$$\Delta a_i^{(j)} = \left( \frac{\Delta K_i^{(j)}}{\Delta K_{máx}^{(j)}} \right)^m \Delta a_{máx}^{(j)} \quad (2.7)$$

$$\Delta N^{(j)} = \frac{\Delta a_{máx}^{(j)}}{C(\Delta K_{máx}^{(j)})^m} \quad (2.8)$$

onde  $\Delta a_{máx}^{(j)}$  e  $\Delta K_{máx}^{(j)}$  são, respetivamente, o incremento máximo de fenda e o valor máximo da gama do fator de intensidade de tensão do passo  $j$ . Estas equações são fortemente dependentes do incremento máximo de fenda (Branco *et al.*, 2015). Para que os erros numéricos sejam mínimos, deve usar-se um incremento máximo de fenda relativamente pequeno, mas não exageradamente pequeno, para não penalizar, em demasia, o tempo de computação.

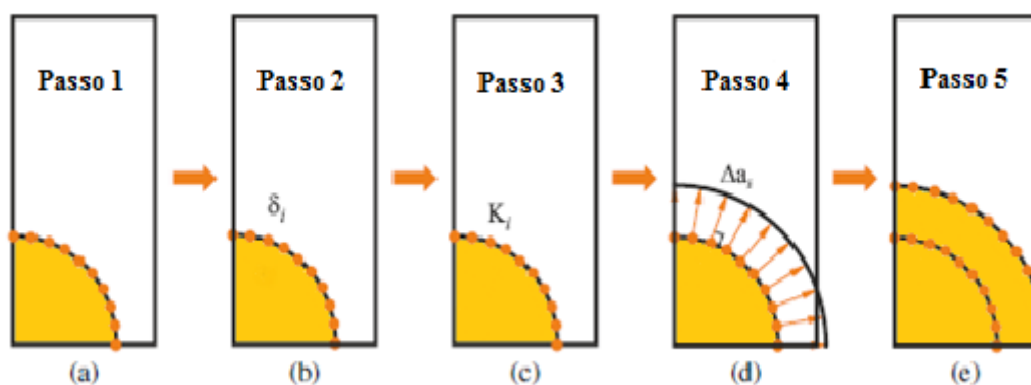
## 2.2. Técnicas de Remalhagem

As abordagens desenvolvidas a partir do método dos elementos finitos para estudar a evolução da forma de fenda, são, geralmente, assentes no conceito de propagação automática de fenda. Esta abordagem, também conhecida como técnica de remalhagem

adaptativa, provou ser muito eficiente e fiável (Branco *et al.*, 2015). Para além disso, tem a vantagem de poder ser usada na análise de geometrias, condições de fronteira e cenários de carregamento de elevada complexidade, o que não acontece, atualmente, com outras abordagens numéricas.

Como se pode visualizar na Figura 2.2, a técnica de propagação automática pode ser dividida em cinco etapas principais: (i) desenvolvimento de um modelo de elementos finitos tridimensional representativo; (ii) cálculo do campo de deslocamentos; (iii) cálculo dos fatores de intensidade de tensão efetiva ao longo da frente de fenda; (iv) determinação dos avanços da frente de fenda aplicando uma lei de propagação adequada; (v) definição de uma nova frente de fenda através das posições dos nós obtidos no passo anterior.

As duas abordagens que são usadas nos dias de hoje para definir a frente de fenda, são o modelo de dois graus de liberdade e o modelo de múltiplos graus de liberdade. Nos pontos seguintes faz-se uma diferenciação entre as duas abordagens.



**Figura 2.2.** Técnica de remalhagem adaptativa (adaptada de Branco *et al.*, 2015).

### 2.2.1. Modelo de dois graus de liberdade

O modelo de dois graus de liberdade é uma abordagem mais simples em que se assume uma forma de fenda pré-definida (semicircular, semi-elíptica, etc.), próxima das formas observadas experimentalmente, estudando-se, apenas, a propagação de dois pontos-chave da frente de fenda.

Normalmente, a forma da fenda é estudada a partir dos avanços do ponto superficial e do ponto mais interior da frente de fenda. O avanço destes dois pontos é definido

com recurso a soluções do fator de intensidade de tensão, determinadas previamente e a dados experimentais da taxa de crescimento das fendas por fadiga para material de análise.

Newman e Raju (1981) foram os primeiros a aplicar este modelo de dois graus de liberdade para problemas de fendas por fadiga. As soluções geométricas do fator de intensidade de tensão para as geometrias estudadas foram obtidas a partir de modelos tridimensionais de elementos finitos (Newman e Raju, 1979; 1981; 1983).

### **2.2.2. Modelo de múltiplos graus de liberdade**

Uma abordagem mais versátil, designada por modelo de múltiplos graus de liberdade, consiste na discretização da frente de fenda num conjunto de pontos, sem assumir qualquer forma de fenda teórica. Os pontos considerados, para os quais são calculados os avanços nodais, podem ser ligados através de funções *cubic spline* (tema abordado no subcapítulo 3.2.2) ou, simplesmente, por linhas poligonais. Estas características tornam esta abordagem mais precisa e, por isso, usada em situações mais complexas, geralmente associadas a formas de fenda mais precisas e também a fatores de intensidade de tensão mais precisos. Para além disso, tem, ainda, a vantagem de permitir uma total automatização do processo, o que não é possível no caso das linhas poligonais, que requer, por vezes, a intervenção do utilizador para que a simulação prossiga.

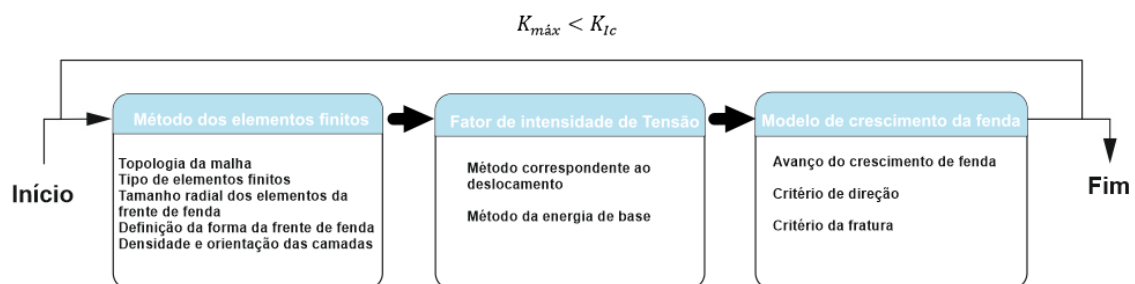
Smith e Cooper (1989) introduziram o modelo de múltiplos graus de liberdade na análise dos problemas de propagação de fendas por fadiga. Foram realizadas imensas pesquisas com o intuito de desenvolver a técnica, quer a nível das variáveis numéricas utilizadas (Lin e Smith, 1999a; 1999b; 1999c), quer no que concerne ao estudo do fenómeno de propagação de fendas por fadiga em várias geometrias submetidas a diferentes cenários de carregamento (Lin e Smith, 1995; 1997). No ponto 3.2.2 é abordado em mais detalhe as especificidades desta técnica.

## **2.3. Técnica de propagação automática da fenda**

A técnica de remalhagem adaptativa, como já foi referido no subcapítulo 2.2, encontra-se dividida em cinco etapas principais. Nestas etapas, as variáveis numéricas usadas, podem ser agrupadas em três categorias (Figura 2.3), sendo elas associadas à

aplicação do método dos elementos finitos; associadas ao cálculo do fator de intensidade de tensão; ou associadas ao modelo de propagação da fenda.

Como se pode visualizar na Figura 2.3, a precisão geral da técnica depende da precisão de cada passo. Uma vez que a saída de uma determinada tarefa serve diretamente como entrada da próxima, caso a tarefa à saída possua um erro, esse irá propagar-se ao longo da simulação, sendo por isso desejável que o efeito de cada variável seja conhecido antecipadamente para que se possam obter resultados mais fiáveis.



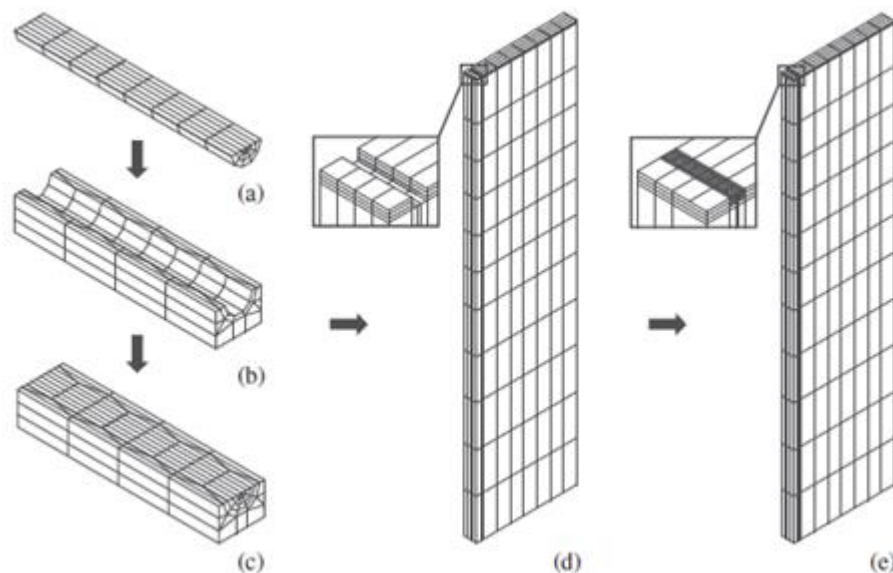
**Figura 2.3.** Principais variáveis numéricas que afetam a precisão da técnica remalhagem adaptativa (adaptada de Branco *et al.*, 2015).

### 2.3.1. Modelo dos elementos finitos

Uma das técnicas computacionais mais versáteis para a obtenção de soluções aproximadas das equações diferenciais parciais é o método dos elementos finitos. No âmbito de problemas de fadiga, este permite lidar com uma vasta variedade de geometrias, condições de fronteira, propriedades dos materiais, e cenários de carregamento.

Na análise de peças fissuradas com o MEF, deve-se ter em conta a singularidade das tensões na extremidade da fenda. De notar, que as funções de forma no interior dos elementos não podem alcançar valores infinitos num espaço finito (Branco *et al.*, 2015). Por esse motivo, o campo de deslocamentos obtido nos elementos da frente de fenda, não corresponde à distribuição real, ocorrendo, portanto, erros nos deslocamentos nodais. Para colmatar tal facto e melhorar a precisão global do MEF neste tipo de análises, existem algumas soluções práticas que permitem modelar, de forma eficiente, a singularidade da frente de fenda, sem que haja sobrecarga computacional excessiva, tais como o desenvolvimento de uma topologia de malha otimizada e suficientemente refinada que permita capturar a variação do campo de deslocamento  $r^\lambda$ , onde  $\lambda$  é igual a 0,5.

O uso de elementos finitos específicos, ou especiais, na frente de fenda ou a definição de um tamanho ótimo para elementos da frente de fenda são outras soluções possíveis para aumentar a precisão do MEF.



**Figura 2.4.** Topologia típica de malhas de elementos finitos (Branco *et al.*, 2008): (a) malha em teia de aranha; (b) malha de transição; (c) região da fenda; (d) região sem fenda; (e) Modelo total (adaptada de Branco *et al.*, 2015).

### 2.3.2. Topologia da Malha

Quando é criado um determinado modelo e se aplica uma determinada topologia de malha, esta irá influenciar a precisão dos resultados obtidos. É relativamente consensual entre os investigadores (Carpinteri e Brighenti, 1996; Lin e Smith, 1999a; Branco e Antunes, 2008a) que a melhor topologia de malha deve conter, no mínimo, duas regiões diferentes (Figura 2.4): i) uma malha em forma de teia de aranha, constituída por vários anéis concêntricos (Figura 2.4 (a)) em torno da frente de fenda; (ii) e uma malha mais grosseira, que preenche o restante volume do corpo, e que visa minimizar o esforço computacional (Figura 2.4 (d)). Em determinados casos, pode-se acrescentar uma região adicional, geralmente designada por malha de transição (Figura 2.4 (b)), cujo objetivo principal é diminuir o número total de elementos e promover uma transição mais suave da malha refinada junto à frente de fenda para a malha regular das regiões remotas.

A malha da região da frente da fenda, deve conter entre 2 e 4 anéis concêntricos. Os resultados existentes na literatura sugerem a utilização de pelo menos dois anéis (Guinea *et al.*, 2000; Branco *et al.*, 2013).

### 2.3.3. Tipos de elementos finitos

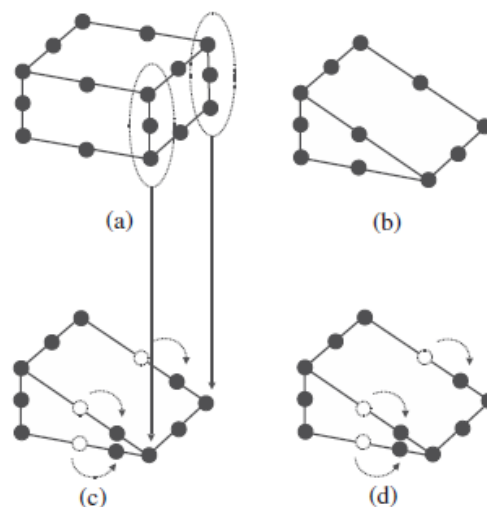
Em análises tridimensionais de componentes com fendas com o método dos elementos finitos são geralmente utilizados elementos isoparamétricos. Por exemplo, a ESIS recomenda a utilização de elementos isoparamétricos com função de forma quadrática (Sedmak *et al.*, 1992). Estes elementos permitem representar formas curvas com poucos elementos, uma vez que existe a possibilidade de terem formas distorcidas. Para que tal seja possível, os elementos são definidos em coordenadas locais estabelecendo-se uma relação entre coordenadas locais e globais. Para além disto, os elementos isoparamétricos quadráticos são convergentes e apresentam uma taxa de convergência melhor do que os outros elementos. Há ainda outro aspeto bastante importante que é o facto de estarem bem testados e de se encontrarem disponíveis nos principais *softwares* comerciais de elementos finitos.

A região da malha sem fenda pode ser construída a partir de uma abordagem estruturada (Branco *et al.*, 2014; Dhondt, 2014) ou não-estruturada (Fulland *et al.*, 2008; Rabold *et al.*, 2014). No primeiro caso são, geralmente, usados elementos hexaédricos de 20 nós (Lin e Smith, 1999a; Carpinteri e Brighenti, 1996; Branco *et al.*, 2014). Neste tipo de elemento, cada nó possui três graus de liberdade, simulando-se variações parabólicas de deslocamento que correspondem as variações lineares de tensão. O seu uso é especialmente adequado para análises elásticas, uma vez que a matriz de rigidez e as forças nodais são calculadas através de integração numérica total. Por vezes, verifica-se que as tensões determinadas nos pontos de integração individual apresentam um comportamento aleatório, e, por isso, utilizam-se, frequentemente, valores médios de tensões de modo a suavizar as variações (Bakker, 1992).

Na proximidade da fenda, a malha deve simular uma tensão elástica linear de  $r^{-\lambda}$ , onde  $\lambda$  é igual a 0,5, podendo esta ser introduzida na análise utilizando elementos analíticos ou elementos isoparamétricos modificados. Os elementos analíticos são baseados em expressões analíticas da mecânica da fratura linear elástica, cujas formulações contêm o



fator de intensidade de tensão, evitando-se assim o seu cálculo subsequente. Por sua vez, os elementos isoparamétricos modificados são, geralmente, obtidos a partir do colapso dos elementos hexaédricos de 20 nós (Figura 2.5 (c)), ou, em certos casos, utilizando elementos em forma de cunha com 15 nós (Figura 2.5 (d)). Em ambos os casos, deslocam-se os nós intermédios adjacentes à frente de fenda para uma nova posição que corresponde a  $\frac{1}{4}$  da aresta (Figura 2.5 (c) e Figura 2.5 (d)).



**Figura 2.5.** Elementos finitos típicos: (a) elemento hexaédrico de 20 nós; (b) elemento em cunha de 15 nós; (c) elemento hexaédrico colapsado com os nós intermédios deslocados para  $\frac{1}{4}$  da aresta; (d) elemento em cunha com os nós intermédios deslocados para  $\frac{1}{4}$  da aresta (adaptada de Branco *et al.*, 2015).

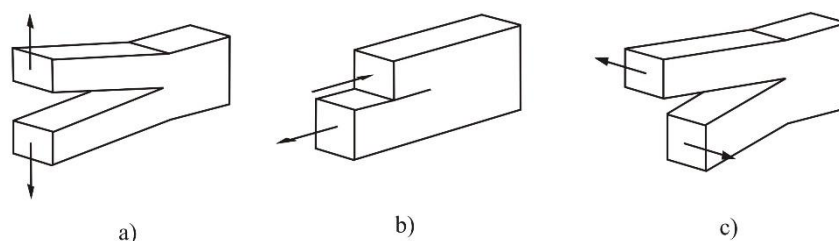
Esta última abordagem tem sido utilizada por diversos investigadores (Lin e Smith, 1999a; Antunes *et al.*, 2002; Branco *et al.*, 2012b). Trata-se de uma metodologia bastante interessante, pois, por um lado, a ligação destes elementos aos elementos *standard* não é um problema uma vez que não são necessários elementos de transição; e, por outro lado, os elementos *standard* utilizados encontram-se disponíveis em todos os *softwares* comerciais de elementos finitos. É, apenas, necessário atualizar as coordenadas dos nós intermédios.

Para além das abordagens referidas, podem, ainda, utilizar-se elementos singulares de ordem superior, ou elementos singulares para os quais se alteram quer a posição dos nós, quer as funções de forma (Gavete *et al.*, 1989).

O efeito da utilização de diferentes elementos na frente de fenda foi investigado por Antunes (1999a). Este estudo abrangeu elementos hexaédricos colapsados e com os nós

intermédios a  $\frac{1}{4}$  da aresta (Figura 2.5 (c)), elementos em cunha com os nós intermédios a  $\frac{1}{4}$  da aresta (Figura 2.5 (d)), e elementos em cunha convencionais (Figura 2.5 (b)). Este estudo permitiu concluir que os melhores resultados eram obtidos com elementos hexaédricos colapsados. Os elementos em cunha convencionais também apresentaram alto desempenho. Não é surpreendente o bom comportamento destes elementos singulares, uma vez que incorporam a singularidade de  $r^{-0,5}$  na frente de fenda.

No entanto, podem ocorrer erros nos pontos de canto da frente de fenda, uma vez que a mesma singularidade é implicitamente simulada pelos elementos singulares. Essa singularidade apresenta a forma  $r^{-\lambda}$ , sendo, geralmente,  $\lambda < 0,5$ . De referir que a singularidade de  $\lambda$  é igual a 0,5 em pontos de canto apenas quando o ângulo de interseção entre a frente de fenda e a superfície livre atinge um valor crítico. Bazant e Estenssoro (1979) mostraram que esse ângulo crítico depende do coeficiente de Poisson do material, não sendo afetado por outra constante de elasticidade. Quando se está perante ângulos de interseção de  $90^\circ$ , e o coeficiente de Poisson assume o valor de 0,3,  $\lambda < 0,5$  para carregamentos em Modo I (isto é,  $K_I = 0$ ) e  $\lambda > 0,5$  para carregamentos em Modos II e III (onde  $K_{II}$  e  $K_{III}$  são infinitos). Na Figura 2.6 apresenta-se os três modos de carregamento referidos anteriormente. Para os pontos de canto, os valores de  $K$  obtidos são finitos e possuem a mesma ordem de grandeza daqueles que são obtidos noutras posições ao longo da frente de fenda (Pook, 1994). Tal facto comprova a imprecisão do MEF perto da superfície. Bakker (1992) demonstrou que apenas o valor de  $\lambda$  calculado muito próximo da superfície livre é afetado pelo refinamento da malha no sentido longitudinal da frente de fenda. Nesse sentido, é aconselhável em malhas de elementos finitos efetuar-se um refinamento na direção longitudinal junto aos pontos de canto, mas também na direção da espessura. Na prática, a variabilidade da camada superficial, e da singularidade, torna mais difícil a definição do nível de refinamento da malha.



**Figura 2.6.** Modos de solitação elementares: a) Modo-I; b) Modo-II; c) Modo-III (adaptada de Branco, 2006).

### 2.3.4. Tamanho radial dos elementos da frente de fenda

Na maioria dos problemas, o padrão da malha da região da fenda considerado mais eficiente, como já foi referido anteriormente, é um padrão em teia de aranha definido a partir de vários anéis concêntricos em torno da frente de fenda (Figura 2.4 (a)). Geralmente, os elementos do anel mais interior são elementos em cunha, e os outros anéis são modelados através de elementos hexaédricos. Uma vantagem da utilização desta configuração é a simplicidade de transição da malha refinada da frente de fenda para malhas mais grosseiras em posições mais afastadas (Figura 2.4 (e)). De referir que os elementos singulares desempenham um papel importante na qualidade dos resultados numéricos obtidos. Guinea *et al.* (2000) concluíram que a discretização angular mínima dos elementos em torno da ponta da fenda é de 30°. Murti *et al.* (1986) aconselham, em modelos com simetria no plano da fenda, isto é, modelação de apenas uma das faces e a utilização de um mínimo de 5 elementos, mas preferencialmente 6 elementos.

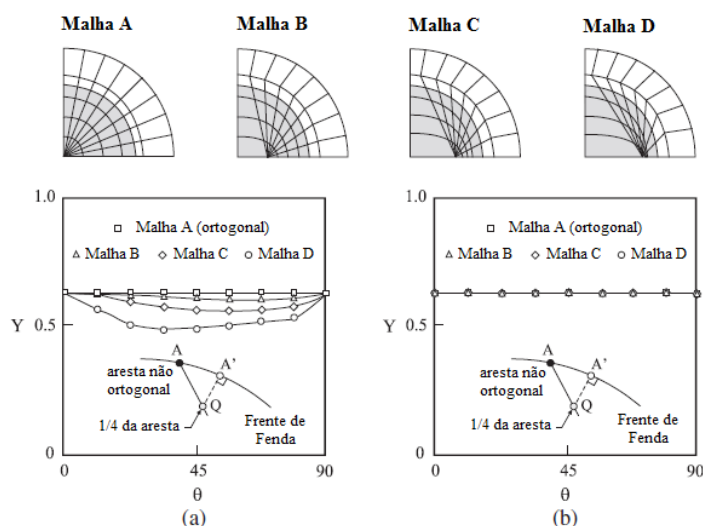
O tamanho radial ótimo dos elementos adjacentes à frente de fenda,  $L_1$ , depende da configuração da fenda. Uma vez que não existem tamanhos ideais universais,  $L_1$  é praticamente definido com base em estudos paramétricos específicos procurando-se fixar um limite superior aceitável. Por exemplo, Murti *et al.* (1986) e Nykänen (1996) encontraram tamanhos ótimos dentro das faixas de 15-25% e 1,25-2,75% do comprimento da fenda. Branco *et al.* (2008b) determinaram valores ótimos de  $L_1$  para várias geometrias, tais como provetes normalizados M(T) e C(T) e provetes não normalizados com fenda de canto. De uma forma geral, os valores de  $L_1$  estavam na faixa de 2-6 % do comprimento da frente de fenda.

### 2.3.5. Malha ortogonal ao longo da frente de fenda

Uma questão de grande importância na precisão global da técnica de remalhagem adaptativa é a ortogonalidade da malha ao longo da frente de fenda. Lin *et al.* (1999a) estudaram a influência do grau de não ortogonalidade da malha em torno da frente de fenda sobre o fator de intensidade de tensão. Esta pesquisa envolveu três malhas com diferentes graus de não ortogonalidade (Malhas B, C e D da Figura 2.7) e uma malha perfeitamente ortogonal (Malha A da Figura 2.7). As frentes de fenda foram implementadas usando funções *cubic spline*, sendo o fator de intensidade de tensão calculado através de um

método direto baseado nas posições dos nós adjacentes a  $\frac{1}{4}$  da aresta (Henshell *et al.*, 1975; Barsoum, 1976) e através de um método energético baseado no integral-J.

Verifica-se que os resultados obtidos através do método direto, representados na Figura 2.7 (a) em termos dos respectivos fatores geométricos, não são idênticos ao longo da frente de fenda para diferentes malhas, havendo um aumento das diferenças com o grau de não ortogonalidade. Porém, para os valores de SIF calculados a partir do método energético, não se verifica o problema retratado anteriormente. Conclui-se, assim, que a ortogonalidade da malha é mais importante quando se usam métodos diretos; e, por outro lado, há uma baixa sensibilidade do integral-J em relação ao grau de não ortogonalidade da malha, mesmo quando esta se apresenta severamente distorcida.

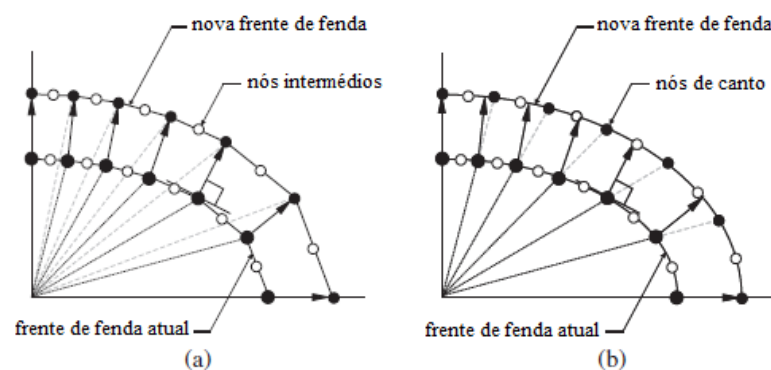


**Figura 2.7.** Efeito da malha não-ortogonal no fator de intensidade de tensão estimado a partir do método de deslocamento do ponto para  $\frac{1}{4}$  da aresta assumindo: (a) distância  $Q/A'$ ; (b) distância  $Q/A$  (Lin e Smith, 1999a) (adaptada de Branco *et al.*, 2015).

### 2.3.6. Modelo dos elementos finitos

Em procedimentos numéricos baseados no modelo de múltiplos graus de liberdade (isto é, sem restrições da forma da fenda), a frente de fenda é estabelecida através da ligação dos nós da frente de fenda da malha de elementos finitos. A abordagem mais simples de ligação, representada na Figura 2.8 (a), considera a ligação dos nós de canto através de linhas retas e coloca os nós intermédios da aresta exatamente nos pontos médios dos nós de canto vizinhos (Smith e Cooper, 1989; Nykänen, 1996). Nesta abordagem os

avanços nodais são calculados nos nós de canto, sendo que em determinadas circunstâncias, nomeadamente para grandes alterações da forma da fenda, as distâncias entre os nós de canto tornam-se excessivas, requerendo correção manual das coordenadas destes nós, acabando por reduzir o grau de automação da técnica. Assim, as frentes de fenda acabam por não ser totalmente realistas, uma vez que a precisão do fator de intensidade de tensão ao longo da frente de fenda e a vida de fadiga também são afetadas.



**Figura 2.8.** Definição da forma da frente de fenda: (a) linha poligonal; (b) curva *cubic spline* (adaptada de Branco *et al.*, 2015).

No entanto, é possível adotar uma abordagem mais inovadora (Figura 2.8 (b)) na definição da frente de fenda que consiste no uso de uma função *cubic spline*. Esta função permite reposicionar, quer os nós de canto, quer os nós intermediários. O cálculo dos avanços da frente de fenda é novamente determinado apenas para os nós de canto. Contudo, as posições obtidas não são as posições finais dos nós da nova frente de fenda. Nesta abordagem, essas posições provisórias são utilizadas para ajustar uma curva *cubic spline* que é então aplicada para definir as novas coordenadas dos nós de canto e dos nós intermediários de acordo com um critério pré-definido (por exemplo, manter camadas uniformemente espaçadas ao longo da propagação da fenda). Além disso, esta abordagem tem a vantagem de ser totalmente automatizada; tem, ainda, a vantagem de permitir obter valores mais precisos do fator de intensidade de tensão, o que, conseqüentemente, leva a resultados mais precisos da vida à fadiga e da forma da fenda.

A influência dos dois métodos anteriormente mencionados sobre o fator de intensidade de tensão foi abordada por Lin *et al.* (1999a) que examinaram uma fenda interior circular num corpo submetido a tensão alternada. Os fatores de intensidade de tensão

calculados através do método do integral-J, em frentes de fenda definidas por *cubic spline*, foram semelhantes, tanto nos nós de canto, como nos nós intermédios (uma diferença inferior de 0,3 % nos nós de canto). Por outro lado, com a definição da frente de fenda com linhas poligonais, os valores de SIF obtidos nos nós intermédios foram superiores cerca de 11 %, relativamente aos nós de canto. Esta diferença é explicada, essencialmente, pelo posicionamento inadequado dos nós intermédios, o que demonstra a sensibilidade dos valores de SIF relativamente à forma de fenda. Assim, mesmo com pequenas diferenças na forma da fenda, podem ocorrer grandes discrepâncias no fator de intensidade de tensão e, por arrasto, na vida de fadiga.

### 2.3.7. Fator de intensidade de tensão

Existem dois grupos principais de métodos numéricos que permitem extrair o fator de intensidade de tensão, conhecidos por *métodos diretos* e *métodos energéticos*. No primeiro grupo, compara-se o campo de deslocamento obtido através do método dos elementos finitos com o campo de deslocamento analítico que possui a solução do fator de intensidade de tensão na sua formulação (Kanninen *et al.*, 1985; Chan *et al.*, 1970). Por sua vez, no outro grupo, a força de campo de tensões singulares é definida a partir da taxa de libertação de energia, ou seja, a sensibilidade da energia potencial total para a posição da fenda. Têm sido utilizados vários métodos energéticos, nomeadamente o método da energia total (Antunes *et al.*, 1999b), o método baseado na variação de rigidez (Hellen, 1975), o método do integral-J (Murakami *et al.*, 1983), o método EDI (Shih *et al.*, 1986), e os métodos baseados no incremento virtual de fenda (Branks-Sills *et al.*, 2007), entre outros.

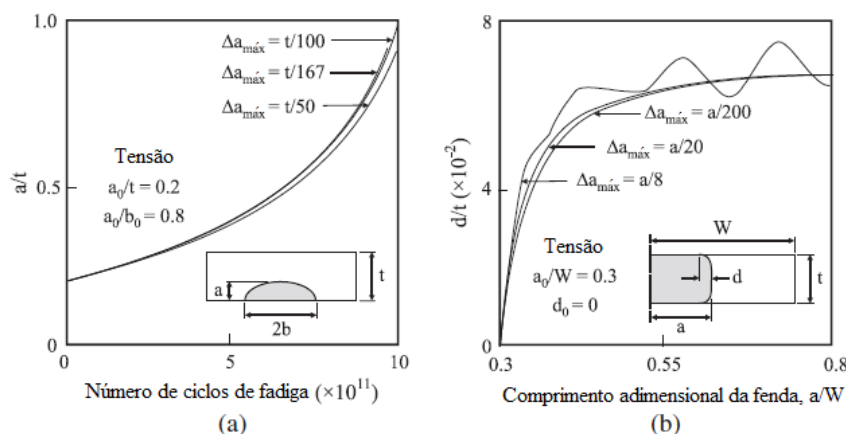
### 2.3.8. Incremento máximo da fenda

Normalmente, a definição do incremento máximo de fenda,  $\Delta a_{m\acute{a}x}$ , envolve um compromisso entre a precisão dos resultados e o esforço computacional. A utilização de incrementos demasiado pequenos proporciona elevados esforços computacionais, enquanto grandes incrementos levam ao aumento do número de ciclos de carga obtidos para um

determinado comprimento de fenda e, tendem, a causar alguma oscilação dos nós da frente de fenda.

Pode ser visualizado na Figura 2.9 (a) o número de ciclos de fadiga para três diferentes incrementos máximos de fenda para uma placa com uma fenda superficial submetida à tração (Lin *et al.*, 1999c). Analisando o gráfico, pode-se verificar que ocorre convergência com a diminuição de  $\Delta a_{máx}$ . Veja-se que o erro acumulado que existe entre os casos de  $\Delta a_{máx} = t/100$  e  $t/167$  é inferior a 2 % quando a fenda atinge a superfície posterior da placa. No entanto, caso o incremento tome o valor de  $t/50$ , a diferença é, claramente, superior, comprovando que quanto menor o incremento máximo de fenda mais precisos serão os resultados. A influência do incremento máximo de fenda na forma de fenda é demonstrada na Figura 2.9 (b), onde se apresenta a evolução da relação de aspeto da fenda ( $d/t$ ) com o comprimento de fenda ( $a/W$ ) para os três incrementos máximos de fenda. Observando a Figura 2.9 (b), as diferenças máximas entre as curvas  $\Delta a_{máx} = a/200$  e  $a/20$  são inferiores a 3 %, não se verificando o mesmo entre  $\Delta a_{máx} = a/200$  e  $a/8$  em que a diferença é superior a 10 %. Além disso, esta última apresenta um comportamento oscilatório fisicamente incompreensível para esta situação de propagação. De notar que com a diminuição do incremento máximo de fenda, verifica-se um claro aumento da convergência.

Na literatura, existem duas estratégias diferentes para definir o incremento máximo de fenda adotadas. A mais comum, considera o incremento máximo constante durante toda a simulação, sendo o seu valor definido através de um fator de proporcionalidade entre  $\Delta a_{máx}$  e um tamanho característico da geometria, como por exemplo, a espessura ( $t$ ), a largura ( $W$ ), o diâmetro ( $d$ ), ou, em certos casos, assumindo um valor pré-definido, sem qualquer ligação aparente com o tamanho da geometria. Mahmoud (1988; 1990) analisou o crescimento de fendas por fadiga em placas submetidas à tração e à flexão, contendo defeitos iniciais superficiais. Foram utilizados incrementos máximos de fenda iguais a  $t/100$ ,  $t/400$  e  $t/1000$ .



**Figura 2.9.** Efeito do incremento máximo de crescimento de fenda na: (a) vida de fadiga (Lin e Smith, 1999c); (b) forma de fenda (Branco, 2006) (adaptada de Branco *et al.*, 2015).

Lin e Smith nos seus estudos sobre o desenvolvimento da forma de fenda recorreram aos valores iguais a  $t/167$ ,  $t/100$  e  $t/50$  para fendas superficiais em placas de espessura finita (Lin e Smith, 1999c); ou iguais a  $t/100$ ,  $t/177$  e  $t/200$  para fendas de canto em placas com furos passantes (Lin e Smith, 2001); ou iguais a  $d/250$  para fendas superficiais em peças de secção circular, com e sem entalhes, ambas sujeitas à tração e à flexão (Lin e Smith, 1999d). Branco *et al.* (2013) estudaram a extensão da camada superficial em provetes M (T) utilizando incrementos máximos da fenda iguais a  $W/300$ . O mesmo valor foi utilizado para desenvolver uma geometria entalhada para estudos de fadiga em estado plano de deformação (Branco *et al.*, 2014). Uma constante igual a  $D/2000$  foi utilizada para obter as constantes da lei de Paris a partir de superfícies de fratura obtidas por fadiga em peças de secção circular utilizando uma técnica numérico-experimental (Branco *et al.*, 2012b).

No que diz respeito à estratégia alternativa de definição do incremento máximo de fenda, este assume um valor variável durante a simulação. O seu valor é, geralmente, definido assumindo um número fixo de ciclos de carga; ou estabelecendo uma relação entre o incremento máximo de fenda e o comprimento atual da fenda. Branco *et al.* (2008 a; 2008 b) modelaram a evolução da forma de fenda em provetes M (T) e C (T) utilizando incrementos máximos de crescimento da fenda equivalentes a 1% e 0,1% do comprimento da fenda, respetivamente. Carpinteri *et al.* (2009; 2010) consideraram um número constante de ciclos de carga entre incrementos, mais especificamente 250, na análise de fenómenos de propagação de fenda por fadiga em peças com secção circular sujeitas a carregamento axial



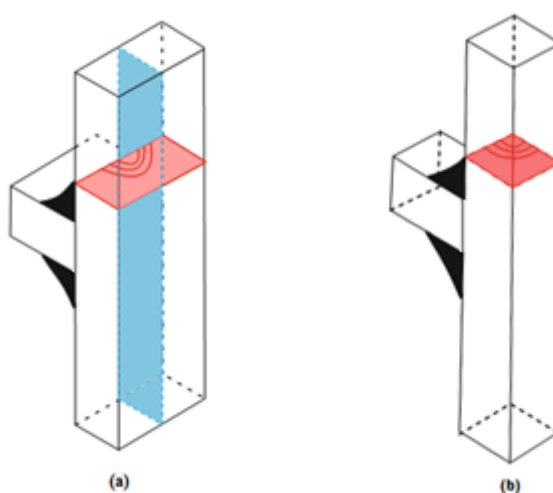
cíclico excêntrico, bem como para estudar o efeito do processo de estampagem a frio no crescimento de fendas por fadiga em peças de secção circular entalhadas. Antunes *et al.* (2002) realizaram uma integração ciclo-a-ciclo para examinar a previsão de vida por fadiga em compósitos de partículas poliméricas.

### 3. DESCRIÇÃO DO PROBLEMA

Neste capítulo será efetuada uma descrição mais detalhada do problema, mais concretamente em termos geométricos e em termos do modelo numérico de propagação automática de fenda que se pretende desenvolver para estudar a evolução da forma da fenda e a vida de fadiga numa junta soldada em T. O procedimento de propagação automática depende de parâmetros físicos e parâmetros numéricos, que serão abordados neste capítulo. A geometria, a forma inicial da fenda, o material, e o tipo de carregamento serão, também, aspetos abordados neste capítulo.

#### 3.1. Modelo Físico

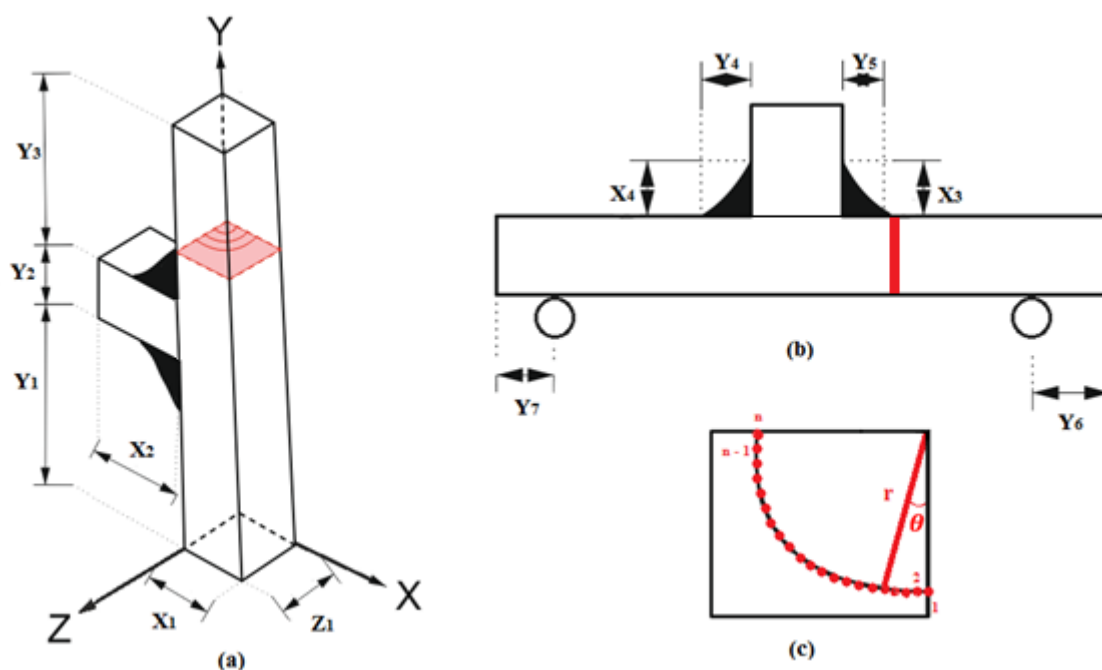
As geometrias consideradas neste trabalho encontram-se esquematizadas na Figura 3.1. Pretende-se estudar um caso com uma fenda central superficial (Figura 3.1 (a)) e outro caso com uma fenda de canto (Figura 3.1 (b)). Em termos numéricos, ambas são estudadas com o mesmo modelo de elementos finitos, considerando diferentes condições de fronteira.



**Figura 3.1.** Definição da geometria com: (a) fenda central superficial; (b) fenda de canto.

Mais concretamente, devido à simetria da frente de fenda assumida no caso da Figura 3.1 (a) relativamente ao plano médio da peça, o modelo numérico a desenvolver poderá ser apenas metade do modelo físico.

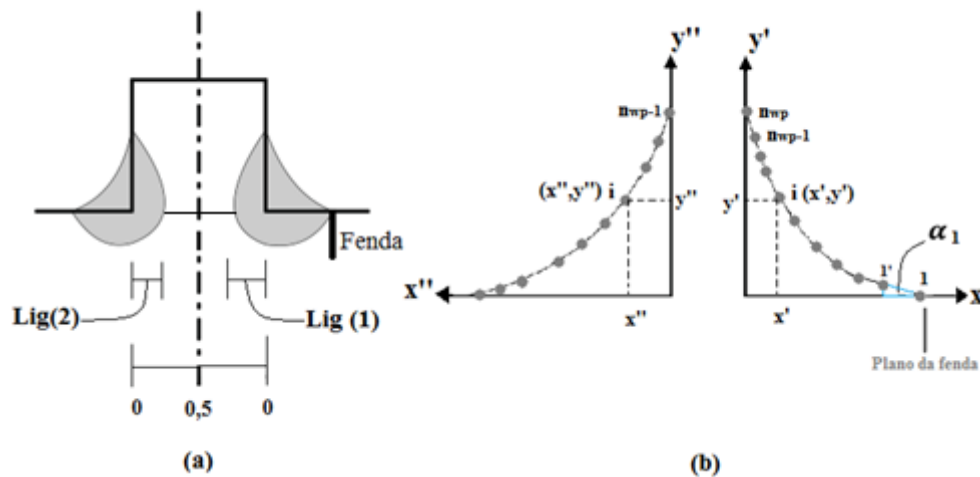
Portanto, em ambos os casos, foi considerada a geometria representada na Figura 3.2, que é fisicamente definida pelas variáveis representadas. Relativamente às variáveis geométricas, embora as normas considerem habitualmente a distância entre apoios e o parâmetro de descentramento, optou-se por definir estas duas variáveis de forma indireta através de  $Y_6$  e  $Y_7$ .



**Figura 3.2.** Definição das variáveis da geometria: (a) perspetiva tridimensional; (b) vista de lado; (c) secção da frente de fenda.

Analisando a Figura 3.2 (c), verifica-se que a frente de fenda é definida por  $n$  nós, introduzidos em coordenadas polares, sendo o valor máximo de  $n$  igual a 21. As coordenadas iniciais destes são definidas pelo utilizador que poderá definir os valores dos ângulos ( $\theta$ ) e os respetivos comprimentos ( $r$ ). Como foi referido anteriormente, o aumento de nós significa um aumento na precisão dos resultados obtidos, mas também um aumento no esforço computacional. Esta abordagem é bastante flexível, permitindo, por um lado, a definição de formas iniciais de fenda arbitrárias com comprimentos variáveis.

A definição dos cordões é efetuada de forma independente, utilizando sistemas de coordenadas cartesianas locais. Os dois perfis são definidos de forma discreta, com número de pontos variável, até um máximo de 100, como se esquematiza na Figura 3.3.



**Figura 3.3.** Definição dos cordões de soldadura: (a) nível de penetração da soldadura; (b) nós dos cordões.

O perfil do cordão da zona fissurada é definido utilizando o sistema de coordenadas  $OY'X'$  e o perfil do cordão da zona não-fissurada é definido, de forma similar, considerando o sistema de coordenadas  $OY''X''$ .

Como pode ser visualizado na Figura 3.3 (b), o cordão da zona fissurada apresenta mais um ponto. Isto deve-se ao facto de na parte fissurada ser necessária uma variável adicional para a geração da malha de elementos finitos na zona do defeito, aqui representada por  $\alpha_1$ . Essa variável, neste caso, representa o declive junto à raiz do cordão. No que diz respeito ao nível de penetração da soldadura, este é definido pelas variáveis  $Lig(1)$  e  $Lig(2)$ , podendo estes valores ser diferentes para os dois cordões. Caso estas duas variáveis tomem valores iguais a 0,5 estamos perante um caso de penetração total; se ambos forem iguais a 0 estamos perante um caso com ausência de penetração.

A definição do modelo, com base neste número alargado de variáveis geométricas, permite estudar um conjunto considerável de assimetrias, tais como, assimetrias em relação: (i) às posições dos apoios, para carregamentos de flexão em 3 pontos, considerando diferentes valores de  $Y_6$  e  $Y_7$ ; (ii) às dimensões dos cordões de soldadura, em termos de altura ( $X_3$  diferente de  $X_4$ ), largura ( $Y_4$  diferente de  $Y_5$ ); (iii) ao nível de penetração da soldadura ( $Lig(1)$  diferente de  $Lig(2)$ ); (iv) à geometria do provete admitindo

um perfil em T descentrado (Y1 diferente Y3); (v) às formas dos cordões de soldadura, considerando perfis diferentes para os cordões fissurado e não-fissurado.

### 3.1.1. Carregamento

Para além de toda a versatilidade e flexibilidade que este modelo possui com a possibilidade de se poder alterar diversas variáveis geométricas, foi definido, como objetivo, a criação de uma gama de diferentes tipos de carregamentos, bem como a possibilidade de alterar a razão de tensão, através da variação da força máxima,  $F_{máx}$ , e força mínima,  $F_{mín}$ . Nesta fase, pretende-se a simulação de carregamentos cíclicos de amplitude constante, como pode ser visualizado na Figura 3.4.

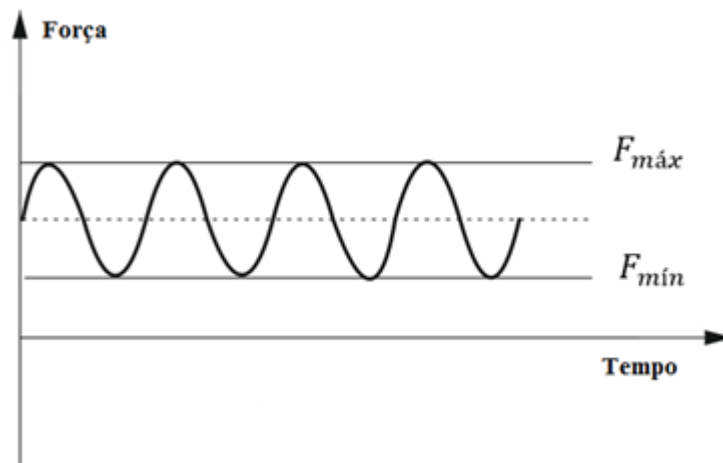
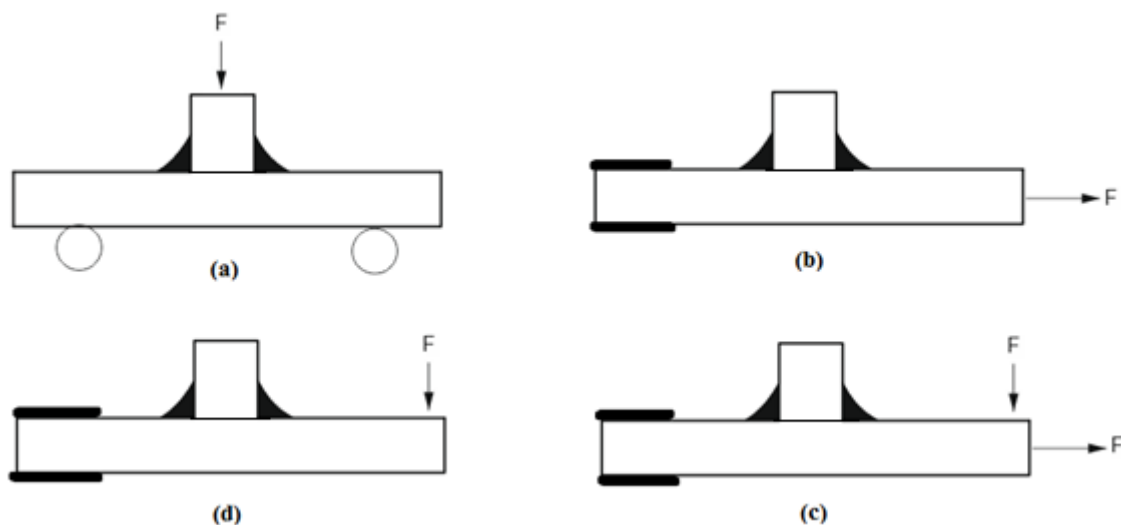


Figura 3.4. Carregamento cíclico de amplitude constante.

A razão de tensão,  $R$ , é dada pela razão entre a tensão mínima,  $\sigma_{mín}$ , e a tensão máxima,  $\sigma_{máx}$ , e pode ser representada pela equação (3.1). Esta variável, como foi referido no Capítulo 2, apresenta uma grande influência na velocidade de propagação da fenda.

$$R = \frac{\sigma_{mín}}{\sigma_{máx}} \quad (3.1)$$

Os modos de carregamento, todos representativos de Modo-I, simulam esforços de tração, esforços de flexão, e combinações de esforços de tração e flexão. As situações consideradas estão genericamente esquematizadas na Figura 3.5.



**Figura 3.5.** Diferentes tipos de carregamento: (a) Flexão típica em 3 pontos; (b) Tração; (c) Flexão; (d) Flexão e tração.

### 3.1.2. Propriedades do Material

O material considerado no presente estudo foi uma liga de alumínio 6082-T6 (Borrego, 2001). Admitiu-se que este era contínuo, homogêneo, isotrópico e linear elástico. As propriedades mecânicas e as propriedades de propagação deste material são apresentadas nas Tabela 3.1 e Tabela 3.2, respetivamente.

**Tabela 3.1.** Propriedades do alumínio 6082-T6 (Borrego, 2001).

<b>Tensão de cedência</b>	<b>307 ± 2.7 MPa</b>
<b>Tensão de rotura</b>	<b>330 ± 2.5 MPa</b>
<b>Módulo de elasticidade</b>	<b>70 × 10<sup>3</sup> MPa</b>
<b>Coefficiente de Poisson</b>	<b>0.33</b>
<b>Dureza Vickers</b>	<b>100 kgf/mm<sup>2</sup></b>
<b>Tenacidade à Fratura</b>	<b>40.5 MPa.m<sup>1/2</sup></b>

**Tabela 3.2.** Constantes da lei de Paris ( $da/dN = \Delta K[m/ciclo - MPa \cdot m^{1/2}]$ ).

Razão de Tensão	C	m	Limites de validade [MPa. m <sup>1/2</sup> ]
0.25	$8.906 \times 10^{-11}$	3.456	$2.7 \leq \Delta K \leq 14$
-0.25	$1.900 \times 10^{-11}$	3.978	$3.3 \leq \Delta K \leq 15$

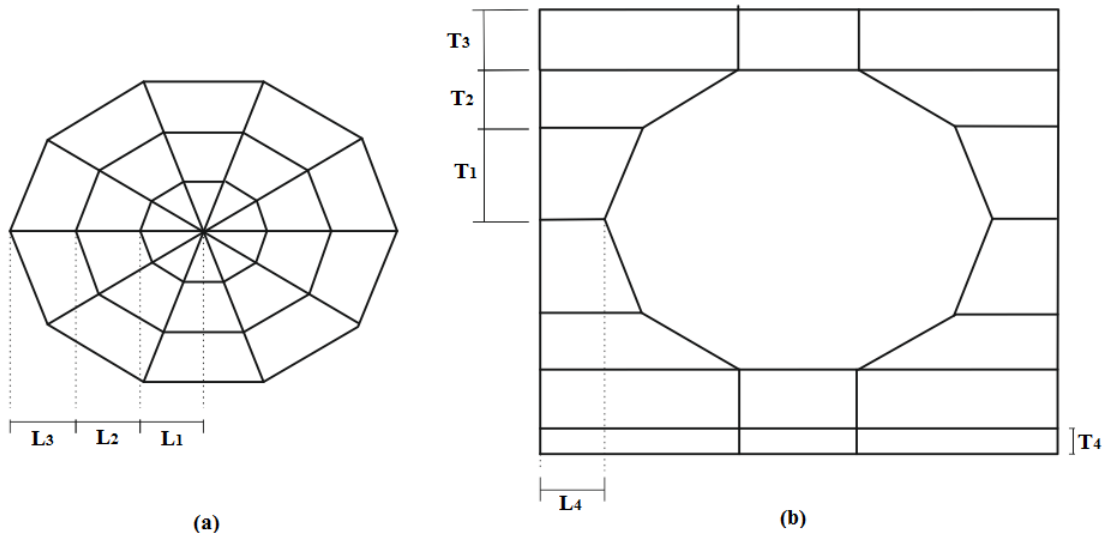
### 3.2. Modelo Numérico

O modelo numérico foi desenvolvido através do ambiente de programação Visual Basic 2012, de modo a que o campo de deslocamentos do modelo numérico seja obtido a partir da ferramenta computacional COSMOSM que integra o *software* comercial SOLIDWORKS 2014.

A exatidão dos resultados numéricos obtidos com este modelo está dependente, entre outros aspetos, da capacidade da malha utilizada para simular, de forma realista, a evolução da fenda. Deste modo, a seleção do tipo e a densidade dos elementos finitos mais adequados são fatores de extrema importância para melhorar a simulação.

A malha a desenvolver deve permitir acomodar diferentes formas de fenda e deve ser constituída por 3 partes distintas: uma malha em teia de aranha junto à fenda, uma malha transição, e uma malha regular. Esta topologia, como foi referido no Capítulo 2, tem inúmeras vantagens, nomeadamente a redução do esforço computacional devido ao uso de uma malha regular pouco refinada, o que é conseguido pelo uso da malha de transição.

A malha em teia de aranha, cujo padrão 2D está esquematizado na Figura 3.6 (a), é composta por três anéis concêntricos, definidos pelas variáveis  $L_1, L_2, L_3$  e por uma discretização angular fixa dos elementos igual a  $36^\circ$ . Este valor, também como já foi referido no Capítulo 2, cumpre as recomendações ótimas para modelos de propagação de fenda baseados no método dos elementos finitos (Guinea *et al.*, 2000). Este padrão 2D é aplicado ao longo da frente de fenda que, conforme se referiu anteriormente, pode ser definida até um máximo de 21 nós de canto.



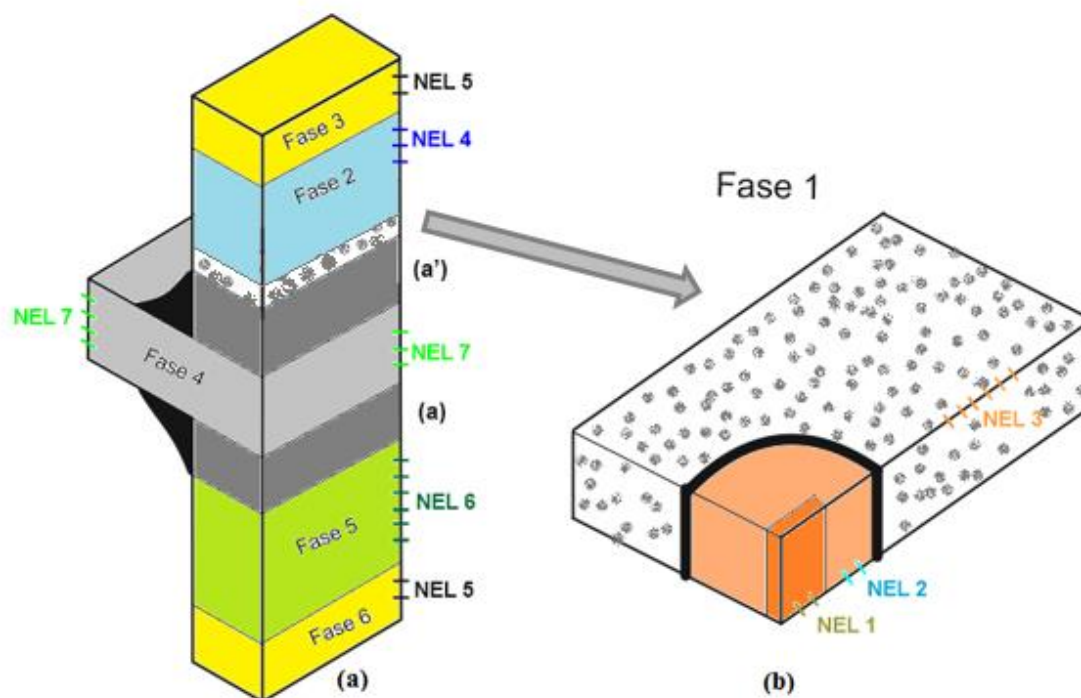
**Figura 3.6.** Topologia da malha da frente de fenda: (a) Malha em teia de aranha; (b) Malha de transição.

Por sua vez, a malha de transição da Figura 3.6 (b), apresenta um papel importante, uma vez que permite uma transição suave entre a malha mais refinada (malha em teia de aranha) e uma mais grosseira (malha regular). Esta malha é definida pelas variáveis geométricas  $L_4, T_1, T_2, T_3$  e  $T_4$ . As variáveis  $T_1$  e  $T_2$  são definidas implicitamente, com base nas definições da malha em teia de aranha, através da equação (3.2):

$$T_1 = T_2 = (L_1 + L_2 + L_3) \sin \theta \quad (3.2)$$

sendo  $\theta$  igual a  $36^\circ$  e  $72^\circ$ , respetivamente.





**Figura 3.7.** Definição da malha regular: (a) malha do corpo do provete; (b) malha do plano da frente de fenda.

A malha regular, como se representa na Figura 3.7, é definida através da união de diferentes regiões, para as quais é possível definir o número de camadas de elementos que a constituem. Esta metodologia é bastante flexível pois permite, por um lado, obter uma densidade adequada e, por outro, controlar de forma efetiva o esforço computacional.

Numa primeira fase, é gerada uma caixa retangular no plano da fenda que é constituída por três partes distintas (Fase 1). Na parte anterior à frente de fenda (Figura 3.7 (b)), representada a laranja, a densidade da malha é controlada pela variável NEL2. Na região posterior à frente de fenda (Figura 3.7 (b)), representada a branco e cinzento, a densidade da malha é controlada por NEL3.

Depois de o plano da fenda estar bem definido, efetua-se a geração do provete na direção ascendente do eixo dos yy, até ao início da zona que define o apoio (Fase 2). O número de camadas de elementos a utilizar nesta zona é definido através da variável NEL4. O restante volume, até ao topo superior (Fase 3), é definido com base no mesmo conceito, recorrendo à variável NEL5.

Seguidamente, é gerada a zona dos cordões de soldadura (Fase 4). As densidades da malha nas zonas dos cordões são definidas implicitamente através dos números de pontos

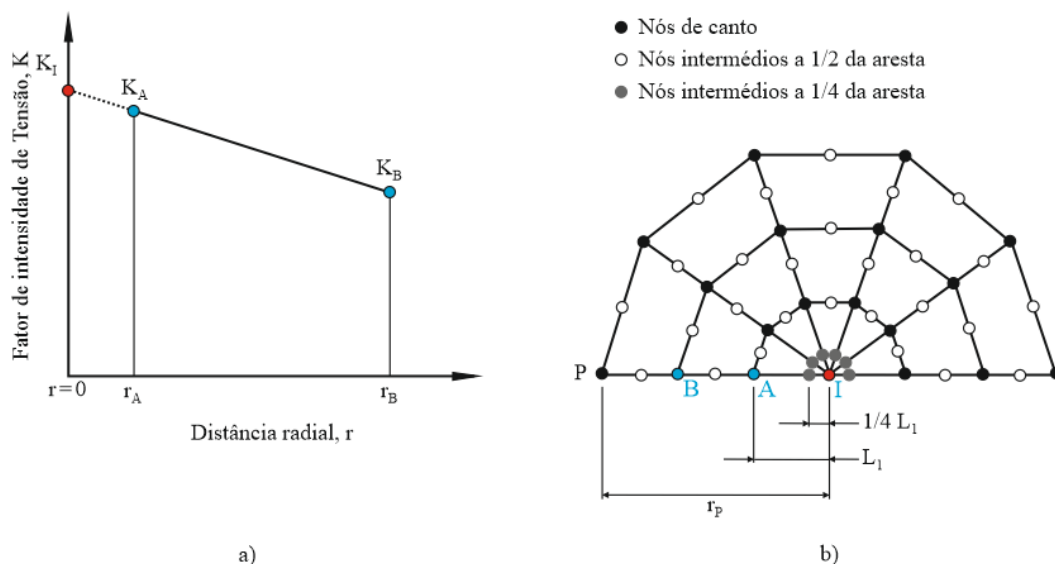
usados nas definições das formas dos cordões. A densidade da malha na região entre os dois cordões é definida através da variável NEL7.

Finalmente, seguindo uma metodologia idêntica à das Fases 2 e 3, são definidas as zonas inferiores do provete. Foram usadas as variáveis NEL5 e NEL6 para criar o restante volume no sentido descendente do eixo dos yy, sendo o primeiro referente à zona até ao apoio (Fase 5) e o outro à parte da Fase 6.

De referir ainda que nas secções (a) e (a'), a sua densidade depende do número de pontos usados para a definição dos respetivos cordões de soldadura.

### 3.2.1. Método de Cálculo de K

Os fatores de intensidade de tensão ao longo da frente de fenda são calculados usando o método de extrapolação com dois pontos (Antunes, 1999a). Este método consiste, genericamente, em determinar os valores do fator de intensidade de tensão em dois pontos, demonstrado na Figura 3.8 (a), e extrapolar o valor para a extremidade da fenda ( $r = 0$ ). Neste caso, os pontos utilizados estão representados na seguinte Figura 3.8 (b).



**Figura 3.8.** (a) Determinação esquemática do cálculo do fator de intensidade de tensão ao longo da frente de fenda usando o método de extrapolação com dois pontos; (b) Identificação dos nós intermédios movidos para  $\frac{1}{4}$  da aresta.

Tal como é aconselhado na literatura (Giunea *et al.*, 2000), os valores de  $K$  são estimados considerando apenas os dois primeiros termos da expressão (3.3), a partir do deslocamento normal ao plano da fenda.

$$v_B - v_P = K_I \frac{1+\nu}{4E} \sqrt{\frac{2r}{\pi}} \left\{ (2\kappa + 1) \sin \frac{\theta}{2} - \sin \frac{3\theta}{2} \right\} + \frac{A_1(1+\nu)r}{E} (\kappa - 3) \sin \theta + \frac{A_2(1+\nu)r^{3/2}}{E} \left\{ \frac{(2\kappa-1)}{3} \sin \frac{3\theta}{2} - \sin \frac{\theta}{2} \right\} + \dots \quad (3.3)$$

onde  $E$  é o módulo de Young,  $\nu$  é o coeficiente de Poisson,  $\kappa$  é um parâmetro elástico igual a  $(3 - 4\nu)$  em estado plano de deformação e  $(3 + \nu)/(1 + \nu)$  em estado plano de tensão,  $A_i$  são parâmetros dependentes da geometria e das condições de carregamento,  $\theta$  e  $r$  são as coordenadas polares e  $v_B$  e  $v_P$  os deslocamentos normais do plano da fenda para estes pontos.

Para um nó P arbitrário, localizado na face superior da fenda, o valor de  $K$  é dado pela expressão (3.4):

$$K = \sqrt{\frac{\pi}{8r_P} \times E' \times v_P} \quad (3.4)$$

onde  $r_P$  é a distância radial entre o nó P e a ponta da fenda e  $E'$  é o módulo de Young modificado, definido por  $E' = E/(1 - \nu^2)$  para estado plano de deformação, e o  $E' = E$  para estado plano de tensão.

No entanto, para simular a singularidade  $r^{-0.5}$ , os nós intermédios em torno da ponta da fenda são deslocados para  $1/4$  da aresta (Figura 3.8 (b)).

### 3.2.2. Definição da frente de fenda

No presente estudo, a frente de fenda é aproximada por uma curva *cubic spline*. Esta é uma função definida por uma curva que passa por um conjunto de pontos ( $k$ ), normalmente designados por nós. Portanto, para cada intervalo, a *cubic spline* é estabelecida pela aplicação da seguinte expressão (3.5):

$$\begin{aligned}
f_i(x_i) &= \frac{f''(x_{i-1})}{6(x_i - x_{i-1})} (x_i - x)^3 + \frac{f''(x_i)}{6(x_i - x_{i-1})} (x - x_{i-1})^3 \\
&\quad + \left[ \frac{f(x_{i-1})}{x_i - x_{i-1}} - \frac{f''(x_{i-1})(x_i - x_{i-1})}{6} \right] (x_i - x) \\
&\quad + \left[ \frac{f(x_i)}{x_i - x_{i-1}} - \frac{f''(x_i)(x_i - x_{i-1})}{6} \right] (x - x_{i-1})
\end{aligned} \tag{3.5}$$

onde  $x_i$  e  $f(x_i)$  são pares de nós e  $f''(x_i)$  é a derivada de segunda ordem. Esta expressão contém apenas duas incógnitas (as derivadas de segunda ordem no final de cada intervalo), que podem ser calculadas pela equação (3.6). Assim, a aplicação da equação anterior, para todos os nós interiores, implica a necessidade de  $k - 1$  equações em simultâneo e  $k + 1$  derivadas de segunda ordem desconhecidas. No entanto, devido ao facto de se tratar de uma *cubic spline* natural, as derivadas de segunda ordem nos nós finais são nulas, o que permite reduzir o problema para  $k - 1$  equações e  $k - 1$  incógnitas. Além disso, o sistema de equações resultante é tri-diagonal, sendo este particularmente fácil e rápido de resolução.

$$\begin{aligned}
&(x_i - x_{i-1})f''(x_{i-1}) + 2(x_{i+1} - x_{i-1})f''(x_i) + (x_{i+1} - x_i)f''(x_{i+1}) \\
&= \frac{6}{(x_{i+1} - x_i)} [f(x_{i+1}) - f(x_i)] + \frac{6}{(x_i - x_{i-1})} [f(x_{i-1}) - f(x_i)]
\end{aligned} \tag{3.6}$$

Os incrementos locais da fenda dos nós de canto para carregamentos em Modo I, seguem a metodologia esquematizada na Figura 2.8, i.e. são calculados assumindo uma propagação na direção normal à frente de fenda.

Para o nó de canto arbitrário  $i$ , o incremento normal da fenda para a iteração  $j$ , é determinado através da equação (2.7).

Com o objetivo de se obter uma frente de fenda mais realista e valores mais exatos do fator de intensidade de tensão, como foi abordado na secção 2.3.6, os nós de canto provisórios são usados para obter uma *cubic spline* que é posteriormente usada para reposicionar, quer os nós intermédios, quer os nós de canto.



## 4. DESENVOLVIMENTO DO MODELO DE PROPAGAÇÃO AUTOMÁTICA DE FENDA

No presente capítulo será descrito, de forma detalhada, o modo como foi criado o modelo de propagação automática de fenda, que se baseou no algoritmo apresentado na Figura 4.1. Esta figura apresenta, genericamente, as principais etapas do procedimento desenvolvido ao longo deste trabalho, que consistem, resumidamente, na fase de pré-processamento onde são lidos os dados de entrada, a parte de processamento onde são efetuadas as etapas principais da técnica de remalhagem adaptativa descrita no Capítulo 2, e a parte de pós-processamento que fornece ao utilizador os resultados adquiridos durante a simulação. A Figura 4.2 apresenta, de forma resumida, o fluxo do procedimento automático desenvolvido em termos de subrotinas e respetiva sequência de processamento. Nos subcapítulos seguintes, e com o auxílio dos Apêndices A e B, são descritos, de forma pormenorizada, os passos seguidos para a obtenção do modelo. No ponto 4.1 é analisada a fase de pré-processamento, no ponto 4.2 descreve-se a fase de processamento, e, por fim, no último subcapítulo, aborda-se a fase de pós-processamento. Relativamente aos apêndices, o primeiro apresenta o código integral das principais subrotinas, desenvolvido em Visual Basic 2012; e o segundo apresenta exemplos dos ficheiros de *input* (ficheiros ASCII) utilizados.

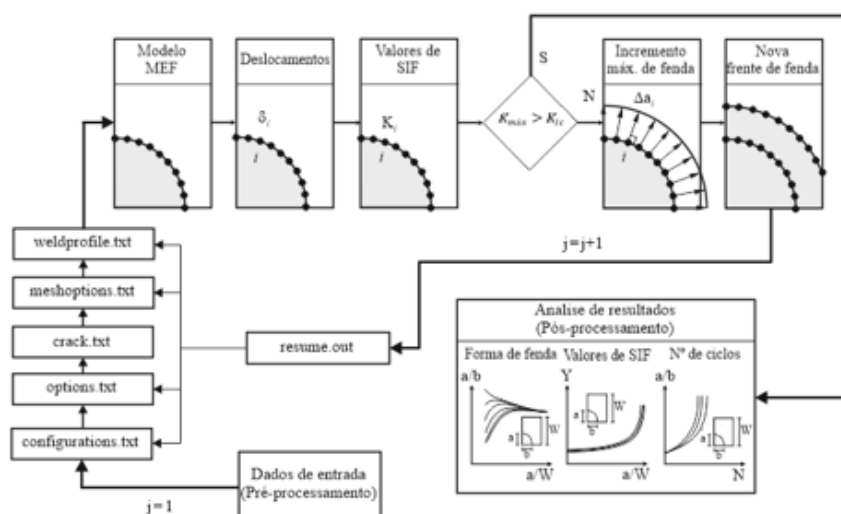
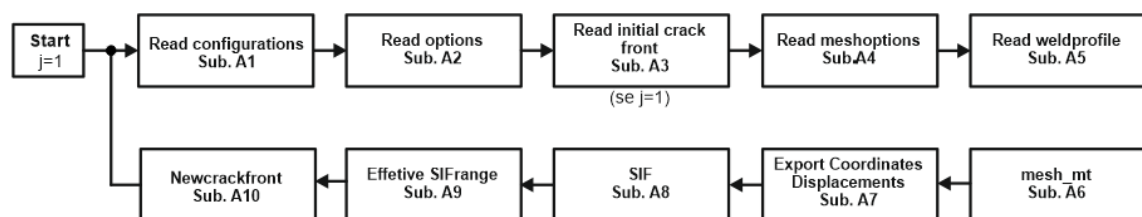


Figura 4.1. Algoritmo do procedimento numérico desenvolvido.



**Figura 4.2.** Resumo das principais subrotinas criadas para implementar o procedimento numérico desenvolvido.

## 4.1. Pré-Processamento

Todos os modelos numéricos de elementos finitos necessitam de dados de entrada para que, posteriormente, ocorra a parte do processamento.

Assim, para que este modelo se inicie, o programa tem de importar e ler a informação contida em cinco ficheiros de texto (.txt). Esta tarefa fica ao encargo do módulo *myinput.vb* que importa a informação dos ficheiros *configurations.txt* (Sub. A1), *options.txt* (Sub. A2), *crack.txt* (Sub. A3), *meshoptions.txt* (Sub. A4) e *weldprofile.txt* (Sub. A5). As Figuras B1 a B5 apresentam, respetivamente, exemplos genéricos dos ficheiros ASCII usados atualmente.

O ficheiro *configurations.txt* tem como principal objetivo ler informação geral para interação com o *software* de elementos finitos usado, bem como para fazer a gestão de pastas e ficheiros gerados durante a simulação (Figura B.1). O ficheiro *options.txt* contém as variáveis geométricas (Figura 3.2), o nível de penetração da soldadura (Figura 3.3), o tipo e magnitude do carregamento (Figura 3.5 e Figura 4.9), as constantes do material necessárias para a simulação (Tabela 3.1 e Tabela 3.2) e o incremento máximo de fenda (Figura B.2).

O ficheiro *crack.txt* (Figura B.3) contém as coordenadas polares dos nós da frente de fenda (Figura 3.2 (c)). Muito idêntico ao anterior ficheiro, temos, ainda, o ficheiro *resume.out*, que apresenta a mesma informação, mas guarda, também, o número de ciclos e de iterações já realizados. Este ficheiro substitui o ficheiro *crack.txt* (que é apenas lido no início da simulação) e, por outro lado, permite recomeçar uma simulação que tenha sido interrompida pelo utilizador a partir da última iteração já realizada (Figura B.6). As variáveis que permitem a definição da malha de elementos finitos, mencionadas no subcapítulo 3.2, encontram-se no ficheiro *meshoptions.txt* (Figura B.4).

No ficheiro *weldprofile.txt* está contida a informação sobre as coordenadas dos nós dos perfis dos cordões de soldadura fissurado e não fissurado, com a particularidade mencionada anteriormente, de que o cordão fissurado possui mais um nó, como se pode visualizar na Figura B.5.

## 4.2. Processamento

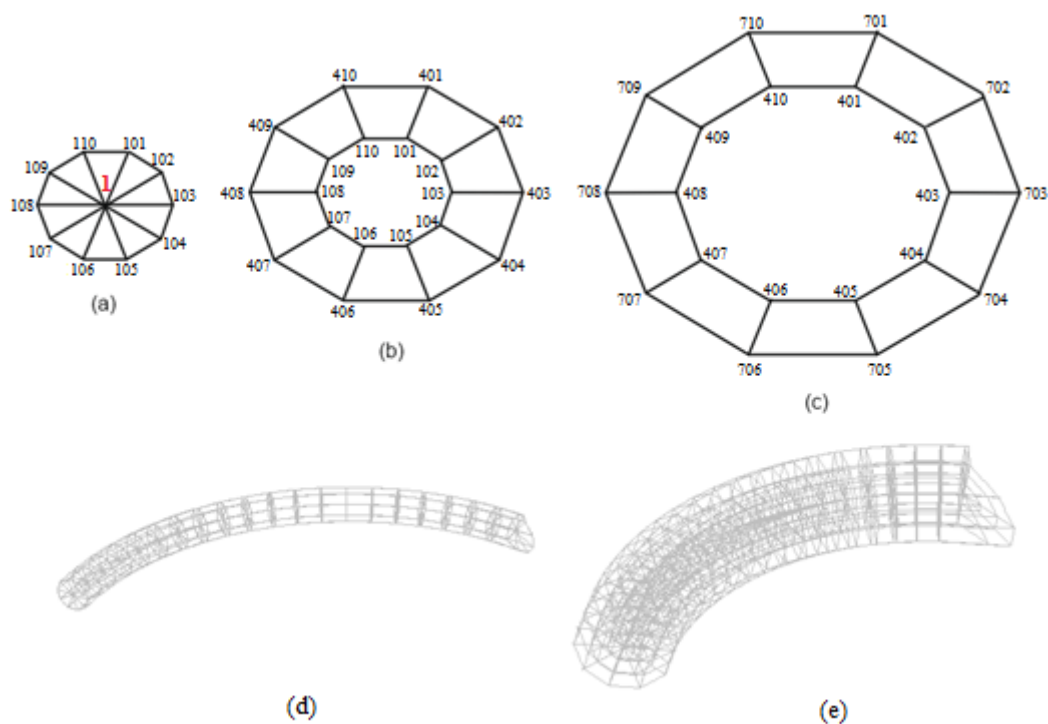
A descrição dos principais passos da fase de processamento é apresentada, em detalhe, neste ponto. Com o objetivo de tornar a descrição mais fluida e simples para o leitor, o código-fonte é apresentado no Apêndice A. No que diz respeito à subrotina *mesh\_wt* que permite obter o modelo de elementos finitos (vide Figura 4.1), como esta é bastante extensa, as linhas foram numeradas (L1 a L1325) para facilitar a descrição do procedimento desenvolvido.

A primeira etapa da fase de processamento é a geração do modelo numérico. Essa geração é, essencialmente, efetuada através do módulo *mesh.vb* (Sub. A6). Inicialmente, são definidos os tipos elementos finitos e as propriedades elásticas do material (L5 a L8). Depois, são definidas, em coordenadas cartesianas, as coordenadas dos nós de canto da frente de fenda (L9 a L19). Estas coordenadas provêm do ficheiro *crack.txt* onde foram inicialmente inseridas em coordenadas polares. Da leitura deste ficheiro, na subrotina *readinitialcrackfront*, é também determinado o número máximo de nós, definido pelo utilizador, que é armazenado na variável *ncfp*. Este parâmetro, como se verá, terá grande influência no processo de desenvolvimento da malha, pois grande parte dos volumes do sólido a gerar serão indexados a este valor. A seguir, obtém-se os ângulos que definem as direções normais à frente de fenda (L14 a L19).

Após estas primeiras definições, cria-se a malha em teia de aranha, composta por três anéis. Para definir os anéis é necessário criar, de forma sequencial, pontos (L20 a L37; L74 a L91; L128 a L145), linhas (L38 a L54; L92 a L108; L146 a L162), superfícies (L55 a L66; L109 a L120; L163 a L174), e, por fim, volumes (L67 a L73; L121 a L127; L175 a L179). Para melhor compreensão, explica-se, de seguida, a definição do primeiro anel mostrado na Figura 4.3 (a), sendo os outros obtidos do mesmo modo. A criação dos pontos (L20 a L37) resume-se à definição de 10 pontos, dispostos em torno de cada nó da frente de fenda, conforme se representa na Figura 4.2 (a). A numeração indicada corresponde aos



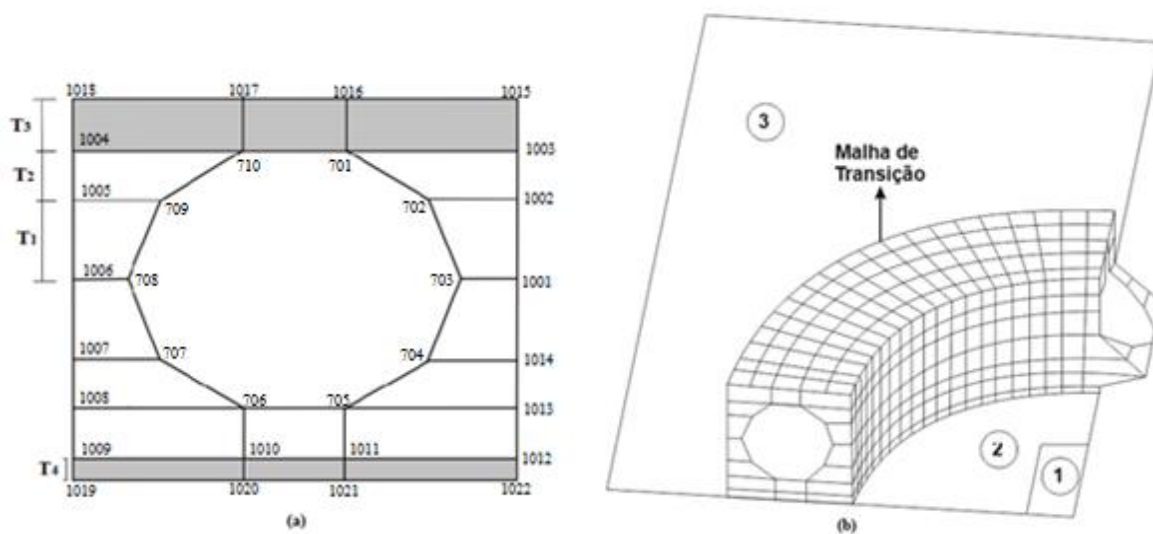
pontos do nó mais interior, sendo nos restantes adotada igual sequência. No caso do nó superficial, junto ao cordão, identificado pelo valor  $ncfp$ , os pontos são dispostos através de código específico (L28 a L37), uma vez que estes possuem uma variação angular por contactar com o elemento especial do cordão de soldadura. Seguidamente, são definidas as linhas de ligação entre os pontos (L38 a L54), que posteriormente são usadas para criar as superfícies (L55 a L66), que, por fim, dão origem aos volumes do primeiro anel da malha em teia de aranha (L67 a L73). O aspeto final, após a geração das várias entidades mencionadas, encontra-se representado na Figura 4.3 (d). Repetindo o procedimento descrito para o segundo anel (L74 a L127) e, seguidamente, para o terceiro anel (L128 a L179) obtêm-se todos os volumes da malha em teia de aranha, que estão esquematizados na Figura 4.3 (e).



**Figura 4.3.** Malha em teia de aranha: (a) padrão 2D do 1º anel; (b) padrão 2D do 2º anel; (c) padrão 2D do 3º anel; (d) representação 3D primeiro anel; (e) representação 3D dos três anéis.

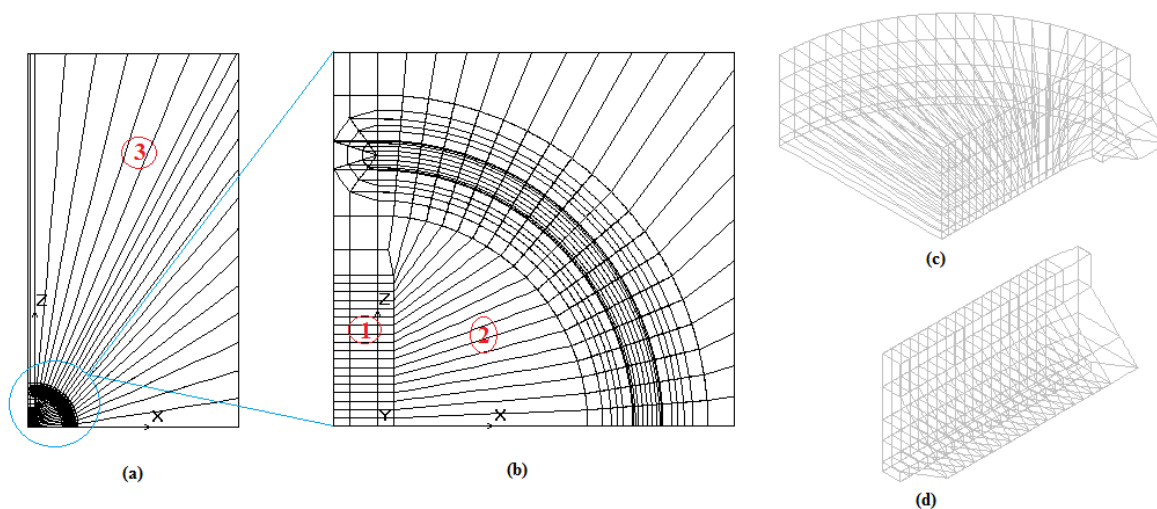
Na definição da malha de transição, foi usada uma abordagem idêntica à anterior. Inicialmente foi criado um padrão 2D, disposto ao longo da frente de fenda para cada um dos nós de canto, cujas dimensões são definidas através das variáveis  $L_1, L_2, L_3, L_4, T_1, T_2, T_3$  e  $T_4$  (Figura 3.6). Os pontos foram dispostos, para cada camada da malha, segundo a ordem

indicada na Figura 4.4 (a) (L187 a 239). Tal como na malha em teia de aranha, foi previsto um caso especial para a camada superficial, identificada por *ncfp* devido à inclinação do cordão de soldadura (L215 a L239). Seguidamente, criam-se as linhas que unem os pontos (L240 a L283), que permitem obter as superfícies (L284 a L308), a partir das quais se geram os volumes que fazem parte desta malha (L309 a L325). Na Figura 4.4 (b) apresenta-se um exemplo de uma malha de transição na sua versão final. Relativamente à malha de transição convém, ainda, referir que as camadas identificadas a cinzento na Figura 4.4 (a) foram adicionadas para facilitar a geração da malha regular. Estas camadas, como será explicado mais à frente, são sobrepostas umas sobre as outras, com espessuras variáveis ( $T_3$  e  $T_4$ ) que dependem da densidade de malha definida pelo utilizador no ficheiro *meshoptions.txt*. A camada inferior é usada para geração dos elementos acima da malha de transição (com o comando *elscale*) enquanto a camada superior é usada para gerar os elementos abaixo da malha de transição.



**Figura 4.4.** (a) Padrão 2D da malha de transição; (b) representação 3D da malha de transição.

No que diz respeito à malha regular, o processo implementado segue a metodologia descrita na Figura 3.7. No plano da fenda, na zona anterior à frente de fenda, são criadas duas zonas distintas, como pode ser visualizado na Figura 4.5 (b).



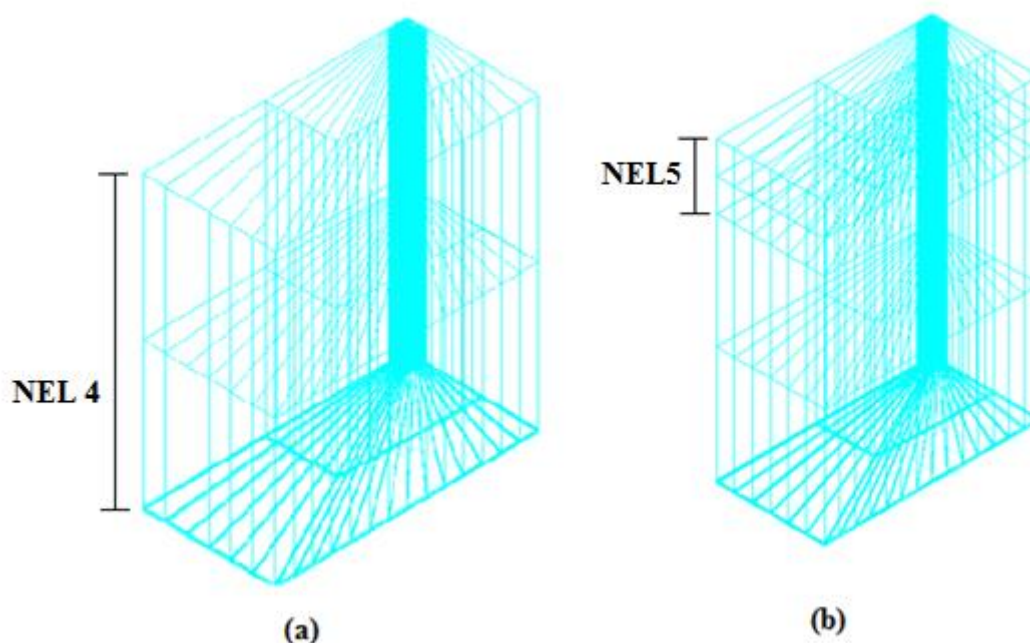
**Figura 4.5.** (a) Malha no plano da fenda; (b) ampliação da zona junto à frente de fenda; (c) representação 3D da malha da zona 1; (d) representação 3D da malha da zona 2.

Todos os passos, até a obtenção dos volumes desta zona, foram exatamente iguais aos utilizados anteriormente para as outras malhas. Primeiro, foram gerados os pontos ao longo de todo o contorno exterior (L434 a L468), seguiram-se as superfícies (L469 a L488), e, finalmente, os volumes (L489 a L500). Depois de criados todos os volumes do plano da fenda, passou-se a malhagem (L501 a L549). A malha foi criada para a zona em forma de teia de aranha, zona de transição, e malha regular no plano da fenda, utilizando os volumes gerados anteriormente. Posteriormente, criou-se a malha desde a camada superior da Figura 4.4 (a) até ao topo da peça (Fases 2 e 3 da Figura 3.7). A geração da malha a partir da camada inferior da Figura 4.4 (a) foi efetuada posteriormente por uma questão de conveniência no processo de obtenção da geometria.

Como foi referido anteriormente, a geração dos elementos das Fases 2 (L564 a L573) e 3 (L574 a 580) é obtida através da sobreposição de camadas idênticas às da Figura 4.4 (a) mas com espessuras diferentes, que são definidas, respetivamente, com o auxílio das variáveis NEL4 e NEL5, esquematizadas na Figura 3.7, e introduzidas no ficheiro *meshoptions.txt*. Nas Figura 4.6 (a) e (b) são representadas as malhas no final da Fase 2 e da Fase 3, respetivamente.

De modo a facilitar a aplicação das condições de fronteira no modelo de elementos finitos, a compressão (*compress*) e renumeração dos nós (*merge*) foram efetuadas por etapas. Inicialmente, estas tarefas foram executadas no final desta fase (L583 a 589).

Posteriormente foi realizada a malhagem da parte inferior do plano da fenda, através da utilização da camada inferior da Figura 4.4 (a).

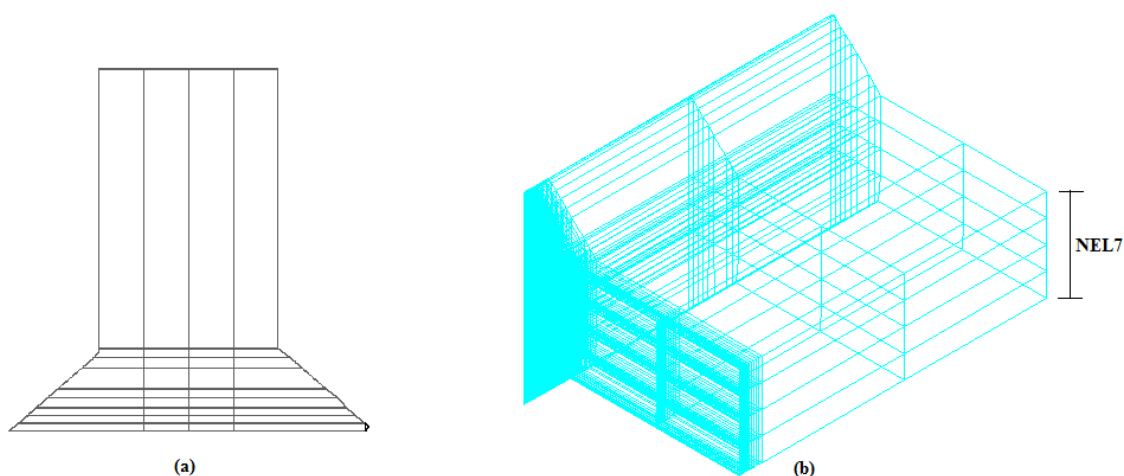


**Figura 4.6.** Geração da malha: (a) até aos apoios (NEL4=2); (b) até à extremidade superior do provete (NEL5=2).

O procedimento seguiu a filosofia descrita acima (L590 a L635).

A criação da geometria das juntas soldadas, que corresponde à Fase 4 representada na Figura 3.7, é efetuada a partir da linha 636. Como foi representado atrás, na Figura 3.3, o modelo permite definir o nível de penetração, de forma independente, para cada um dos lados do cordão, através das variáveis Lig(1) e Lig(2). Numa primeira abordagem, procura-se definir a geometria ótima (L643 a L662), em função das variáveis inseridas pelo utilizador no ficheiro *options.txt*. Segue-se a definição dos pontos do lado fissurado (L663 a L686), depois os pontos da zona não fissurada (L687 a L699), as superfícies (L700 a L721), e os volumes (L722 a L735) da camada mais interior. Na Figura 4.7 (a) apresenta-se uma vista dos volumes criados nesta fase. A partir dos volumes criados para a camada interior, obtém-se a malha tendo em conta o nível de refinamento pretendido. Nesta região, o refinamento é controlado em função das variáveis geométricas que dependem da geometria ótima do cordão descrita atrás e também da variável NEL7 (Figura 3.7) inserida no ficheiro de *input meshoptions.txt* (L736 a L791). Posteriormente, esta camada de elementos é gerada com base nas definições previamente mencionadas (L792 a 818). Após a geração destes

elementos faz-se uma nova compressão e renumeração dos nós para facilitar a introdução das condições de fronteira da parte não fissurada. Finalmente, os elementos desta camada são utilizados para gerar as restantes camadas, sendo as espessuras de cada camada dependentes das definições assumidas aquando da criação das malhas em teia de aranha, transição, e regular no plano da fenda (Fase 1). No final desta etapa, a malha referente à zona dos cordões tem o aspeto genérico representado na Figura 4.7 (b).

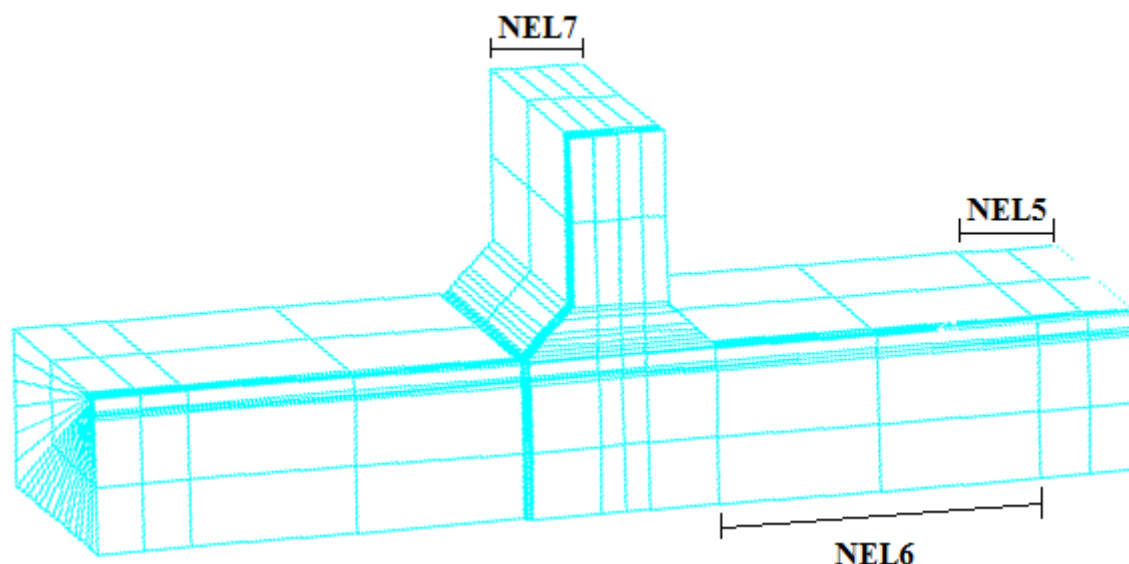


**Figura 4.7.** (a) Perfil 2D na zona dos cordões de soldadura; (b) malha de elementos finitos na zona dos cordões de soldadura.

Para que a geometria ficasse totalmente definida, foi necessário criar as Fases 5 e 6. O procedimento adotado foi idêntico ao descrito para as Fases 2 e 3. Neste caso, usou-se a camada inferior identificada na Figura 4.4 (a) e foram-se colocando camadas sobrepostas, umas sobre as outras, até à extremidade inferior da peça. Numa primeira fase foram geradas as camadas por baixo da zona criada anteriormente (L828 a L866) onde a espessura de cada uma delas depende da geometria estabelecida anteriormente (Figura 4.7 (b)). Seguidamente, foram geradas as camadas até à zona dos apoios (L883 a L932) e, por fim, as camadas até ao topo inferior da peça (L939 a L943). A densidade da malha nestas duas regiões, tal como se representa na Figura 4.8, é controlada pelas variáveis NEL6 e NEL5, respetivamente. Após esta etapa, que corresponde ao final da geração da malha de elementos, o modelo tem o aspeto genérico representado na Figura 4.8.

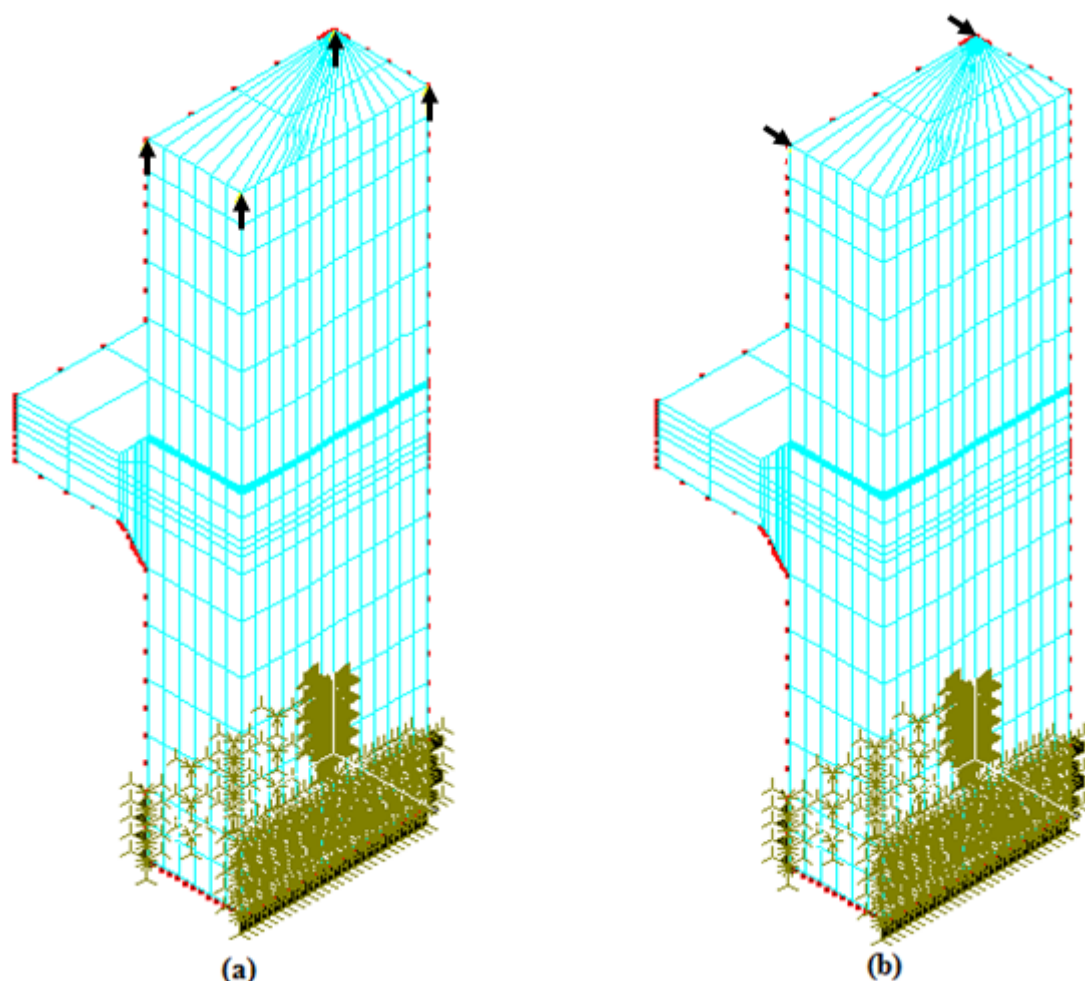
Entre as linhas 946 e 953, realizou-se a compressão e renumeração dos nós das geometrias anteriormente criadas, bem como dos nós da região não fissurada da frente de

fenda (L954 a L968) e da região ligada dos cordões de soldadura (L969 a L976). Tal como foi recomendado na literatura, e abordado no Capítulo 2, efetuou-se o reposicionamento radial dos nós intermédios do primeiro anel da frente de fenda para  $\frac{1}{4}$  da aresta (L977 a L997).



**Figura 4.8.** Geração da malha até à extremidade inferior do provete (NEL4=2 e NEL6=2).

Seguidamente, passou-se à definição das condições de fronteira e carregamento. Como foi referido no capítulo 3, foram previstos vários tipos de carregamento (tração, flexão e flexão-tração). Foram criados 16 cenários de carregamento implementados no modelo numérico desenvolvido. O código implementado que traduz estes cenários de carregamento encontra-se nas linhas 1015 a 1303, permitindo com que se obtenha os diferentes carregamentos. As variações que se garantem nos diferentes cenários é a possibilidade de se ter cargas aplicadas pontualmente, cargas distribuídas aplicadas sobre arestas ou superfícies. Por outro lado foram definidas para cada cenário as condições de fronteira que permitem cenários de tração simples, flexão-tração, flexão em três pontos e flexão em torno de um ou dois planos. Nesta fase foi ainda efetuada uma otimização da malha regular, de forma a esta ser igual ao longo de todo o corpo do provete. As alterações efetuadas face à Figura 4.8, consistiu na alteração do NEL4 e NEL6 para um valor igual a 4, havendo assim um aumento no número de nós para 25638 e do número de elementos para 5520.



**Figura 4.9.** Vários cenários de carregamento: (a) fenda de canto sujeita a tração com cargas aplicadas nas extremidades; (b) fenda de canto sujeita a flexão com cargas aplicadas nas extremidades.

Depois da geração do modelo de elementos finitos, o *software* inicia a corrida (L1310). Quando a corrida termina, os deslocamentos e as coordenadas dos nós necessários ao cálculo do fator de intensidade de tensão são exportados para ficheiros ASCII específicos (L1311).

No passo seguinte do algoritmo da Figura 4.2, segue-se a subrotina A8, onde são calculados os valores do fator de intensidade de tensão. O método utilizado para determinar os valores de  $K$ , como foi descrito no subcapítulo 3.2.1, é o método da extrapolação com 2 pontos, que é, portanto, implementado nesta subrotina. Após estes cálculos, o *software* verifica se o valor máximo de  $K$  excede a tenacidade à fratura do material. Caso isso aconteça, a simulação é interrompida; caso contrário prossegue para o cálculo dos valores efetivos do fator de intensidade de tensão para os nós da frente de fenda, o que é efetuado na

subrotina A9, e, seguidamente, define uma nova frente de fenda, seguindo a metodologia descrita no subcapítulo 3.2.2, e que é implementada na subrotina A10.

Após o final da subrotina A10, o procedimento é novamente repetido, seguindo os passos descritos anteriormente. No essencial, há apenas a referir que a nova iteração parte de uma nova frente de fenda, cujas coordenadas foram o resultado da iteração anterior. O procedimento automático é interrompido quando se atinge a tenacidade à fratura do material ou quando o utilizador assim o entender.

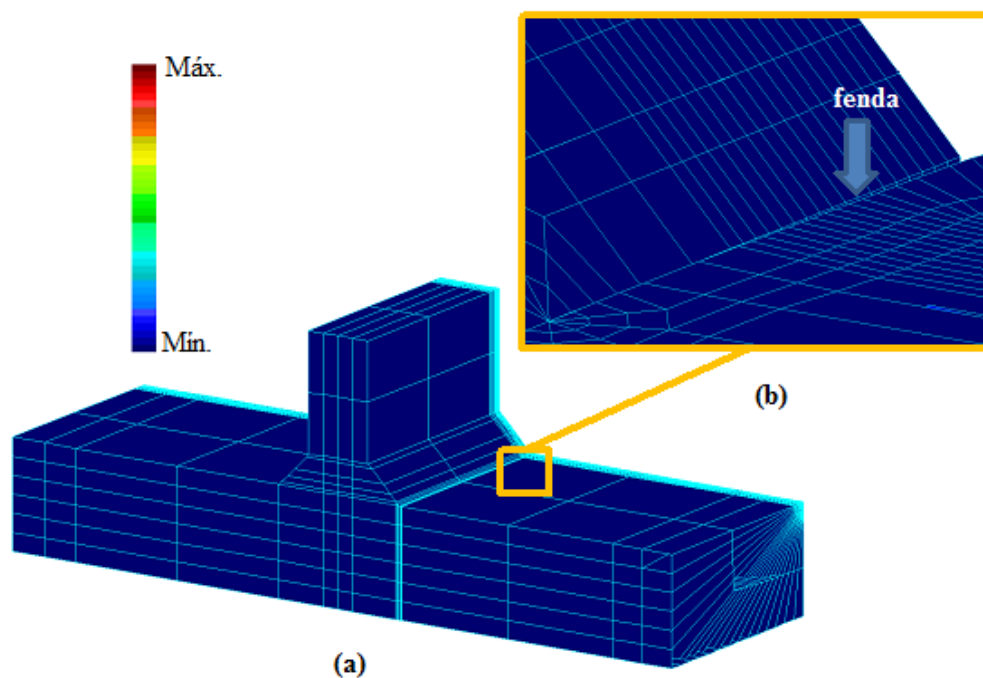
### 4.3. Pós-Processamento

Após a realização da simulação, os resultados obtidos são bastante diversificados. A partir dos ficheiros de sessão (.ses) criados com a subrotina *mesh\_wt* (Sub. A6), e com o recurso ao *software* de elementos finitos COSMOSM atualmente em uso, é possível, para cada incremento de fenda, obter informação importante acerca dos campos de deslocamento, de deformações e de tensões. Na Figura 4.10 (a), apresenta-se um exemplo da distribuição de tensões de von Mises na peça fissurada para um carregamento de tração, semelhante ao da Figura 3.5 (b) (as restantes variáveis de *input* consideradas estão listadas nas Figura B.1 a Figura B.4). Na Figura 4.10 (b), apresenta-se uma vista ampliada da zona da fenda com a representação da deformada prevista para a fenda nestas condições de carregamento.

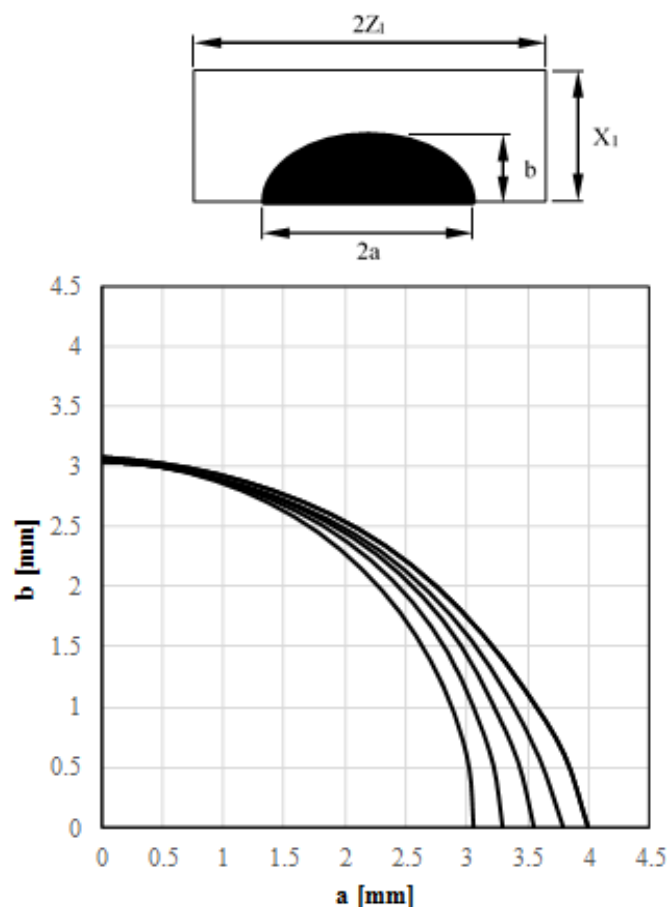
Além disso, tal como representado na Figura 4.1, as variáveis obtidas com as simulações são as formas da frente de fenda, os valores dos fatores de intensidade de tensão, e os números de ciclos de fadiga. Na Figura 4.11 apresentam-se resultados típicos da evolução da frente de fenda obtidos a partir do modelo numérico desenvolvido neste trabalho. Foi considerada uma frente de fenda superficial, com forma semi-elíptica (aqui representada apenas pela parte modelada, e, por isso, correspondendo a uma forma em quarto-de-círculo), com comprimento inicial igual a 3 mm. A secção do plano da fenda tinha 100 mm ( $Z1 = 50$  mm) por 25 mm. Aplicou-se um carregamento de flexão em três pontos correspondente ao caso 14 da Sub. A6 (L1239 a L1257) com razão de tensão  $R = 0,5$ . O incremento máximo de fenda ( $\Delta a_{máx}$ ) utilizado foi igual a 0,05 mm. As malhas utilizadas foram semelhantes às apresentadas na Figura 4.9, exceto no que diz respeito ao carregamento



e às condições de fronteira. As restantes variáveis utilizadas na simulação foram idênticas às apresentadas nas Figura B.1 a Figura B.4 (Apêndice B). De modo a que a evolução da forma de fenda seja mais perceptível do ponto de vista gráfico muitas das frentes de fenda não foram representadas na Figura 4.11. Como se pode verificar, a frente de fenda tende a avançar mais junto à superfície, junto ao pé do cordão, do que em pontos mais interiores. Essa diferença pode ser explicada, quer pela concentração de tensões introduzida pela geometria do cordão e o gradiente de tensões. Por outro lado, o estado plano de tensão tende a introduzir o fecho da fenda que causa o retardamento do ponto superficial. Observa-se, também, que a fenda tende para uma forma próxima de quarto-de-elipse (o que significa que a fenda real tende para uma forma aproximadamente semielíptica). Esse facto é também visível na Figura 4.12 que mostra a evolução do parâmetro adimensional  $a/b$  com o comprimento de fenda adimensional  $b/X1$ . Como se constata, há um período inicial caracterizado por uma alteração rápida de valores de  $a/b$  próximos de 1 para valores de  $a/b$  maiores do que 1. Por outro lado, embora os dados da figura não sejam totalmente conclusivos, à medida que a fenda propaga,  $a/b$  parece descrever uma trajetória no sentido de um valor assintótico, que será, entre outros aspetos, afetado pelo fator de concentração de tensões resultante da geometria do cordão.



**Figura 4.10.** (a) Representação das tensões de von Mises na peça; (b) detalhe na região da fenda.



**Figura 4.11.** Evolução da frente de fenda para uma fenda superficial com forma inicial semicircular com comprimento igual a 3 mm sujeita a flexão em três pontos.

Na Figura 4.13 representa-se a evolução do fator de intensidade de tensão ao longo da frente de fenda (em função de  $\theta$ , igual a  $0^\circ$  no nó mais interior, e igual a  $90^\circ$  no nó superficial) para as quatro formas de fenda apresentadas na figura anterior. Para facilitar a comparação de resultados, os valores de  $K$  foram divididos pelo valor máximo do fator de intensidade de tensão da respetiva frente de fenda. Pode verificar-se que para a frente de fenda inicial, a fenda superficial semicircular, a relação  $K_i/K_{m\acute{a}x}$  varia de forma muito acentuada com  $\theta$ . No entanto, à medida que a fenda se propaga, as diferenças entre os valores máximos deste parâmetro, observadas à superfície, e os valores mínimos, observados no nó mais interior, tendem a diminuir. Para a última frente de fenda ( $a=3.99$  mm), o valor mínimo é superior a 0.6 e o máximo é igual a 1. Para a primeira frente de fenda ( $a=3.00$  mm), o valor mínimo era próximo de 0. Esta evolução parece indiciar uma tendência para um iso-K, i.e. uma relação  $K_{m\acute{i}n}/K_{m\acute{a}x}$  próxima de 1.

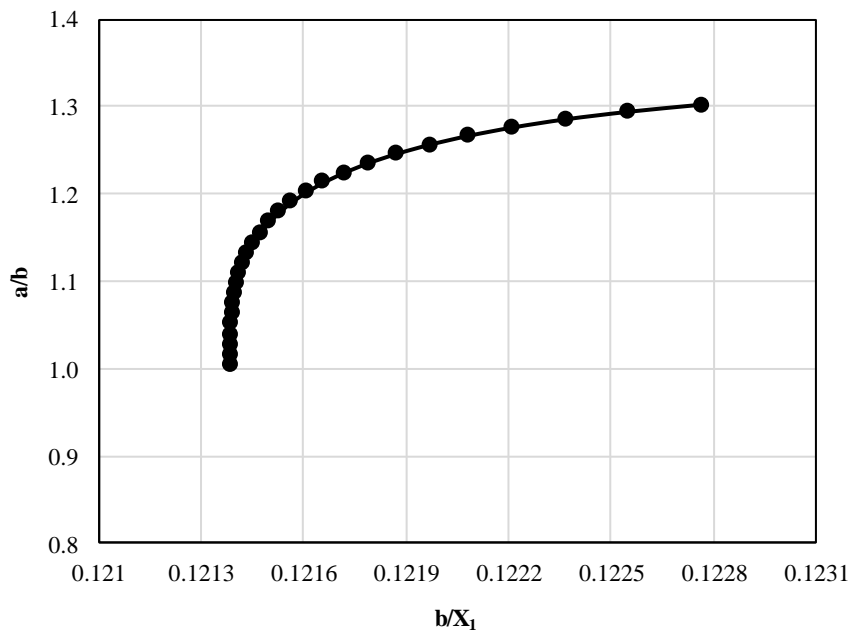


Figura 4.12. Evolução do parâmetro adimensional  $a/b$  com o comprimento de fenda adimensional  $b/X_1$ .

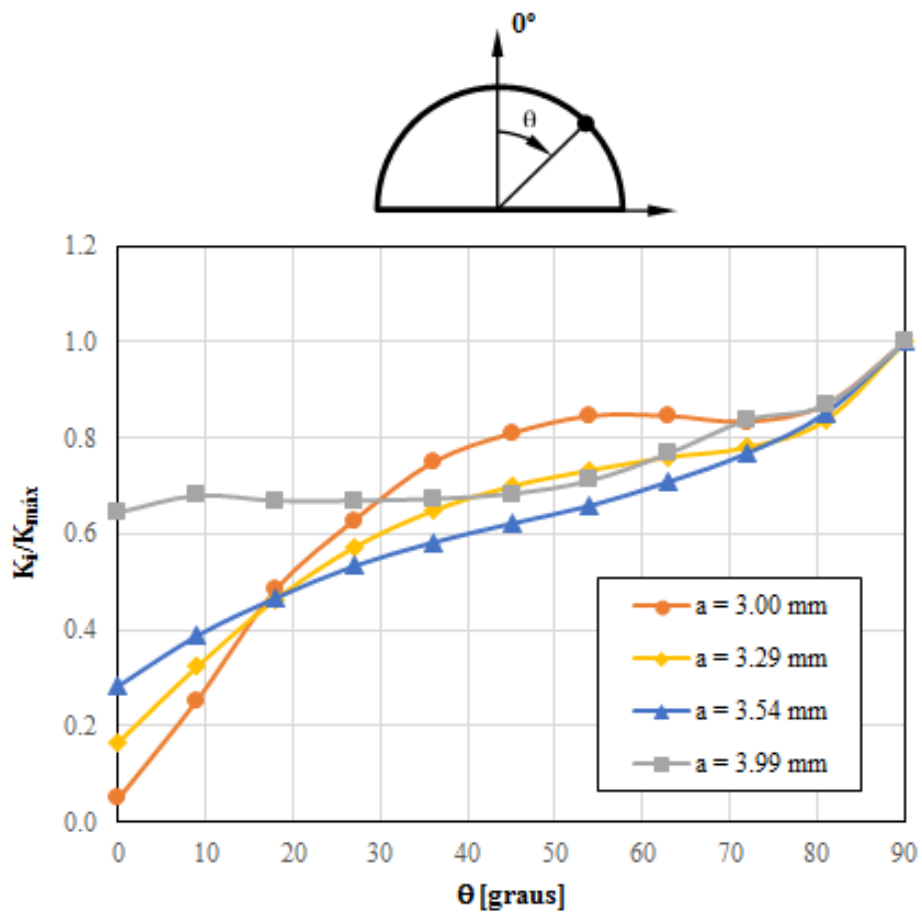


Figura 4.13. Variação do  $K_i/K_{m\acute{a}x}$  ao longo da frente de fenda para diferentes comprimentos de fenda.

## 5. CONCLUSÕES E PERSPETIVAS FUTURAS

O objetivo principal deste trabalho era o desenvolvimento de um procedimento automático para estudo de problemas de propagação de fendas por fadiga em juntas soldadas em forma de T sujeitas a cargas cíclicas de amplitude constante. Pretendia-se que o procedimento a desenvolver utilizasse modelos de elementos finitos tridimensionais e que permitisse simular explicitamente a evolução da forma da fenda.

O procedimento foi desenvolvido através da linguagem de programação Visual Basic 2012 e cumpre totalmente os objetivos delineados inicialmente. A simulação explícita da forma da fenda foi conseguida através da implementação de uma técnica de remalhagem adaptativa que pode ser dividida em cinco passos principais repetidos ciclicamente: (i) desenvolvimento de um modelo de elementos finitos representativo da peça fissurada; (ii) obtenção do campo de deslocamentos; (iii) cálculo das gamas efetivas do fator de intensidade de tensão dos nós da frente de fenda; (iv) determinação dos incrementos nodais aplicando curvas  $da/dN - \Delta K$  experimentais; e, por fim, (v) definição da nova frente de fenda.

A malha tridimensional de elementos finitos é constituída por três regiões: uma região em forma de teia de aranha na frente de fenda constituída por três anéis concêntricos; uma malha de transição; e uma malha regular. O campo de deslocamentos do modelo numérico é obtido a partir da ferramenta computacional COSMOSM que integra o *software* comercial SOLIDWORKS 2014. Atualmente, o cálculo dos valores do fator de intensidade de tensão na frente de fenda é efetuado com o método da extrapolação com dois pontos. A definição da frente de fenda é definida com base em funções *cubic spline* que permitem reposicionar os nós de canto e os nós intermédios de forma mais suave contribuindo para valores mais exatos dos fatores de intensidade de tensão, e, conseqüentemente, para simulações mais realistas.

O modelo de elementos finitos, um dos aspetos cruciais deste trabalho, é bastante flexível e versátil. Podem salientar-se os seguintes aspetos:

- i. a frente de fenda é definida a partir de um número variável de nós, o que permite acomodar diferentes dimensões e formas iniciais;

- 
- ii. o modelo tanto pode simular fendas de canto como fendas superficiais centrais, neste último caso aplicando condições de simetria;
  - iii. é possível considerar diferentes tipos de carregamento em Modo-I, incluindo tração, flexão, e tração-flexão;
  - iv. o perfil do cordão da zona fissurada e o perfil do cordão da zona não fissurada podem ser definidos de forma independente e flexível;
  - v. podem ser definidos os níveis de penetração da soldadura dos lados fissurado e não fissurado dos cordões;
  - vi. a densidade da malha pode ser controlada de forma eficiente ao longo de toda a malha regular, incluindo as zonas dos cordões;
  - vii. o modelo permite estudar diferentes tipos de assimetrias geométricas, nomeadamente no que diz respeito às formas dos perfis dos cordões, às dimensões dos cordões, às dimensões dos apoios, e às percentagens de penetração dos cordões de soldadura; entre outros;

Embora os objetivos iniciais tenham sido atingidos, para que o procedimento automático funcione na sua plenitude, é ainda necessário executar mais algumas tarefas. Nesse sentido, propõe-se como trabalho futuro:

- i. otimizar as principais variáveis numéricas, incluindo, entre outros, o comprimento radial dos elementos finitos do primeiro anel da frente de fenda; o valor do incremento máximo de fenda; a densidade da malha, etc.;
- ii. validar os resultados numéricos comparando-os com resultados experimentais obtidos para casos idênticos de propagação;
- iii. implementar um método energético de cálculo de K, por exemplo o Integral-J, e fazer uma análise de sensibilidade dos valores obtidos com aqueles que se obtêm com o método da extrapolação com 2 pontos;
- iv. desenvolver uma interface gráfica, baseada em janelas *Windows*, para facilitar: a introdução de dados (atualmente efetuada a partir de ficheiros ASCII); o acompanhamento em tempo real ao longo da simulação da evolução da forma da fenda, valores do fator de intensidade de tensão, e da vida de fadiga; o tratamento de resultados após término da simulação.

- v. desenvolver *plug-ins* que permitam a leitura e análise dos modelos numéricos tridimensionais a partir de outros softwares comerciais de elementos finitos usados pelos investigadores de fenómenos de fadiga e fratura, tais como, ABAQUS, ANSYS, MARC, entre outros.
- vi. Consideração das tensões residuais no modelo.
- vii. Simular o comportamento local do material.



---

## REFERÊNCIAS BIBLIOGRÁFICAS

- Antunes FV (1999a). “Influence of frequency, stress ratio and stress state on fatigue crack growth in nickel base superalloys at elevated temperature.” PhD thesis, Department of mechanical and manufacturing engineering, University of Portsmouth, United Kingdom.
- Antunes FV, Ferreira JM, Byrne J (1999b). “Stress intensity factor calculation based on the work of external forces.” *Int J Fract*; 98:1–14.
- Antunes FV, Ferreira JM, Costa JD, Capela C (2002). “Fatigue life predictions in polymer particle composites.” *Int J Fatigue*; 24:1095–105.
- Banks-Sills L, Wawrzynek PA, Carter BJ, Ingraffea AR, Hershkovitz I (2007). “Methods for calculating stress intensity factors in anisotropic materials: Part II - Arbitrary geometry.” *Engng Fract Mech*; 74:1293–307.
- Bakker A (1992). “Three-dimensional constraint effects on stress intensity distributions in plate geometries with through-thickness cracks.” *Fatigue Fract Engng Mater Struct*; 15:1051–69.
- Barsoum RS (1979). “On the use of isoparametric finite elements in linear fracture mechanics.” *Int J Numer Methods Engng*; 10:25–37.
- Bazant ZP, Estenssoro LF (1979). “Surface singularity and crack propagation.” *Int J Solids Struct*; 15:405–26.
- Borrego L. F. P. (2001). Fatigue crack growth under variable amplitude loading in AlMgSi aluminium alloys. PhD thesis, University of Coimbra, Portugal.
- Branco R (2006). “Estudo numérico de propagação de fendas por fadiga em provetes M(T).” Tese de Mestrado, Departamento em Engenharia Mecânica, Faculdade de Ciências e Tecnologia da Universidade de Coimbra.
- Branco R, Antunes FV (2008a). “Finite element modelling and analysis of crack shape evolution in mode-I fatigue middle cracked tension specimens.” *Engng Fract Mech*; 75:3020–37.
- Branco R, Antunes FV, Martins RF (2008b). “Modelling fatigue crack propagation in CT specimens.” *Fatigue Fract Engng Mater Struct*; 31:452–65.
- Branco C., Ferreira J., Costa J., & Ribeiro A. (2012a). Projecto de Órgãos de Máquinas.
- Branco R, Antunes FV, Costa JD, Yang F, Kuang Z (2012b). “Determination of the Paris law constants in round bars from beach marks on fracture surfaces.” *Engng Fract Mech*; 96:96–106.
- Branco R, Antunes FV, Costa JD (2013). “Extent of the surface region in notched middle cracked tension specimens.” In: Alibadi MH (Ed.), *Key engineering materials. Special issue on crack growth modelling*; 560:107–27.



- Branco R, Antunes FV, Costa JD (2014). “Notched M(T) specimen for plane strain studies.” *Int J Fatigue*; 58:28–39.
- Branco R, Antunes FV, Costa JD (2015). “A review on 3D-FE adaptive remeshing techniques for crack growth modelling.” *Engng Fract Mech*; 141:170-195.
- Carpinteri A, Brighenti R (1996). “Part-through cracks in round bars under cyclic combined axial and bending loading.” *Int J Fatigue*; 18:33–9.
- Carpinteri A, Vantadori S (2009). “Sickle-shaped cracks in metallic round bars under cyclic eccentric axial loading.” *Int J Fatigue*; 31:759–65.
- Carpinteri A, Brighenti R, Vantadori S (2010). “Influence of the cold-drawing process on fatigue crack growth of a V-notched round bar.” *Int J Fatigue*; 32:1136–45.
- Chan SK, Tuba IS, Wilson WK (1970). “On the finite element method in linear fracture mechanics.” *Engng Fract Mech*; 2:1–17.
- Dhondt G (2014). “Application of the finite element method to mixed-mode cyclic crack propagation calculations in specimens.” *Int J Fatigue*; 58:2–11.
- Erdogan F, Ratwani M (1970). “Fatigue and fracture of cylindrical shells containing a circumferential crack.” *Int J Fract Mech*; 6:379–92.
- Fulland M, Sander M, Kullmer G, Richard HA (2008). “Analysis of fatigue crack propagation in the frame of a hydraulic press.” *Engng Fract Mech*; 75:892–900.
- Forman RG, Kearney VE, Engle RM (1967). “Numerical analysis of crack propagation in cyclically loaded structures.” *Trans ASME. J Basic Engng*; 89:459–64.
- Gavete L, Michavila F, Díez F (1989). “A new singularity finite element in linear elasticity.” *Comput Mech*; 4:361–71.
- Guinea GV, Planas J, Elices M (2000). “KI evaluation by the displacement extrapolation technique.” *Engng Fract Mech*; 66:243–55.
- Hellen TK (1975). “On the method of virtual crack extension.” *Int J Numer Meth Engng*; 9:187–207.
- Henshell RD, Shaw KG (1975). “Crack tip finite elements are unnecessary.” *Int J Numer Methods Engng*; 9:495–507.
- Irwin G. R. (1958). “Fracture in: *Encyclopedia of Physics*”, S. Flugge, Vol. VI, Springer Verlag, 551-590.
- Kanninen MF, Popelar CH (1985). “Advanced fracture mechanics.” New York: Oxford University Press.
- Lin XB, Smith RA (1995). “Numerical prediction of fatigue crack growth of a surface defect.” *Fatigue Fract Engng Mater Struct*; 18:247–56.
- Lin XB, Smith RA (1997). “An improved numerical technique for simulating the growth of planar fatigue cracks.” *Fatigue Fract Engng Mater Struct*; 20:1363–73.
- Lin XB, Smith RA (1999a). “Finite element modelling of fatigue crack growth of surface cracked plates. Part I: The numerical technique.” *Engng Fract Mech*; 63:503–22.

- Lin XB, Smith RA (1999b). "Finite element modelling of fatigue crack growth of surface cracked plates. Part II: Crack shape change." *Engng Fract Mech*; 63:523–40.
- Lin XB, Smith RA (1999c). "Finite element modelling of fatigue crack growth of surface cracked plates. Part III: Stress intensity factor and fatigue crack growth." *Engng Fract Mech*; 63:541–56.
- Lin XB, Smith RA (1999d). "Shape evolution of surface cracks in fatigued round bars with a semicircular circumferential notch." *Int J Fatigue*; 21:965–73.
- Lin XB, Smith RA (2001). "Numerical simulation of fatigue crack growth for corner cracks emanating from fastener holes." *Notch effects in fatigue and fracture. NATO Sci Ser*; 11:271–87.
- Mahmoud MA (1988). "Growth patterns of surface fatigue cracks under cyclic bending – a quantitative analysis." *Engng Fract Mech*; 31:357–69.
- Mahmoud MA (1990). "Surface fatigue crack growth under combined tension and bending loading." *Engng Fract Mech*; 36:389–95.
- Murakami T, Sato T (1983). "Three-dimensional J-integral calculation of part-through surface crack problems." *Comput Struct*; 17:731–6.
- Murti V, Valliappan S (1986). "A universal optimum quarter point element." *Engng Fract Mech*; 25:237–58.
- Newman Jr JC, Raju IS (1979). "Analysis of surface cracks in finite plates under tension and bending loads." NASA TP-1578, National Aeronautics and Space Administration.
- Newman Jr JC, Raju IS (1981). "An empirical stress intensity factor equation for the surface crack." *Engng Fract Mech*; 15:185–92.
- Newman Jr JC, Raju IS (1983). "Stress-intensity factor equations for cracks in three-dimensional finite bodies". ASTM 791, American Society for Testing and Materials. DOI:<http://dx.doi.org/10.1520/STP37074S>.
- Nykänen TJ (1996). "Fatigue crack growth simulations based on free front shape development." *Fatigue Fract Engng Mater Struct*; 19:99–109.
- Paiva L. (2015). Propagação de fendas por fadiga: Efeito de subcargas. Dissertação de Mestrado, Universidade de Coimbra, Portugal.
- Paris P. C., & Erdogan F. (1963). *Journal of Basic Engineering, Trans. ASME, American Society of Mechanical Engineers*.
- Pook LP (1994). "Some implications of corner point singularities". *Engng Fract Mech*; 48:367–78.
- Rabold F, Kuna M (2014). "Automated finite element simulation of fatigue crack growth in three-dimensional structures with the software system ProCrack". *Proc Mater Sci*; 3:1099–104.
- Ribeiro R. F. (2011). "Efeito da sobrecarga e da espessura na vida em fadiga de componentes de aço API "H grau 50". Monografia, Universidade Federal do Rio Grande Sul, Porto Alegre.

- Sedmak A, Savovic N, Pavisic M (1992). ESIS recommendations for use of finite element method in fracture mechanics. In: Sedmak S, Sedmak A, Ruzié A (Eds.), 9th European conference on fracture (ECF9), Bulgaria. Reliability and Structural Integrity of Advanced Materials, EMAS.
- Shih CF, Moran B, Nakamura T (1986). “Energy release rate along a three-dimensional crack front in a thermally stressed body”. *Int J Fract*; 30:79–102.
- Smith RA, Cooper JF (1989). “A finite element model for the shape development of irregular planar cracks”. *Int J Press Vessels Pip*; 36:315–26.
- Zhao, T., Zhang, J. e Jiang, Y. (2008), “A study of fatigue crack growth of 7075-T651 aluminum alloy”, *International Journal of Fatigue*; 30:1169–1180.

## APÊNDICE A

```

Sub readconfigurations()

    'find configuration file
1     configpath = Main.TextBox1.Text

2     If My.Computer.FileSystem.FileExists(configpath) Then
3     Else
4         Main.ListBox1.Items.Add(Now & " Configuration file not found")
5         Main.ListBox1.Items.Add(Now & " Please add file into the configuration
directory")
6         Main.ListBox1.Items.Add(Now & " or update configuration path defined in
textbox")
7         Main.ListBox1.Items.Add(Now & " Current directory: " &
Main.TextBox1.Text)
8         Main.ListBox1.Items.Add(Now & " Simulation has been stopped")
9         verify = 1
10        Exit Sub
11    End If

    'read file
12    FileOpen(1, configpath, OpenMode.Input)
13    xC = 0
14    Do While Not EOF(1)
15        xC = xC + 1
16        CD(xC) = LineInput(1)
17    Loop
18    FileClose(1)

    'define variables
19    exepath = CD(2)
20    execlose = CD(5)
21    folderpath = CD(8)
22    deletefolder = CD(11)

23 End Sub

```

### Subrotina A1. Subrotina readconfigurations()

```

Sub readoptions()

    'find options file
1     If My.Computer.FileSystem.FileExists(folderpath & "\" & "options.txt") Then
2     Else
3         Main.ListBox1.Items.Add(Now & " Options file not found")
4         Main.ListBox1.Items.Add(Now & " folderpath " & folderpath)
5         Main.ListBox1.Items.Add(Now & " Please add file into the configuration
directory")
6         Main.ListBox1.Items.Add(Now & " Current directory: " &
Main.TextBox1.Text)
7         Main.ListBox1.Items.Add(Now & " Simulation has been stopped")
8         verify = 1
9         Exit Sub

```

```

10     End If

    'define directory
11     ChDir(folderpath)
12     FileOpen(1, "options.txt", OpenMode.Input)
13     xC = 0
14     Do While Not EOF(1)
15         xC = xC + 1
16         opt(xC) = LineInput(1)
17     Loop
18     FileClose(1)

    'define variables
19     vX(1) = opt(2)
20     vX(2) = opt(5)
21     vX(3) = opt(8)
22     vX(4) = opt(11)
23     vY(1) = opt(14)
24     vY(2) = opt(17)
25     vY(3) = opt(20)
26     vY(4) = opt(23)
27     vY(5) = opt(26)
28     vY(6) = opt(29)
29     vY(7) = opt(32)
30     vZ(1) = opt(35)
31     lig(1) = opt(38)
32     lig(2) = opt(41)
33     EX = opt(44)
34     NUXY = opt(47)
35     LDT = opt(50)
36     Fmin = opt(53)
37     Fmax = opt(56)
38     DAmaz = opt(59)
39     CCC = opt(62)
40     mmm = opt(65)
41     KIC = opt(68)
42     myname = opt(71)
43     SYM = opt(74)

44 End Sub

```

### Subrotina A2. Subrotina readoptions()

```

Sub readinitialcrackfront()

    'find crack file
1   If My.Computer.FileSystem.FileExists(folderpath & "\" & "crack.txt") Then
2   Else
3       Main.ListBox1.Items.Add(Now & " Crack front file not found")
4       Main.ListBox1.Items.Add(Now & " Please add file into the configuration
directory")
5       Main.ListBox1.Items.Add(Now & " Current directory: " &
Main.TextBox1.Text)
6       Main.ListBox1.Items.Add(Now & " Simulation has been stopped")
7       verify = 1
8       Exit Sub
9       End If

    'define directory
10    ChDir(folderpath)
11    FileOpen(1, "crack.txt", OpenMode.Input)

```

```

12     xC = 0
13     Do While Not EOF(1)
14         xC = xC + 1
15         Input(1, cfd(xC))
16     Loop
17     FileClose(1)
18 For i = 1 To (xC - 2) / 2
19     iAngle(i) = cfd(2 * i + 1)
20     iRadius(i) = cfd(2 * i + 2)
21 Next

22     ncfp = (xC - 2) / 2
23     For i = 1 To ncfp
24         x(i) = Math.Abs(iRadius(i) * Math.Cos(iAngle(i) * (Math.PI / 180)))
25         z(i) = iRadius(i) * Math.Sin(iAngle(i) * (Math.PI / 180))
26     Next

27 End Sub

```

### Subrotina A3. Subrotina readinitialcrackfront()

```

Sub readmeshoptions()

    'find mesh options file
1     If My.Computer.FileSystem.FileExists(folderpath & "\" & "meshoptions.txt")
Then
2     Else
3         Main.ListBox1.Items.Add(Now & " Mesh options file not found")
4         Main.ListBox1.Items.Add(Now & " Please add file into the configuration
directory")
5         Main.ListBox1.Items.Add(Now & " Current directory: " &
Main.TextBox1.Text)
6         Main.ListBox1.Items.Add(Now & " Simulation has been stopped")
7         verify = 1
8         Exit Sub
9     End If

    'define directory
10    ChDir(folderpath)
11    FileOpen(1, "meshoptions.txt", OpenMode.Input)
12    xC = 0
13    Do While Not EOF(1)
14        xC = xC + 1
15        meshopt(xC) = LineInput(1)
16    Loop
17    FileClose(1)

    'define variables
18    NEL1 = meshopt(14)
19    NEL2 = meshopt(17)
20    NEL3 = meshopt(20)
21    NEL4 = meshopt(23)
22    NEL5 = meshopt(26)
23    NEL6 = meshopt(29)
24    NEL7 = meshopt(32)

25    DistL1a = vX(1) / meshopt(2)
26    DistL2a = vX(1) / meshopt(5)
27    DistL3a = vX(1) / meshopt(8)
28    DTrans1 = vX(1) / meshopt(11)

```

29 End Sub

#### Subrotina A4. Subrotina readmeshoptions()

```
Sub readweldprofile()

    'find crack file
1   If My.Computer.FileSystem.FileExists(folderpath & "\" & "weldprofile.txt")
Then
2   Else
3       Main.ListBox1.Items.Add(Now & " Weld profile definitions not found")
4       Main.ListBox1.Items.Add(Now & " Please add file into the configuration
directory")
5       Main.ListBox1.Items.Add(Now & " Current directory: " & Main.TextBox1.Text)
6       Main.ListBox1.Items.Add(Now & " Simulation has been stopped")
7       verify = 1
8       Exit Sub
9   End If

    'define directory
10  ChDir(folderpath)
11  FileOpen(1, "weldprofile.txt", OpenMode.Input)
12  xC = 0
13  Do While Not EOF(1)
14      xC = xC + 1
15      Input(1, wpi(xC))
16  Loop
17  FileClose(1)

    'define coordinates
18  For i = 1 To (xC - 6) / 6
19      xw(i) = wpi(6 * i + 2)
20      yw(i) = wpi(6 * i + 3)
21      xwnf(i) = wpi(6 * i + 11)
22      ywnf(i) = wpi(6 * i + 12)
23  Next

    'define number of crack front nodes
24  nwp = (xC - 6) / 6

    'define weld angle
25  weld_angle(1) = Math.Atan(yw(1) / xw(1))

26 End Sub
```

#### Subrotina A5. Subrotina readweldprofile()

```
Sub mesh_wt()

    'create folder and mesh file
1   ChDir(folderpath & "\" & myname)
2   My.Computer.FileSystem.CreateDirectory(it)
3   FileOpen(2, "mesh-" & it & ".ses", OpenMode.Append)
4   Print(2, "C* Welded T-joint (surface crack with symmetry plane)" & vbCrLf)
```

```

'material and type of element
5   Print(2, "EGROUP,1,SOLID,0,1,0,0,0,0,0" & vbCrLf)
6   Print(2, "MPROP,1,EX," & EX & vbCrLf)
7   Print(2, "MPROP,1,NUXY," & NUXY & vbCrLf)
8   Print(2, "RCONST,1,1,1,9,0,0,0,0,0,0,0" & vbCrLf)

'crack front
'points
9   Print(2, "C* Crack front coordinates " & vbCrLf)
10  For i = 1 To ncfp
11  Print(2, "PT," & i & "," & x(i) & "," & vY(1) + vY(2) + vY(5) & "," &
z(i) & vbCrLf)
12  Next
'normal direction to the crack front
13  angle(1) = 0

14  For i = 2 To ncfp - 1
15  aux_angle(1) = Math.Atan((x(i - 1) - x(i)) / (z(i - 1) - z(i))) * (180 /
Math.PI)
16  aux_angle(2) = Math.Atan((x(i) - x(i + 1)) / (z(i) - z(i + 1))) * (180 /
Math.PI)
17  angle(i) = (aux_angle(2) + aux_angle(1)) * 0.5
18  Next
19  angle(ncfp) = -90

'first concentric ring
'points of the first concentric ring
20  Print(2, " " & vbCrLf)
21  Print(2, "C* Points of the first concentric ring" & vbCrLf)

22  For i = 1 To ncfp - 1
23  Print(2, "CSANGL,3,1," & x(i) & "," & vY(1) + vY(2) + vY(5) & "," & z(i)
& ",0," & angle(i) & ",0,0" & vbCrLf)
24  For j = 1 To 10
25  Print(2, "PT," & 100 + 10 * (i - 1) + j & "," & DistL1a & "," & 36 *
(j - 1) & "," & 0 & vbCrLf)
26  Next
27  Next

28  For i = ncfp To ncfp
29  Print(2, "CSANGL,3,1," & x(i) & "," & vY(1) + vY(2) + vY(5) & "," & z(i)
& ",0," & angle(i) & ",0,0" & vbCrLf)
30  For j = 1 To 10
31  If 36 * (j - 1) > 180 Then
32  Print(2, "PT," & 100 + 10 * (i - 1) + j & "," & DistL1a & "," &
36 * (j - 1) & "," & -(DistL1a * Math.Sin(36 * (j - 1) * (Math.PI / 180))) *
Math.Tan(weld_angle(1)) & vbCrLf)
33  Else
34  Print(2, "PT," & 100 + 10 * (i - 1) + j & "," & DistL1a & "," &
36 * (j - 1) & "," & 0 & vbCrLf)
35  End If
36  Next
37  Next

'curves of the first concentric ring
38  Print(2, " " & vbCrLf)
39  Print(2, "C* Curves of the first concentric ring" & vbCrLf)
40  For j = 0 To ncfp - 1
41  For i = 0 To 9
42  Print(2, "CRLINE," & (10 * j) + (i + 1) & "," & j + 1 & "," & (101 + i)
+ (10 * j) & vbCrLf)

```



```

43     Next
44     Next

45     For j = 0 To ncfp - 1
46         For i = 0 To 8
47             Print(2, "CRLINE," & (301 + 10 * j) + i & "," & (101 + 10 * j) + i &
",," & (102 + 10 * j) + i & vbCrLf)
48         Next
49     Next

50     For j = 0 To ncfp - 1
51         For i = 9 To 9
52             Print(2, "CRLINE," & (301 + 10 * j) + i & "," & (101 + 10 * j) & "," &
(101 + 10 * j) + i & vbCrLf)
53         Next
54     Next

'surfaces of the first concentric ring
55     Print(2, " " & vbCrLf)
56     Print(2, "C* Surfaces of the first concentric ring" & vbCrLf)
57     For j = 0 To ncfp - 1
58         For i = 0 To 8
59             Print(2, "SF3CR," & (i + 1) + 10 * j & "," & 1 + (i + 10 * j) & "," & 2
+ (i + 10 * j) & "," & 301 + (i + 10 * j) & ",0" & vbCrLf)
60         Next
61     Next

62     For j = 0 To ncfp - 1
63         For i = 9 To 9
64             Print(2, "SF3CR," & (i + 1) + 10 * j & "," & 1 + (10 * j) & "," & 1 +
(i + 10 * j) & "," & 301 + (i + 10 * j) & ",0" & vbCrLf)
65         Next
66     Next

'volumes of the first concentric ring
67     Print(2, " " & vbCrLf)
68     Print(2, "C* Volumes of the first concentric ring" & vbCrLf)
69     For j = 0 To ncfp - 2
70         For i = 0 To 9
71             Print(2, "VL2SF," & (i + 1) + 10 * j & "," & (1 + i) + 10 * j & "," &
(11 + i) + 10 * j & ",1" & vbCrLf)
72         Next
73     Next

'second concentric ring
'points of the second concentric ring
74     Print(2, " " & vbCrLf)
75     Print(2, "C* Points of the second concentric ring" & vbCrLf)
76     For i = 1 To ncfp - 1
77         Print(2, "CSANGL,3,1," & x(i) & "," & vY(1) + vY(2) + vY(5) & "," & z(i) &
",0," & angle(i) & ",0,0" & vbCrLf)
78         For j = 1 To 10
79             Print(2, "PT," & 400 + 10 * (i - 1) + j & "," & DistL1a + DistL2a &
",," & 36 * (j - 1) & "," & 0 & vbCrLf)
80         Next
81     Next

82     For i = ncfp To ncfp
83         Print(2, "CSANGL,3,1," & x(i) & "," & vY(1) + vY(2) + vY(5) & "," & z(i) &
",0," & angle(i) & ",0,0" & vbCrLf)
84         For j = 1 To 10
85             If 36 * (j - 1) > 180 Then

```

```

86         Print(2, "PT," & 400 + 10 * (i - 1) + j & "," & DistL1a + DistL2a
& "," & 36 * (j - 1) & "," & -((DistL1a + DistL2a) * Math.Sin(36 * (j - 1) * (Math.PI /
180))) * Math.Tan(weld_angle(1)) & vbCrLf)
87         Else
88         Print(2, "PT," & 400 + 10 * (i - 1) + j & "," & DistL1a + DistL2a
& "," & 36 * (j - 1) & "," & 0 & vbCrLf)
89         End If
90     Next
91 Next

'curves of the second concentric ring
92 Print(2, " " & vbCrLf)
93 Print(2, "C* Curves of the second concentric ring " & vbCrLf)
94 For j = 0 To ncfp - 1
95     For i = 0 To 9
96         Print(2, "CRLINE," & (10 * j) + (i + 1001) & "," & (101 + i) + (10 *
j) & "," & (401 + i) + (10 * j) & vbCrLf)
97     Next
98 Next

99     For j = 0 To ncfp - 1
100         For i = 0 To 8
101             Print(2, "CRLINE," & (1301 + 10 * j) + i & "," & (401 + 10 * j) + i &
"," & (402 + 10 * j) + i & vbCrLf)
102         Next
103     Next

104     For j = 0 To ncfp - 1
105         For i = 9 To 9
106             Print(2, "CRLINE," & (1301 + 10 * j) + i & "," & (401 + 10 * j) & ","
& (401 + 10 * j) + i & vbCrLf)
107         Next
108     Next

'surfaces of the second concentric ring
109 Print(2, " " & vbCrLf)
110 Print(2, "C* Surfaces of the second concentric ring" & vbCrLf)
111 For j = 0 To ncfp - 1
112     For i = 0 To 8
113         Print(2, "SF4CR," & (i + 801) + 10 * j & "," & 1001 + (i + 10 * j) &
"," & 1301 + (i + 10 * j) & "," & 1002 + (i + 10 * j) & "," & 301 + (i + 10 * j) & ",0"
& vbCrLf)
114     Next
115 Next

116     For j = 0 To ncfp - 1
117         For i = 9 To 9
118             Print(2, "SF4CR," & (i + 801) + 10 * j & "," & 1001 + (i + 10 * j) &
"," & 1301 + (i + 10 * j) & "," & 1001 + 10 * j & "," & 1301 + (i + 10 * j) & ",0" &
vbCrLf)
119         Next
120     Next

'volumes of the second concentric ring
121 Print(2, " " & vbCrLf)
122 Print(2, "C* Volumes of the second concentric ring" & vbCrLf)
123 For j = 0 To ncfp - 2
124     For i = 0 To 9
125         Print(2, "VL2SF," & (i + 201) + 10 * j & "," & (801 + i) + 10 * j &
"," & (811 + i) + 10 * j & ",1" & vbCrLf)
126     Next
127 Next

```

```

'third concentric ring
'points of the second concentric ring
128   Print(2, " " & vbCrLf)
129   Print(2, "C* Points of the third concentric ring" & vbCrLf)
130   For i = 1 To ncfp - 1
131       Print(2, "CSANGL,3,1," & x(i) & "," & vY(1) + vY(2) + vY(5) & "," & z(i)
& ",0," & angle(i) & ",0,0" & vbCrLf)
132       For j = 1 To 10
133           Print(2, "PT," & 700 + 10 * (i - 1) + j & "," & DistL1a + DistL2a +
DistL3a & "," & 36 * (j - 1) & "," & 0 & vbCrLf)
134       Next
135   Next

136   For i = ncfp To ncfp
137       Print(2, "CSANGL,3,1," & x(i) & "," & vY(1) + vY(2) + vY(5) & "," & z(i)
& ",0," & angle(i) & ",0,0" & vbCrLf)
138       For j = 1 To 10
139           If 36 * (j - 1) > 180 Then
140               Print(2, "PT," & 700 + 10 * (i - 1) + j & "," & DistL1a + DistL2a
+ DistL3a & "," & 36 * (j - 1) & "," & -((DistL1a + DistL2a + DistL3a) * Math.Sin(36 *
(j - 1) * (Math.PI / 180))) * Math.Tan(weld_angle(1)) & vbCrLf)
141           Else
142               Print(2, "PT," & 700 + 10 * (i - 1) + j & "," & DistL1a + DistL2a
+ DistL3a & "," & 36 * (j - 1) & "," & 0 & vbCrLf)
143           End If
144       Next
145   Next

'curves of the third concentric ring
146   Print(2, " " & vbCrLf)
147   Print(2, "C* Curves of the second concentric ring " & vbCrLf)
148   For j = 0 To ncfp - 1
149       For i = 0 To 9
150           Print(2, "CRLINE," & (10 * j) + (i + 1801) & "," & (401 + i) + (10 *
j) & "," & (701 + i) + (10 * j) & vbCrLf)
151       Next
152   Next

153   For j = 0 To ncfp - 1
154       For i = 0 To 8
155           Print(2, "CRLINE," & (2101 + 10 * j) + i & "," & (701 + 10 * j) + i &
"," & (702 + 10 * j) + i & vbCrLf)
156       Next
157   Next

158   For j = 0 To ncfp - 1
159       For i = 9 To 9
160           Print(2, "CRLINE," & (2101 + 10 * j) + i & "," & (701 + 10 * j) & ","
& (701 + 10 * j) + i & vbCrLf)
161       Next
162   Next

'surfaces of the third concentric ring
163   Print(2, " " & vbCrLf)
164   Print(2, "C* Surfaces of the second concentric ring (+)" & vbCrLf)
165   For j = 0 To ncfp - 1
166       For i = 0 To 8
167           Print(2, "SF4CR," & (i + 1501) + 10 * j & "," & 1801 + (i + 10 * j) &
"," & 2101 + (i + 10 * j) & "," & 1802 + (i + 10 * j) & "," & 1301 + (i + 10 * j) & ",0"
& vbCrLf)
168       Next
169   Next

```

```

170     For j = 0 To ncfp - 1
171         For i = 9 To 9
172             Print(2, "SF4CR," & (i + 1501) + 10 * j & "," & 1801 + (i + 10 * j) &
",," & 2101 + (i + 10 * j) & "," & 1801 + 10 * j & "," & 2101 + (i + 10 * j) & ",0" &
vbCrLf)
173         Next
174     Next

'volumes of the third concentric ring
175     Print(2, " " & vbCrLf)
176     Print(2, "C* Volumes of the second concentric ring" & vbCrLf)
177     For j = 0 To ncfp - 2
178         For i = 0 To 9
179             Print(2, "VL2SF," & (i + 401) + 10 * j & "," & (1501 + i) + 10 * j &
",," & (1511 + i) + 10 * j & ",1" & vbCrLf)
178         Next
179     Next

'transition mesh
180     aux_angle(3) = (DistL1a + DistL2a + DistL3a) * Math.Cos(2 * 36 * (Math.PI /
180))
181     aux_angle(4) = (DistL1a + DistL2a + DistL3a) * Math.Sin(36 * (Math.PI / 180))
182     aux_angle(5) = (DistL1a + DistL2a + DistL3a) * Math.Sin(2 * 36 * (Math.PI /
180))
183     aux_angle(6) = (DistL1a + DistL2a + DistL3a + DTrans1)
184     aux_angle(7) = ((DistL1a + DistL2a + DistL3a) * Math.Sin(36 * (Math.PI /
180))) * Math.Tan(weld_angle(1))
185     aux_angle(8) = ((DistL1a + DistL2a + DistL3a) * Math.Sin(2 * 36 * (Math.PI /
180))) * Math.Tan(weld_angle(1))
186     aux_angle(9) = xw(2)

'points of transition mesh
187     Print(2, " " & vbCrLf)
188     Print(2, "C* Transition mesh" & vbCrLf)
189     Print(2, "C* Points" & vbCrLf)
190     For i = 1 To ncfp - 1
191         Print(2, "CSYS,4,0," & i & "," & 101 + 10 * (i - 1) & "," & 102 + 10 * (i
- 1) & vbCrLf)
192         Print(2, "PT," & 1001 + 22 * (i - 1) & "," & aux_angle(6) & ",0,0" &
vbCrLf)
193         Print(2, "PT," & 1002 + 22 * (i - 1) & "," & aux_angle(6) & "," &
aux_angle(4) & ",0" & vbCrLf)
194         Print(2, "PT," & 1003 + 22 * (i - 1) & "," & aux_angle(6) & "," &
aux_angle(5) & ",0" & vbCrLf)
195         Print(2, "PT," & 1004 + 22 * (i - 1) & "," & -aux_angle(6) & "," &
aux_angle(5) & ",0" & vbCrLf)
196         Print(2, "PT," & 1005 + 22 * (i - 1) & "," & -aux_angle(6) & "," &
aux_angle(4) & ",0" & vbCrLf)
197         Print(2, "PT," & 1006 + 22 * (i - 1) & "," & -aux_angle(6) & ",0,0" &
vbCrLf)
198         Print(2, "PT," & 1007 + 22 * (i - 1) & "," & -aux_angle(6) & "," & -
aux_angle(4) & ",0" & vbCrLf)
199         Print(2, "PT," & 1008 + 22 * (i - 1) & "," & -aux_angle(6) & "," & -
aux_angle(5) & ",0" & vbCrLf)
200         Print(2, "PT," & 1009 + 22 * (i - 1) & "," & -aux_angle(6) & "," & -
aux_angle(6) & ",0" & vbCrLf)
201         Print(2, "PT," & 1010 + 22 * (i - 1) & "," & -aux_angle(3) & "," & -
aux_angle(6) & ",0" & vbCrLf)
202         Print(2, "PT," & 1011 + 22 * (i - 1) & "," & aux_angle(3) & "," & -
aux_angle(6) & ",0" & vbCrLf)
203         Print(2, "PT," & 1012 + 22 * (i - 1) & "," & aux_angle(6) & "," & -
aux_angle(6) & ",0" & vbCrLf)
204         Print(2, "PT," & 1013 + 22 * (i - 1) & "," & aux_angle(6) & "," & -
aux_angle(5) & ",0" & vbCrLf)

```

```

205      Print(2, "PT," & 1014 + 22 * (i - 1) & "," & aux_angle(6) & "," & -
aux_angle(4) & ",0" & vbCrLf)
206      Print(2, "PT," & 1015 + 22 * (i - 1) & "," & aux_angle(6) & "," &
aux_angle(6) & ",0" & vbCrLf)
207      Print(2, "PT," & 1016 + 22 * (i - 1) & "," & aux_angle(3) & "," &
aux_angle(6) & ",0" & vbCrLf)
208      Print(2, "PT," & 1017 + 22 * (i - 1) & "," & -aux_angle(3) & "," &
aux_angle(6) & ",0" & vbCrLf)
209      Print(2, "PT," & 1018 + 22 * (i - 1) & "," & -aux_angle(6) & "," &
aux_angle(6) & ",0" & vbCrLf)
210      Print(2, "PT," & 1019 + 22 * (i - 1) & "," & -aux_angle(6) & "," & -
aux_angle(9) & ",0" & vbCrLf)
211      Print(2, "PT," & 1020 + 22 * (i - 1) & "," & -aux_angle(3) & "," & -
aux_angle(9) & ",0" & vbCrLf)
212      Print(2, "PT," & 1021 + 22 * (i - 1) & "," & aux_angle(3) & "," & -
aux_angle(9) & ",0" & vbCrLf)
213      Print(2, "PT," & 1022 + 22 * (i - 1) & "," & aux_angle(6) & "," & -
aux_angle(9) & ",0" & vbCrLf)
214      Next

215      For i = ncfp To ncfp
216      Print(2, "CSYS,4,0," & i & "," & 101 + 10 * (i - 1) & "," & 102 + 10 * (i
- 1) & vbCrLf)
217      Print(2, "PT," & 1001 + 22 * (i - 1) & "," & aux_angle(6) & ",0,0" &
vbCrLf)
218      Print(2, "PT," & 1002 + 22 * (i - 1) & "," & aux_angle(6) & "," &
aux_angle(4) & ",0" & vbCrLf)
219      Print(2, "PT," & 1003 + 22 * (i - 1) & "," & aux_angle(6) & "," &
aux_angle(5) & ",0" & vbCrLf)
220      Print(2, "PT," & 1004 + 22 * (i - 1) & "," & -aux_angle(6) & "," &
aux_angle(5) & ",0" & vbCrLf)
221      Print(2, "PT," & 1005 + 22 * (i - 1) & "," & -aux_angle(6) & "," &
aux_angle(4) & ",0" & vbCrLf)
222      Print(2, "PT," & 1006 + 22 * (i - 1) & "," & -aux_angle(6) & ",0,0" &
vbCrLf)
223      Print(2, "PT," & 1007 + 22 * (i - 1) & "," & -aux_angle(6) & "," & -
aux_angle(4) & "," & aux_angle(7) & vbCrLf)
224      Print(2, "PT," & 1008 + 22 * (i - 1) & "," & -aux_angle(6) & "," & -
aux_angle(5) & "," & aux_angle(8) & vbCrLf)
225      Print(2, "PT," & 1009 + 22 * (i - 1) & "," & -aux_angle(6) & "," & -
aux_angle(6) & ",0" & vbCrLf)
226      Print(2, "PT," & 1010 + 22 * (i - 1) & "," & -aux_angle(3) & "," & -
aux_angle(6) & ",0" & vbCrLf)
227      Print(2, "PT," & 1011 + 22 * (i - 1) & "," & aux_angle(3) & "," & -
aux_angle(6) & ",0" & vbCrLf)
228      Print(2, "PT," & 1012 + 22 * (i - 1) & "," & aux_angle(6) & "," & -
aux_angle(6) & ",0" & vbCrLf)
229      Print(2, "PT," & 1013 + 22 * (i - 1) & "," & aux_angle(6) & "," & -
aux_angle(5) & "," & aux_angle(8) & vbCrLf)
230      Print(2, "PT," & 1014 + 22 * (i - 1) & "," & aux_angle(6) & "," & -
aux_angle(4) & "," & aux_angle(7) & vbCrLf)
231      Print(2, "PT," & 1015 + 22 * (i - 1) & "," & aux_angle(6) & "," &
aux_angle(6) & ",0" & vbCrLf)
232      Print(2, "PT," & 1016 + 22 * (i - 1) & "," & aux_angle(3) & "," &
aux_angle(6) & ",0" & vbCrLf)
233      Print(2, "PT," & 1017 + 22 * (i - 1) & "," & -aux_angle(3) & "," &
aux_angle(6) & ",0" & vbCrLf)
234      Print(2, "PT," & 1018 + 22 * (i - 1) & "," & -aux_angle(6) & "," &
aux_angle(6) & ",0" & vbCrLf)
235      Print(2, "PT," & 1019 + 22 * (i - 1) & "," & -aux_angle(6) & "," & -
aux_angle(9) & ",0" & vbCrLf)
236      Print(2, "PT," & 1020 + 22 * (i - 1) & "," & -aux_angle(3) & "," & -
aux_angle(9) & ",0" & vbCrLf)

```

```

237      Print(2, "PT," & 1021 + 22 * (i - 1) & "," & aux_angle(3) & "," & -
aux_angle(9) & ",0" & vbCrLf)
238      Print(2, "PT," & 1022 + 22 * (i - 1) & "," & aux_angle(6) & "," & -
aux_angle(9) & ",0" & vbCrLf)
239      Next

      'curves of transition mesh
240      Print(2, " " & vbCrLf)
241      Print(2, "C* Curves" & vbCrLf)
242      For i = 0 To ncfp - 1
243          Print(2, "CRLINE," & 2551 + 30 * i & "," & (701 + 10 * i) & "," & (1001 +
22 * i) & vbCrLf)
244          Print(2, "CRLINE," & 2552 + 30 * i & "," & (702 + 10 * i) & "," & (1002 +
22 * i) & vbCrLf)
245          Print(2, "CRLINE," & 2553 + 30 * i & "," & (703 + 10 * i) & "," & (1003 +
22 * i) & vbCrLf)
246          Print(2, "CRLINE," & 2554 + 30 * i & "," & (704 + 10 * i) & "," & (1004 +
22 * i) & vbCrLf)
247          Print(2, "CRLINE," & 2555 + 30 * i & "," & (705 + 10 * i) & "," & (1005 +
22 * i) & vbCrLf)
248          Print(2, "CRLINE," & 2556 + 30 * i & "," & (706 + 10 * i) & "," & (1006 +
22 * i) & vbCrLf)
249          Print(2, "CRLINE," & 2557 + 30 * i & "," & (707 + 10 * i) & "," & (1007 +
22 * i) & vbCrLf)
250          Print(2, "CRLINE," & 2558 + 30 * i & "," & (708 + 10 * i) & "," & (1008 +
22 * i) & vbCrLf)
251          Print(2, "CRLINE," & 2559 + 30 * i & "," & (708 + 10 * i) & "," & (1010 +
22 * i) & vbCrLf)
252          Print(2, "CRLINE," & 2560 + 30 * i & "," & (709 + 10 * i) & "," & (1011 +
22 * i) & vbCrLf)
253          Print(2, "CRLINE," & 2561 + 30 * i & "," & (709 + 10 * i) & "," & (1013 +
22 * i) & vbCrLf)
254          Print(2, "CRLINE," & 2562 + 30 * i & "," & (710 + 10 * i) & "," & (1014 +
22 * i) & vbCrLf)
255      Next

256      For i = 0 To ncfp - 1
257          Print(2, "CRLINE," & 2563 + (30 * i) & "," & 1001 + (22 * i) & "," & 1002
+ (22 * i) & vbCrLf)
258          Print(2, "CRLINE," & 2564 + (30 * i) & "," & 1002 + (22 * i) & "," & 1003
+ (22 * i) & vbCrLf)
259          For j = 0 To 9
260              Print(2, "CRLINE," & 2565 + j + (30 * i) & "," & 1004 + j + (22 * i)
& "," & 1005 + j + (22 * i) & vbCrLf)
261          Next
262      Next

263      For i = 0 To ncfp - 1
264          Print(2, "CRLINE," & 2575 + 30 * i & "," & (1014 + 22 * i) & "," & (1001
+ 22 * i) & vbCrLf)
265      Next

      'for generation 1
266      For i = 0 To ncfp - 1
267          Print(2, "CRLINE," & 3181 + 7 * i & "," & (1003 + 22 * i) & "," & (1015 +
22 * i) & vbCrLf)
268          Print(2, "CRLINE," & 3182 + 7 * i & "," & (703 + 10 * i) & "," & (1016 +
22 * i) & vbCrLf)
269          Print(2, "CRLINE," & 3183 + 7 * i & "," & (704 + 10 * i) & "," & (1017 +
22 * i) & vbCrLf)
270          Print(2, "CRLINE," & 3184 + 7 * i & "," & (1004 + 22 * i) & "," & (1018 +
22 * i) & vbCrLf)

```

```

271         Print(2, "CRLINE," & 3185 + 7 * i & "," & (1015 + 22 * i) & "," & (1016 +
272         22 * i) & vbCrLf)
273         Print(2, "CRLINE," & 3186 + 7 * i & "," & (1016 + 22 * i) & "," & (1017 +
274         22 * i) & vbCrLf)
275         Print(2, "CRLINE," & 3187 + 7 * i & "," & (1017 + 22 * i) & "," & (1018 +
276         22 * i) & vbCrLf)
277         Next
278
279         'for generation 2
280         For i = 0 To ncfp - 1
281             Print(2, "CRLINE," & 3351 + 7 * i & "," & (1009 + 22 * i) & "," & (1019 +
282             22 * i) & vbCrLf)
283             Print(2, "CRLINE," & 3352 + 7 * i & "," & (1010 + 22 * i) & "," & (1020 +
284             22 * i) & vbCrLf)
285             Print(2, "CRLINE," & 3353 + 7 * i & "," & (1011 + 22 * i) & "," & (1021 +
286             22 * i) & vbCrLf)
287             Print(2, "CRLINE," & 3354 + 7 * i & "," & (1012 + 22 * i) & "," & (1022 +
288             22 * i) & vbCrLf)
289             Print(2, "CRLINE," & 3355 + 7 * i & "," & (1019 + 22 * i) & "," & (1020 +
290             22 * i) & vbCrLf)
291             Print(2, "CRLINE," & 3356 + 7 * i & "," & (1020 + 22 * i) & "," & (1021 +
292             22 * i) & vbCrLf)
293             Print(2, "CRLINE," & 3357 + 7 * i & "," & (1021 + 22 * i) & "," & (1022 +
294             22 * i) & vbCrLf)
295             Next
296
297         'surfaces of transition mesh
298         Print(2, " " & vbCrLf)
299         Print(2, "C* Surfaces" & vbCrLf)
300         For i = 0 To ncfp - 1
301             Print(2, "SF4CR," & 2201 + 11 * i & "," & 2551 + 30 * i & "," & 2563 + 30
302             * i & "," & 2552 + 30 * i & "," & 2101 + 10 * i & ",0" & vbCrLf)
303             Print(2, "SF4CR," & 2202 + 11 * i & "," & 2552 + 30 * i & "," & 2564 + 30
304             * i & "," & 2553 + 30 * i & "," & 2102 + 10 * i & ",0" & vbCrLf)
305             Print(2, "SF4CR," & 2203 + 11 * i & "," & 2554 + 30 * i & "," & 2565 + 30
306             * i & "," & 2555 + 30 * i & "," & 2104 + 10 * i & ",0" & vbCrLf)
307             Print(2, "SF4CR," & 2204 + 11 * i & "," & 2555 + 30 * i & "," & 2566 + 30
308             * i & "," & 2556 + 30 * i & "," & 2105 + 10 * i & ",0" & vbCrLf)
309             Print(2, "SF4CR," & 2205 + 11 * i & "," & 2556 + 30 * i & "," & 2567 + 30
310             * i & "," & 2557 + 30 * i & "," & 2106 + 10 * i & ",0" & vbCrLf)
311             Print(2, "SF4CR," & 2206 + 11 * i & "," & 2557 + 30 * i & "," & 2568 + 30
312             * i & "," & 2558 + 30 * i & "," & 2107 + 10 * i & ",0" & vbCrLf)
313             Print(2, "SF4CR," & 2207 + 11 * i & "," & 2558 + 30 * i & "," & 2569 + 30
314             * i & "," & 2570 + 30 * i & "," & 2559 + 30 * i & ",0" & vbCrLf)
315             Print(2, "SF4CR," & 2208 + 11 * i & "," & 2108 + 10 * i & "," & 2559 + 30
316             * i & "," & 2571 + 30 * i & "," & 2560 + 30 * i & ",0" & vbCrLf)
317             Print(2, "SF4CR," & 2209 + 11 * i & "," & 2561 + 30 * i & "," & 2560 + 30
318             * i & "," & 2572 + 30 * i & "," & 2573 + 30 * i & ",0" & vbCrLf)
319             Print(2, "SF4CR," & 2210 + 11 * i & "," & 2562 + 30 * i & "," & 2109 + 10
320             * i & "," & 2561 + 30 * i & "," & 2574 + 30 * i & ",0" & vbCrLf)
321             Print(2, "SF4CR," & 2211 + 11 * i & "," & 2551 + 30 * i & "," & 2110 + 10
322             * i & "," & 2562 + 30 * i & "," & 2575 + 30 * i & ",0" & vbCrLf)
323             Next
324
325         'for generation 1
326         For i = 0 To ncfp - 1
327             Print(2, "SF4CR," & 2451 + 3 * i & "," & 3181 + 7 * i & "," & 3185 + 7 *
328             i & "," & 3182 + 7 * i & "," & 2553 + 30 * i & ",0" & vbCrLf)
329             Print(2, "SF4CR," & 2452 + 3 * i & "," & 3182 + 7 * i & "," & 3186 + 7 *
330             i & "," & 3183 + 7 * i & "," & 2103 + 10 * i & ",0" & vbCrLf)
331             Print(2, "SF4CR," & 2453 + 3 * i & "," & 3183 + 7 * i & "," & 3187 + 7 *
332             i & "," & 3184 + 7 * i & "," & 2554 + 30 * i & ",0" & vbCrLf)
333             Next

```

```

'for generation 2
304   For i = 0 To ncfp - 1
305       Print(2, "SF4CR," & 2521 + 3 * i & "," & 3351 + 7 * i & "," & 3355 + 7 *
i & "," & 3352 + 7 * i & "," & 2570 + 30 * i & ",0" & vbCrLf)
306       Print(2, "SF4CR," & 2522 + 3 * i & "," & 3352 + 7 * i & "," & 3356 + 7 *
i & "," & 3353 + 7 * i & "," & 2571 + 30 * i & ",0" & vbCrLf)
307       Print(2, "SF4CR," & 2523 + 3 * i & "," & 3353 + 7 * i & "," & 3357 + 7 *
i & "," & 3354 + 7 * i & "," & 2572 + 30 * i & ",0" & vbCrLf)
308   Next

'volumes of transition mesh
309   Print(2, " " & vbCrLf)
310   Print(2, "C* Volumes of transition mesh" & vbCrLf)
311   For j = 0 To ncfp - 2
312       For i = 0 To 10
313           Print(2, "VL2SF," & (i + 601) + 11 * j & "," & (2201 + i) + 11 * j &
"," & (2212 + i) + 11 * j & ",1" & vbCrLf)
314       Next
315   Next

'for generation 1
316   For j = 0 To ncfp - 2
317       For i = 0 To 2
318           Print(2, "VL2SF," & (i + 821) + 3 * j & "," & (2451 + i) + 3 * j &
"," & (2454 + i) + 3 * j & ",1" & vbCrLf)
319       Next
320   Next

'for generation 2
321   For j = 0 To ncfp - 2
322       For i = 0 To 2
323           Print(2, "VL2SF," & (i + 881) + 3 * j & "," & (2521 + i) + 3 * j &
"," & (2524 + i) + 3 * j & ",1" & vbCrLf)
324       Next
325   Next

'behind the crack
326   Print(2, " " & vbCrLf)
327   Print(2, "C* Mesh behind the crack" & vbCrLf)
328   Print(2, "C* Points (Part 1)" & vbCrLf)
329   Print(2, "ACTSET,CS,0" & vbCrLf)
330   Print(2, "PT," & 1702 & ",0," & vY(1) + vY(2) + vY(5) & ",0" & vbCrLf)

331   aux_dist(1) = z(ncfp - 1)
332   aux_dist(2) = x(ncfp - 1) - (DistL1a + DistL2a + DistL3a + DTrans1) *
Math.Cos(angle(ncfp - 1) * (Math.PI / 180))
333   aux_dist(3) = z(ncfp - 1) + (DistL1a + DistL2a + DistL3a + DTrans1) *
Math.Sin(angle(ncfp - 1) * (Math.PI / 180))
334   aux_dist(5) = z(ncfp) - (aux_dist(3))
335   aux_dist(6) = aux_dist(3)
336   aux_dist(7) = aux_dist(6) / (ncfp + 4)
337   aux_dist(8) = ((DistL1a + DistL2a + DistL3a) * Math.Sin(36 * (Math.PI /
180))) * Math.Tan(weld_angle(1))
338   aux_dist(9) = ((DistL1a + DistL2a + DistL3a) * Math.Sin(2 * 36 * (Math.PI /
180))) * Math.Tan(weld_angle(1))

339   Print(2, "CSYS,5,0,1702,1,1016" & vbCrLf)
340   For i = 1 To ncfp - 2
341       aux_dist(10) = 1
342       Print(2, "PT," & 1507 + 6 * (i - 1) & "," & aux_dist(2) * aux_dist(10) &
"," & (DistL1a + DistL2a + DistL3a) * Math.Sin(36 * (Math.PI / 180)) & "," & aux_dist(7)
* (i - 1) & vbCrLf)

```



```

343      Print(2, "PT," & 1508 + 6 * (i - 1) & "," & aux_dist(2) * aux_dist(10) &
", " & "0" & "," & aux_dist(7) * (i - 1) & vbCrLf)
344      Print(2, "PT," & 1509 + 6 * (i - 1) & "," & aux_dist(2) * aux_dist(10) &
", " & -(DistL1a + DistL2a + DistL3a) * Math.Sin(36 * (Math.PI / 180)) & "," &
aux_dist(7) * (i - 1) & vbCrLf)
345      Print(2, "PT," & 1510 + 6 * (i - 1) & "," & aux_dist(2) * aux_dist(10) &
", " & -(DistL1a + DistL2a + DistL3a) * Math.Sin(2 * 36 * (Math.PI / 180)) & "," &
aux_dist(7) * (i - 1) & vbCrLf)
346      Print(2, "PT," & 1511 + 6 * (i - 1) & "," & aux_dist(2) * aux_dist(10) &
", " & -aux_angle(6) & "," & aux_dist(7) * (i - 1) & vbCrLf)
347      Print(2, "PT," & 1512 + 6 * (i - 1) & "," & aux_dist(2) * aux_dist(10) &
", " & -aux_angle(9) & "," & aux_dist(7) * (i - 1) & vbCrLf)
348      Next

349      For i = ncfp - 1 To ncfp - 1
350          If i = ncfp - 1 Then
351              aux_dist(10) = 0.7
352          End If
353          Print(2, "PT," & 1501 + 6 * (i) & "," & aux_dist(2) * aux_dist(10) & ","
& (DistL1a + DistL2a + DistL3a) * Math.Sin(36 * (Math.PI / 180)) & "," & aux_dist(7) *
(i + 1) & vbCrLf)
354          Print(2, "PT," & 1502 + 6 * (i) & "," & aux_dist(2) * aux_dist(10) & ","
& "0" & "," & aux_dist(7) * (i + 1) & vbCrLf)
355          Print(2, "PT," & 1503 + 6 * (i) & "," & aux_dist(2) * aux_dist(10) & ","
& -(DistL1a + DistL2a + DistL3a) * Math.Sin(36 * (Math.PI / 180)) & "," & aux_dist(7) *
(i + 1) & vbCrLf)
356          Print(2, "PT," & 1504 + 6 * (i) & "," & aux_dist(2) * aux_dist(10) & ","
& -(DistL1a + DistL2a + DistL3a) * Math.Sin(2 * 36 * (Math.PI / 180)) & "," &
aux_dist(7) * (i + 1) & vbCrLf)
357          Print(2, "PT," & 1505 + 6 * (i) & "," & aux_dist(2) * aux_dist(10) & ","
& -aux_angle(6) & "," & aux_dist(7) * (i + 1) & vbCrLf)
358          Print(2, "PT," & 1506 + 6 * (i) & "," & aux_dist(2) * aux_dist(10) & ","
& -aux_angle(9) & "," & aux_dist(7) * (i + 1) & vbCrLf)
359      Next

360      Print(2, "PT," & 1501 + 6 * (ncfp) & ",0," & (DistL1a + DistL2a + DistL3a) *
Math.Sin(36 * (Math.PI / 180)) & "," & aux_dist(4) + aux_dist(7) * ncfp & vbCrLf)
361      Print(2, "PT," & 1502 + 6 * (ncfp) & ",0," & "0" & "," & aux_dist(4) +
aux_dist(7) * ncfp & vbCrLf)
362      Print(2, "PT," & 1503 + 6 * (ncfp) & "," & -aux_dist(8) & "," & -(DistL1a +
DistL2a + DistL3a) * Math.Sin(36 * (Math.PI / 180)) & "," & aux_dist(4) + aux_dist(7) *
ncfp & vbCrLf)
363      Print(2, "PT," & 1504 + 6 * (ncfp) & "," & -aux_dist(9) & "," & -(DistL1a +
DistL2a + DistL3a) * Math.Sin(2 * 36 * (Math.PI / 180)) & "," & aux_dist(4) +
aux_dist(7) * ncfp & vbCrLf)
364      Print(2, "PT," & 1505 + 6 * (ncfp) & ",0," & -aux_angle(6) & "," &
aux_dist(4) + aux_dist(7) * ncfp & vbCrLf)
365      Print(2, "PT," & 1506 + 6 * (ncfp) & ",0," & -aux_angle(9) & "," &
aux_dist(4) + aux_dist(7) * ncfp & vbCrLf)

366      Print(2, " " & vbCrLf)
367      Print(2, "C* Surfaces (Part 1)" & vbCrLf)
368      For j = 0 To ncfp - 2
369          For i = 0 To 4
370              Print(2, "SF4PT," & 3451 + i + 6 * j & "," & 1005 + i + 22 * j & ","
& 1027 + i + 22 * j & "," & 1513 + i + 6 * j & "," & 1507 + i + 6 * j & ",0" & vbCrLf)
371          Next
372          Print(2, "SF4PT," & 3456 + 6 * j & "," & 1019 + 22 * j & "," & 1041 + 22
* j & "," & 1518 + 6 * j & "," & 1512 + 6 * j & ",0" & vbCrLf)
373      Next

374      Print(2, " " & vbCrLf)
375      Print(2, "C* Volumes (Part 1)" & vbCrLf)

```

```

376     Print(2, "VL2SF," & 941 & "," & (3451) & "," & (3452) & ",1" & vbCrLf)
377     For i = 0 To ncfp - 2
378         Print(2, "VL2SF," & 941 + i & "," & (3451) + 6 * i & "," & (3452) + 6 * i
& ",0" & vbCrLf)
379     Next

380     For i = 0 To ncfp - 2
381         Print(2, "VL2SF," & 961 + i & "," & (3455) + 6 * i & "," & (3456) + 6 * i
& ",0" & vbCrLf)
382     Next

383     For j = 0 To 2
384         For i = 0 To ncfp - 2
385             Print(2, "VL2SF," & 981 + i + (ncfp - 1) * j & "," & (3452) + 6 * i +
j & "," & (3453) + 6 * i + j & ",0" & vbCrLf)
386         Next
387     Next

'Parte 2
388     Print(2, " " & vbCrLf)
389     Print(2, "C* Points (Part 2)" & vbCrLf)
390     For i = 0 To ncfp - 3
391         Print(2, "PT," & 1701 + 6 * (i) & ",0," & (DistL1a + DistL2a + DistL3a) *
Math.Sin(36 * (Math.PI / 180)) & "," & aux_dist(4) + aux_dist(7) * (i) & vbCrLf)
392         Print(2, "PT," & 1702 + 6 * (i) & ",0," & "0," & aux_dist(4) +
aux_dist(7) * (i) & vbCrLf)
393         Print(2, "PT," & 1703 + 6 * (i) & "," & -aux_dist(8) & "," & -(DistL1a +
DistL2a + DistL3a) * Math.Sin(36 * (Math.PI / 180)) & "," & aux_dist(4) + aux_dist(7) *
(i) & vbCrLf)
394         Print(2, "PT," & 1704 + 6 * (i) & "," & -aux_dist(9) & "," & -(DistL1a +
DistL2a + DistL3a) * Math.Sin(2 * 36 * (Math.PI / 180)) & "," & aux_dist(4) +
aux_dist(7) * (i) & vbCrLf)
395         Print(2, "PT," & 1705 + 6 * (i) & ",0," & -aux_angle(6) & "," &
aux_dist(4) + aux_dist(7) * (i) & vbCrLf)
396         Print(2, "PT," & 1706 + 6 * (i) & ",0," & -aux_angle(9) & "," &
aux_dist(4) + aux_dist(7) * (i) & vbCrLf)
397     Next

398     Print(2, " " & vbCrLf)
399     Print(2, "C* Surfaces (Part 2)" & vbCrLf)
400     For j = 0 To ncfp - 4
401         For i = 0 To 5
402             Print(2, "SF4PT," & 3901 + i + 6 * j & "," & 1701 + i + 6 * j & "," &
1507 + i + 6 * j & "," & 1513 + i + 6 * j & "," & 1707 + i + 6 * j & ",0" & vbCrLf)
403         Next
404     Next

405     For i = 0 To 5
406         Print(2, "SF4PT," & 3901 + 6 * (ncfp - 3) + i & "," & 1701 + i + 6 *
(ncfp - 3) & "," & 1507 + i + 6 * (ncfp - 3) & "," & 1513 + i + 6 * (ncfp - 3) & "," &
1519 + i + 6 * (ncfp - 3) & ",0" & vbCrLf)
407     Next

408     Print(2, " " & vbCrLf)
409     Print(2, "C* Volumes (Part 2)" & vbCrLf)
410     For j = 0 To 4
411         For i = 0 To ncfp - 3
412             Print(2, "VL2SF," & 1041 + 20 * j + i & "," & 3901 + 6 * i + j & ","
& 3902 + 6 * i + j & ",0" & vbCrLf)
413         Next
414     Next

```

```

'in front of the crack
415     Print(2, " " & vbCrLf)
416     Print(2, "C* Mesh in front of the crack" & vbCrLf)
417     Print(2, "C* Points" & vbCrLf)

418     aux_dist(10) = 0
419     For i = 2 To ncfp - 1
420         aux_dist(11) = z(i) - (DistL1a + DistL2a + DistL3a + DTrans1) *
Math.Sin(angle(i) * (Math.PI / 180))
421         aux_dist(12) = aux_dist(10) - aux_dist(11)
422         aux_dist(13) = x(i) + (DistL1a + DistL2a + DistL3a + DTrans1) *
Math.Cos(angle(i) * (Math.PI / 180))
423         aux_dist(14) = (vX(1) * aux_dist(12)) / aux_dist(13)
424         ext_coord(i) = aux_dist(10) - aux_dist(14)
425         Print(2, "C* coord " & ext_coord(i) & vbCrLf)
426     Next

427     ext_coord(ncfp) = 10 * vX(1)
428     For i = 2 To ncfp - 1
429         If ext_coord(i) > vZ(1) Then
430             node_max = i - 1
431             i = ncfp
432         End If
433     Next

434     Print(2, "CSYS,5,0,1702,1,1016" & vbCrLf)
435     Print(2, "PT," & 1901 & "," & vX(1) & "," & aux_angle(4) & ",0" & vbCrLf)
436     Print(2, "PT," & 1902 & "," & vX(1) & ",0,0" & vbCrLf)
437     Print(2, "PT," & 1903 & "," & vX(1) & "," & -aux_angle(4) & ",0" & vbCrLf)
438     Print(2, "PT," & 1904 & "," & vX(1) & "," & -aux_angle(5) & ",0" & vbCrLf)
439     Print(2, "PT," & 1905 & "," & vX(1) & "," & -aux_angle(6) & ",0" & vbCrLf)
440     Print(2, "PT," & 1906 & "," & vX(1) & "," & -aux_angle(9) & ",0" & vbCrLf)

441     For i = 2 To node_max
442         coord_x(i) = vX(1)
443         coord_z(i) = (vZ(1) / (node_max - 1)) * (i - 1)
444         Print(2, "PT," & 1901 + 6 * (i - 1) & "," & coord_x(i) & "," &
aux_angle(4) & "," & coord_z(i) & vbCrLf)
445         Print(2, "PT," & 1902 + 6 * (i - 1) & "," & coord_x(i) & ",0," &
coord_z(i) & vbCrLf)
446         Print(2, "PT," & 1903 + 6 * (i - 1) & "," & coord_x(i) & "," & -
aux_angle(4) & "," & coord_z(i) & vbCrLf)
447         Print(2, "PT," & 1904 + 6 * (i - 1) & "," & coord_x(i) & "," & -
aux_angle(5) & "," & coord_z(i) & vbCrLf)
448         Print(2, "PT," & 1905 + 6 * (i - 1) & "," & coord_x(i) & "," & -
aux_angle(6) & "," & coord_z(i) & vbCrLf)
449         Print(2, "PT," & 1906 + 6 * (i - 1) & "," & coord_x(i) & "," & -
aux_angle(9) & "," & coord_z(i) & vbCrLf)
450     Next

451     For i = node_max + 1 To ncfp - 1
452         coord_x(i) = vX(1) - ((vX(1) / (ncfp - node_max)) * (i - node_max))
453         coord_z(i) = vZ(1)
454         Print(2, "PT," & 1901 + 6 * (i - 1) & "," & coord_x(i) & "," &
aux_angle(4) & "," & vZ(1) & vbCrLf)
455         Print(2, "PT," & 1902 + 6 * (i - 1) & "," & coord_x(i) & ",0," &
vZ(1) & vbCrLf)
456         Print(2, "PT," & 1903 + 6 * (i - 1) & "," & coord_x(i) & "," & -
aux_angle(4) & "," & vZ(1) & vbCrLf)
457         Print(2, "PT," & 1904 + 6 * (i - 1) & "," & coord_x(i) & "," & -
aux_angle(5) & "," & vZ(1) & vbCrLf)
458         Print(2, "PT," & 1905 + 6 * (i - 1) & "," & coord_x(i) & "," & -
aux_angle(6) & "," & vZ(1) & vbCrLf)

```

```

459         Print(2, "PT," & 1906 + 6 * (i - 1) & "," & coord_x(i) & "," & -
aux_angle(9) & "," & vZ(1) & vbCrLf)
460         Next

461         Print(2, "PT," & 1901 + 6 * (ncfp - 1) & ",0," & aux_angle(4) & "," & vZ(1) &
vbCrLf)
462         Print(2, "PT," & 1902 + 6 * (ncfp - 1) & ",0,0," & vZ(1) & vbCrLf)
463         Print(2, "PT," & 1903 + 6 * (ncfp - 1) & "," & -aux_angle(7) & "," & -
aux_angle(4) & "," & vZ(1) & vbCrLf)
464         Print(2, "PT," & 1904 + 6 * (ncfp - 1) & "," & -aux_angle(8) & "," & -
aux_angle(5) & "," & vZ(1) & vbCrLf)
465         Print(2, "PT," & 1905 + 6 * (ncfp - 1) & ",0," & -aux_angle(6) & "," & vZ(1)
& vbCrLf)
466         Print(2, "PT," & 1906 + 6 * (ncfp - 1) & ",0," & -aux_angle(9) & "," & vZ(1)
& vbCrLf)
467         coord_x(ncfp) = vZ(1)
468         coord_z(ncfp) = 0

469         Print(2, " " & vbCrLf)
470         Print(2, "C* Surfaces" & vbCrLf)
471         For i = 0 To ncfp - 2
472             Print(2, "SF4PT," & 4301 + i & "," & 1906 + 6 * i & "," & 1022 + 22 * i &
"," & 1044 + 22 * i & "," & 1912 + 6 * i & ",0" & vbCrLf)
473         Next

474         For i = 0 To ncfp - 2
475             Print(2, "SF4PT," & 4321 + i & "," & 1905 + 6 * i & "," & 1012 + 22 * i &
"," & 1034 + 22 * i & "," & 1911 + 6 * i & ",0" & vbCrLf)
476         Next

477         For i = 0 To ncfp - 2
478             Print(2, "SF4PT," & 4341 + i & "," & 1904 + 6 * i & "," & 1013 + 22 * i &
"," & 1035 + 22 * i & "," & 1910 + 6 * i & ",0" & vbCrLf)
479         Next

480         For i = 0 To ncfp - 2
481             Print(2, "SF4PT," & 4361 + i & "," & 1903 + 6 * i & "," & 1014 + 22 * i &
"," & 1036 + 22 * i & "," & 1909 + 6 * i & ",0" & vbCrLf)
482         Next

483         For i = 0 To ncfp - 2
484             Print(2, "SF4PT," & 4381 + i & "," & 1902 + 6 * i & "," & 1001 + 22 * i &
"," & 1023 + 22 * i & "," & 1908 + 6 * i & ",0" & vbCrLf)
485         Next

486         For i = 0 To ncfp - 2
487             Print(2, "SF4PT," & 4401 + i & "," & 1901 + 6 * i & "," & 1002 + 22 * i &
"," & 1024 + 22 * i & "," & 1907 + 6 * i & ",0" & vbCrLf)
488         Next

489         Print(2, " " & vbCrLf)
490         Print(2, "C* Volumes" & vbCrLf)
491         For i = 0 To ncfp - 2
492             Print(2, "VL2SF," & 1141 + i & "," & 4401 + i & "," & 4381 + i & ",0" &
vbCrLf)
493         Next

494         For i = 0 To ncfp - 2
495             Print(2, "VL2SF," & 1161 + i & "," & 4321 + i & "," & 4301 + i & ",0" &
vbCrLf)
496         Next

497         For j = 0 To 2

```

```

498         For i = 0 To ncfp - 2
499             Print(2, "VL2SF," & 1181 + i + (ncfp - 1) * j & "," & 4381 + i - 20 *
j & "," & 4361 + i - 20 * j & ",0" & vbCrLf)
500         Next
Next

'meshing (Part 1) from the upper face of the crack to the end of the specimen
501     Print(2, " " & vbCrLf)
502     Print(2, "C* Meshing (Part 1)" & vbCrLf)
503     Print(2, "M_VL,1,600,10,20," & NEL1 & "," & NEL1 & "," & NEL1 & ",1,1,1" &
vbCrLf)
504     Print(2, "M_VL,2,600,10,20," & NEL1 & "," & NEL1 & "," & NEL1 & ",1,1,1" &
vbCrLf)
505     Print(2, "M_VL,3,600,10,20," & NEL1 & "," & NEL1 & "," & NEL1 & ",1,1,1" &
vbCrLf)
506     Print(2, "M_VL,4,600,10,20," & NEL1 & "," & NEL1 & "," & NEL1 & ",1,1,1" &
vbCrLf)
507     Print(2, "M_VL,5,600,10,20," & NEL1 & "," & NEL1 & "," & NEL1 & ",1,1,1" &
vbCrLf)
508     num_elements(1) = 15 * (ncfp - 1)
509     Print(2, "C* Number of elements: " & num_elements(1) & vbCrLf)

510     Print(2, "M_VL,601,820,11,20," & NEL1 & "," & NEL1 & "," & NEL1 & ",1,1,1" &
vbCrLf)
511     Print(2, "M_VL,602,820,11,20," & NEL1 & "," & NEL1 & "," & NEL1 & ",1,1,1" &
vbCrLf)
512     Print(2, "M_VL,603,820,11,20," & NEL1 & "," & NEL1 & "," & NEL1 & ",1,1,1" &
vbCrLf)
513     Print(2, "M_VL,604,820,11,20," & NEL1 & "," & NEL1 & "," & NEL1 & ",1,1,1" &
vbCrLf)
514     num_elements(2) = num_elements(1) + 4 * (ncfp - 1)
515     Print(2, "C* Number of elements: " & num_elements(2) & vbCrLf)

'transition mesh
516     Print(2, "M_VL,821,880,1,20," & NEL1 & "," & NEL1 & "," & NEL1 & ",1,1,1" &
vbCrLf)
517     num_elements(3) = num_elements(2) + 3 * (ncfp - 1)
518     Print(2, "C* Number of elements: " & num_elements(3) & vbCrLf)

'behind the crack
519     aux_mesh(1) = 2 * aux_angle(6)
520     aux_mesh(2) = aux_dist(5)
521     aux_NEL(1) = 0.5 * (aux_mesh(2) / aux_mesh(1))
522     If aux_NEL(1) < NEL2 Then
523         NEL2 = aux_NEL(1)
524     End If

525     If NEL2 < 1 Then
526         NEL2 = 1
527     End If

'generation 1 (interior)
528     Print(2, "M_VL,941,960,1,20," & NEL1 & "," & NEL2 & "," & NEL1 & ",1,1,1" &
vbCrLf)
529     num_elements(4) = num_elements(3) + NEL2 * (ncfp - 1)
530     Print(2, "C* Number of elements: " & num_elements(4) & vbCrLf)

531     Print(2, "M_VL,1041,1059,1,20," & NEL1 & "," & NEL1 & "," & NEL1 & ",1,1,1" &
vbCrLf)
532     num_elements(5) = num_elements(4) + (ncfp - 2)
533     Print(2, "C* Number of elements: " & num_elements(5) & vbCrLf)

'after the crack

```

```

534     xmax = 0
535     For i = 1 To ncfp
536         If x(i) > xmax Then
537             xmax = x(i)
538         End If
539     Next

540     aux_NEL(2) = vX(1) / xmax

541     If NEL3 > aux_NEL(2) Then
542         NEL3 = aux_NEL(2)
543     End If

544     If NEL3 < 1 Then
545         NEL3 = 1
546     End If

    'generation 1 (exterior)
547     Print(2, "M_VL,1141,1160,1,20," & NEL3 & "," & NEL1 & "," & NEL1 & ",1,1,1" &
vbCrLf)
548     num_elements(6) = num_elements(5) + NEL3 * (ncfp - 1)
549     Print(2, "C* Number of elements: " & num_elements(6) & vbCrLf)

    'scaling (Part 1)
550     Print(2, " " & vbCrLf)
551     Print(2, "C* Scaling (Part 1)" & vbCrLf)

    'primeira camada
552     aux_dist(15) = (aux_angle(5) - aux_angle(4)) / aux_angle(4)
553     Print(2, "ELSCALE," & num_elements(3) + 1 & "," & num_elements(4) & ",1,0,1,"
& aux_dist(15) & ",1,0," & aux_angle(4) & ",0" & vbCrLf)
554     Print(2, "ELSCALE," & num_elements(4) + 1 & "," & num_elements(5) & ",1,0,1,"
& aux_dist(15) & ",1,0," & aux_angle(4) & ",0" & vbCrLf)
555     Print(2, "ELSCALE," & num_elements(5) + 1 & "," & num_elements(6) & ",1,0,1,"
& aux_dist(15) & ",1,0," & aux_angle(4) & ",0" & vbCrLf)
556     num_elements(7) = num_elements(6) + (NEL2 * (ncfp - 1)) + ((ncfp - 2)) +
(NEL3 * (ncfp - 1))
557     Print(2, "C* Number of elements: " & num_elements(7) & vbCrLf)

    'segunda camada
558     aux_dist(16) = (aux_angle(6) - aux_angle(5)) / aux_angle(4)
559     Print(2, "ELSCALE," & num_elements(3) + 1 & "," & num_elements(4) & ",1,0,1,"
& aux_dist(16) & ",1,0," & aux_angle(5) & ",0" & vbCrLf)
560     Print(2, "ELSCALE," & num_elements(4) + 1 & "," & num_elements(5) & ",1,0,1,"
& aux_dist(16) & ",1,0," & aux_angle(5) & ",0" & vbCrLf)
561     Print(2, "ELSCALE," & num_elements(5) + 1 & "," & num_elements(6) & ",1,0,1,"
& aux_dist(16) & ",1,0," & aux_angle(5) & ",0" & vbCrLf)
562     num_elements(8) = num_elements(7) + (NEL2 * (ncfp - 1)) + ((ncfp - 2)) +
(NEL3 * (ncfp - 1))
563     Print(2, "C* Number of elements: " & num_elements(8) & vbCrLf)

    'until the support
564     Print(2, "CSYS,6,0,704,703,1017" & vbCrLf)
565     aux_dist(17) = vY(3) - vY(5) - aux_angle(6) - vY(6)
566     aux_dist(18) = aux_dist(17) / NEL4
567     aux_dist(19) = aux_dist(18) / (aux_angle(6) - aux_angle(5))

568     For i = 0 To NEL4 - 1
569         Print(2, "ELSCALE," & num_elements(2) + 1 & "," & num_elements(3) &
",1,0,1," & aux_dist(19) & ",1,0," & (aux_angle(6) - aux_angle(5)) + aux_dist(18) * i &
",0" & vbCrLf)

```

```

570      Print(2, "ELSCALE," & num_elements(7) + 1 & "," & num_elements(8) &
",1,0,1," & aux_dist(19) & ",1,0," & (aux_angle(6) - aux_angle(5)) + aux_dist(18) * i &
",0" & vbCrLf)
571      Next
572      num_elements(9) = num_elements(8) + ((3 * (ncfp - 1)) + (NEL2 * (ncfp - 1)) +
((ncfp - 2)) + (NEL3 * (ncfp - 1))) * NEL4
573      Print(2, "C* Number of elements: " & num_elements(9) & vbCrLf)

'from the support to the end
574      aux_dist(20) = vY(6) / NEL5
575      aux_dist(21) = aux_dist(20) / (aux_angle(6) - aux_angle(5))
576      aux_dist(22) = (aux_angle(6) - aux_angle(5)) + aux_dist(18) * NEL4

577      For i = 0 To NEL5 - 1
578          Print(2, "ELSCALE," & num_elements(2) + 1 & "," & num_elements(3) &
",1,0,1," & aux_dist(21) & ",1,0," & aux_dist(22) + aux_dist(20) * i & ",0" & vbCrLf)
579          Print(2, "ELSCALE," & num_elements(7) + 1 & "," & num_elements(8) &
",1,0,1," & aux_dist(21) & ",1,0," & aux_dist(22) + aux_dist(20) * i & ",0" & vbCrLf)
580      Next
581      num_elements(10) = num_elements(9) + ((3 * (ncfp - 1)) + (NEL2 * (ncfp - 1))
+ ((ncfp - 2)) + (NEL3 * (ncfp - 1))) * NEL5
582      Print(2, "C* Number of elements: " & num_elements(10) & vbCrLf)

583      Print(2, " " & vbCrLf)
584      Print(2, "C* Merge and compress (1)" & vbCrLf)
585      Print(2, "PARASSIGN,num_nodes0,INT,ndmax" & vbCrLf)
586      Print(2, "NMERGE,1,ndmax,1,0.001,0,1,0" & vbCrLf)
587      Print(2, "NCOMPRESS,1,ndmax" & vbCrLf)
588      Print(2, "PARASSIGN,num_nodes1,INT,ndmax" & vbCrLf)
589      Print(2, "NMODIFY,1,num_nodes1,1,1,0,20,0,0" & vbCrLf)

'meshing (Part 2) from the lower face of the crack until the end of the specimen
590      Print(2, " " & vbCrLf)
591      Print(2, "C* Meshing (Part 1)" & vbCrLf)
592      Print(2, "M_VL,6,600,10,20," & NEL1 & "," & NEL1 & "," & NEL1 & ",1,1,1" &
vbCrLf)
593      Print(2, "M_VL,7,600,10,20," & NEL1 & "," & NEL1 & "," & NEL1 & ",1,1,1" &
vbCrLf)
594      Print(2, "M_VL,8,600,10,20," & NEL1 & "," & NEL1 & "," & NEL1 & ",1,1,1" &
vbCrLf)
595      Print(2, "M_VL,9,600,10,20," & NEL1 & "," & NEL1 & "," & NEL1 & ",1,1,1" &
vbCrLf)
596      Print(2, "M_VL,10,600,10,20," & NEL1 & "," & NEL1 & "," & NEL1 & ",1,1,1" &
vbCrLf)
597      num_elements(11) = num_elements(10) + 15 * (ncfp - 1)
598      Print(2, "C* Number of elements: " & num_elements(11) & vbCrLf)

599      Print(2, "M_VL,605,820,11,20," & NEL1 & "," & NEL1 & "," & NEL1 & ",1,1,1" &
vbCrLf)
600      Print(2, "M_VL,606,820,11,20," & NEL1 & "," & NEL1 & "," & NEL1 & ",1,1,1" &
vbCrLf)
601      Print(2, "M_VL,607,820,11,20," & NEL1 & "," & NEL1 & "," & NEL1 & ",1,1,1" &
vbCrLf)
602      Print(2, "M_VL,608,820,11,20," & NEL1 & "," & NEL1 & "," & NEL1 & ",1,1,1" &
vbCrLf)
603      Print(2, "M_VL,609,820,11,20," & NEL1 & "," & NEL1 & "," & NEL1 & ",1,1,1" &
vbCrLf)
604      Print(2, "M_VL,610,820,11,20," & NEL1 & "," & NEL1 & "," & NEL1 & ",1,1,1" &
vbCrLf)
605      Print(2, "M_VL,611,820,11,20," & NEL1 & "," & NEL1 & "," & NEL1 & ",1,1,1" &
vbCrLf)
606      num_elements(12) = num_elements(11) + 7 * (ncfp - 1)
607      Print(2, "C* Number of elements: " & num_elements(12) & vbCrLf)

```

```

608      Print(2, "M_VL,881,940,1,20," & NEL1 & "," & NEL1 & "," & NEL1 & ",1,1,1" &
vbCrLf)
609      num_elements(13) = num_elements(12) + 3 * (ncfp - 1)
610      Print(2, "C* Number of elements: " & num_elements(13) & vbCrLf)

'generation 2 (interior)
611      Print(2, "M_VL,961,980,1,20," & NEL1 & "," & NEL2 & "," & NEL1 & ",1,1,1" &
vbCrLf)
612      num_elements(14) = num_elements(13) + NEL2 * (ncfp - 1)
613      Print(2, "C* Number of elements: " & num_elements(14) & vbCrLf)

614      Print(2, "M_VL,1121,1139,1,20," & NEL1 & "," & NEL1 & "," & NEL1 & ",1,1,1" &
vbCrLf)
615      num_elements(15) = num_elements(14) + (ncfp - 2)
616      Print(2, "C* Number of elements: " & num_elements(15) & vbCrLf)

'interior (other volumes)
617      Print(2, "M_VL,981,1040,1,20," & NEL1 & "," & NEL2 & "," & NEL1 & ",1,1,1" &
vbCrLf)
618      num_elements(16) = num_elements(15) + 3 * NEL2 * (ncfp - 1)
619      Print(2, "C* Number of elements: " & num_elements(16) & vbCrLf)

620      Print(2, "M_VL,1061,1120,1,20," & NEL1 & "," & NEL1 & "," & NEL1 & ",1,1,1" &
vbCrLf)
621      num_elements(17) = num_elements(16) + 3 * (ncfp - 2)
622      Print(2, "C* Number of elements: " & num_elements(17) & vbCrLf)

'generation 2 (exterior)
623      Print(2, "M_VL,1161,1180,1,20," & NEL3 & "," & NEL1 & "," & NEL1 & ",1,1,1" &
vbCrLf)
624      num_elements(18) = num_elements(17) + NEL3 * (ncfp - 1)
625      Print(2, "C* Number of elements: " & num_elements(18) & vbCrLf)

'other volumes (exterior)
626      Print(2, "M_VL,1181,1240,1,20," & NEL3 & "," & NEL1 & "," & NEL1 & ",1,1,1" &
vbCrLf)
627      num_elements(19) = num_elements(18) + 3 * NEL3 * (ncfp - 1)
628      Print(2, "C* Number of elements: " & num_elements(19) & vbCrLf)

629      Print(2, " " & vbCrLf)
630      Print(2, "C* Merge and compress (2)" & vbCrLf)
631      Print(2, "PARASSIGN,num_nodes2,INT,ndmax" & vbCrLf)
632      Print(2, "NMERGE,1,ndmax,1,0.001,0,1,0" & vbCrLf)
633      Print(2, "NCOMPRESS,1,ndmax" & vbCrLf)
634      Print(2, "PARASSIGN,num_nodes3,INT,ndmax" & vbCrLf)
635      Print(2, "NMODIFY,num_nodes1+1,ndmax,1,1," & vX(1) + 20 & ",0,0,0" & vbCrLf)

636      Print(2, " " & vbCrLf)
637      Print(2, "C* Geometry of the welding joints" & vbCrLf)
638      Print(2, "ACTSET,CS,5" & vbCrLf)
639      xw(nwp + 1) = vY(5)
640      yw(nwp + 1) = vX(4)
641      xw(nwp + 2) = vY(5)
642      yw(nwp + 2) = vX(2)

'análise do ligamento do cordão
643      lig(3) = lig(1)
644      If lig(1) < 0.05 Then
645          lig(3) = 0.05
646      End If

647      If lig(1) > 0.45 Then

```



```

648         lig(3) = 0.45
649     End If

650     If lig(1) = 0.5 Then
651         lig(3) = 0.25
652     End If

653     lig(4) = lig(2)
654     If lig(2) < 0.05 Then
655         lig(4) = 0.05
656     End If

657     If lig(2) > 0.45 Then
658         lig(4) = 0.45
659     End If

660     If lig(2) = 0.5 Then
661         lig(4) = 0.25
662     End If

663     Print(2, " " & vbCrLf)
664     Print(2, "C* Points" & vbCrLf)
665     For i = 2 To nwp + 2
666         Print(2, "PT," & 2041 + 2 * (i - 2) & "," & -yw(i) & "," & -xw(i) & ",0"
& vbCrLf)
667         Print(2, "PT," & 2042 + 2 * (i - 2) & "," & -yw(i) & "," & -xw(i) & "," &
aux_dist(7) & vbCrLf) 'novo 4
668     Next

669     For i = 2 To nwp + 2
670         Print(2, "PT," & 2541 + 2 * (i - 2) & "," & -yw(i) & "," & -vY(5) -
lig(3) * vY(2) & ",0" & vbCrLf)
671         Print(2, "PT," & 2542 + 2 * (i - 2) & "," & -yw(i) & "," & -vY(5) -
lig(3) * vY(2) & "," & aux_dist(7) & vbCrLf) 'novo 4
672     Next
673     Print(2, "PT," & 2539 & ",0," & -vY(5) - lig(3) * vY(2) & ",0" & vbCrLf)
674     Print(2, "PT," & 2540 & ",0," & -vY(5) - lig(3) * vY(2) & "," & aux_dist(7) &
vbCrLf) 'novo 4

675     For i = 2 To nwp + 2
676         Print(2, "PT," & 3041 + 2 * (i - 2) & "," & -yw(i) & "," & -vY(5) - 0.5 *
vY(2) & ",0" & vbCrLf)
677         Print(2, "PT," & 3042 + 2 * (i - 2) & "," & -yw(i) & "," & -vY(5) - 0.5 *
vY(2) & "," & aux_dist(7) & vbCrLf) 'novo 4
678     Next
679     Print(2, "PT," & 3039 & ",0," & -vY(5) - 0.5 * vY(2) & ",0" & vbCrLf)
680     Print(2, "PT," & 3040 & ",0," & -vY(5) - 0.5 * vY(2) & "," & aux_dist(7) &
vbCrLf) 'novo 4

681     For i = 2 To nwp + 2
682         Print(2, "PT," & 3541 + 2 * (i - 2) & "," & -yw(i) & "," & -vY(5) - (1 -
lig(4)) * vY(2) & ",0" & vbCrLf)
683         Print(2, "PT," & 3542 + 2 * (i - 2) & "," & -yw(i) & "," & -vY(5) - (1 -
lig(4)) * vY(2) & "," & aux_dist(7) & vbCrLf) 'novo 4
684     Next
685     Print(2, "PT," & 3539 & ",0," & -vY(5) - (1 - lig(4)) * vY(2) & ",0" &
vbCrLf)
686     Print(2, "PT," & 3540 & ",0," & -vY(5) - (1 - lig(4)) * vY(2) & "," &
aux_dist(7) & vbCrLf) 'novo 4

'additional points of the uncracked welded joint

```

```

687     Print(2, " " & vbCrLf)
688     Print(2, "C* Points of the uncracked joint" & vbCrLf)
689     xwnf(nwp) = vY(4)
690     ywnf(nwp) = vX(3)
691     xwnf(nwp + 1) = vY(4)
692     ywnf(nwp + 1) = vX(2)
693     aux_dist(23) = vY(4) + vY(2) + vY(5)
694     Print(2, "PT," & 4039 & ",0," & -aux_dist(23) & ",0" & vbCrLf)
695     Print(2, "PT," & 4040 & ",0," & -aux_dist(23) & "," & aux_dist(7) & vbCrLf)
696     For i = 1 To nwp + 1
697         Print(2, "PT," & 4041 + 2 * (i - 1) & "," & -ywnf(i) & "," & -
aux_dist(23) + xwnf(i) & ",0" & vbCrLf)
698         Print(2, "PT," & 4042 + 2 * (i - 1) & "," & -ywnf(i) & "," & -
aux_dist(23) + xwnf(i) & "," & aux_dist(7) & vbCrLf) 'novo 4
699     Next

'surfaces
700     Print(2, " " & vbCrLf)
701     Print(2, "C* Surfaces" & vbCrLf)
702     Print(2, "SF4PT,4801,1704,1705,1706,2041,0" & vbCrLf)
703     Print(2, "SF4PT,4802,1710,1711,1712,2042,0" & vbCrLf)
704     Print(2, "SF4PT,4803,2041,1706,2539,2541,0" & vbCrLf)
705     Print(2, "SF4PT,4804,2042,1712,2540,2542,0" & vbCrLf)

706     For i = 0 To nwp - 1
707         Print(2, "SF4PT," & 4805 + 2 * i & "," & 2043 + 2 * i & "," & 2041 + 2 *
i & "," & 2541 + 2 * i & "," & 2543 + 2 * i & ",0" & vbCrLf)
708         Print(2, "SF4PT," & 4806 + 2 * i & "," & 2044 + 2 * i & "," & 2042 + 2 *
i & "," & 2542 + 2 * i & "," & 2544 + 2 * i & ",0" & vbCrLf)
709     Next

710     For i = 0 To nwp
711         Print(2, "SF4PT," & 5203 + 2 * i & "," & 2541 + 2 * i & "," & 2539 + 2 *
i & "," & 3039 + 2 * i & "," & 3041 + 2 * i & ",0" & vbCrLf)
712         Print(2, "SF4PT," & 5204 + 2 * i & "," & 2542 + 2 * i & "," & 2540 + 2 *
i & "," & 3040 + 2 * i & "," & 3042 + 2 * i & ",0" & vbCrLf)
713     Next

714     For i = 0 To nwp
715         Print(2, "SF4PT," & 5703 + 2 * i & "," & 3041 + 2 * i & "," & 3039 + 2 *
i & "," & 3539 + 2 * i & "," & 3541 + 2 * i & ",0" & vbCrLf)
716         Print(2, "SF4PT," & 5704 + 2 * i & "," & 3042 + 2 * i & "," & 3040 + 2 *
i & "," & 3540 + 2 * i & "," & 3542 + 2 * i & ",0" & vbCrLf)
717     Next

718     For i = 0 To nwp
719         Print(2, "SF4PT," & 6203 + 2 * i & "," & 3541 + 2 * i & "," & 3539 + 2 *
i & "," & 4039 + 2 * i & "," & 4041 + 2 * i & ",0" & vbCrLf)
720         Print(2, "SF4PT," & 6204 + 2 * i & "," & 3542 + 2 * i & "," & 3540 + 2 *
i & "," & 4040 + 2 * i & "," & 4042 + 2 * i & ",0" & vbCrLf)
721     Next

'volumes
722     Print(2, " " & vbCrLf)
723     Print(2, "C* Volumes" & vbCrLf)
724     For i = 0 To nwp + 1
725         Print(2, "VL2SF," & 1241 + i & "," & 4801 + 2 * i & "," & 4802 + 2 * i &
",0" & vbCrLf) 'novo 3
726     Next

727     For i = 0 To nwp
728         Print(2, "VL2SF," & 1341 + i & "," & 5203 + 2 * i & "," & 5204 + 2 * i &
",0" & vbCrLf)

```

```

729     Next

730     For i = 0 To nwp
731         Print(2, "VL2SF," & 1441 + i & "," & 5703 + 2 * i & "," & 5704 + 2 * i &
",0" & vbCrLf)
732     Next

733     For i = 0 To nwp
734         Print(2, "VL2SF," & 1541 + i & "," & 6203 + 2 * i & "," & 6204 + 2 * i &
",0" & vbCrLf)
735     Next

'Meshing (Part 2)
736     aux_NEL(3) = 0
737     aux_NEL(4) = 0
738     If lig(1) < 0.05 Then
739         aux_NEL(3) = 0.05 / lig(1)
740         aux_NEL(4) = 0.8 * NEL6
741     ElseIf lig(1) > 0.45 Then
742         aux_NEL(4) = 0.05 / (lig(1) - 0.45)
743         aux_NEL(3) = 0.8 * NEL6
744     ElseIf lig(1) >= 0.05 And lig(1) <= 0.45 Then
745         aux_NEL(3) = (lig(3) / 0.5) * NEL6
746         aux_NEL(4) = NEL6 - aux_NEL(3)
747     End If

748     If aux_NEL(3) < 1 Then
749         aux_NEL(3) = 1
750     End If

751     If aux_NEL(3) > 10 Then
752         aux_NEL(3) = 10
753     End If

754     If aux_NEL(4) < 1 Then
755         aux_NEL(4) = 1
756     End If

757     If aux_NEL(4) > 10 Then
758         aux_NEL(4) = 10
759     End If

760     If lig(1) = 0.5 Then
761         aux_NEL(3) = 0.5 * NEL6
762         aux_NEL(4) = 0.5 * NEL6
763     End If

764     aux_NEL(5) = 0
765     aux_NEL(6) = 0
766     If lig(2) < 0.05 Then
767         aux_NEL(6) = 0.05 / lig(2)
768         aux_NEL(5) = 0.8 * NEL6
769     ElseIf lig(2) > 0.45 Then
770         aux_NEL(5) = 0.05 / (lig(2) - 0.45)
771         aux_NEL(6) = 0.8 * NEL6
772     ElseIf lig(2) >= 0.05 And lig(2) <= 0.45 Then
773         aux_NEL(6) = (lig(4) / 0.5) * NEL6
774         aux_NEL(5) = NEL6 - aux_NEL(6)
775     End If

776     If aux_NEL(5) < 1 Then
777         aux_NEL(5) = 1
778     End If

```

```

779     If aux_NEL(5) > 10 Then
780         aux_NEL(5) = 10
781     End If

782     If aux_NEL(6) < 1 Then
783         aux_NEL(6) = 1
784     End If

785     If aux_NEL(6) > 10 Then
786         aux_NEL(6) = 10
787     End If

788     If lig(2) = 0.5 Then
789         aux_NEL(5) = 0.5 * NEL7
790         aux_NEL(6) = 0.5 * NEL7
791     End If

792     Print(2, " " & vbCrLf)
793     Print(2, "C* Meshing (Part 2)" & vbCrLf)
794     Print(2, "M_VL,1241,1241,1,20," & NEL1 & "," & NEL1 & "," & NEL1 & ",1,1,1" &
vbCrLf)
795     num_elements(20) = num_elements(19) + 1
796     Print(2, "C* Number of elements: " & num_elements(20) & vbCrLf)

797     Print(2, "M_VL,1242," & 1241 + nwp & ",1,20," & NEL1 & "," & aux_NEL(3) & "," &
& NEL1 & ",1,1,1" & vbCrLf)
798     num_elements(21) = num_elements(20) + nwp * aux_NEL(3)
799     Print(2, "C* Number of elements: " & num_elements(21) & vbCrLf)

800     Print(2, "M_VL," & 1241 + nwp + 1 & "," & 1241 + nwp + 1 & ",1,20," & NEL7 &
",," & aux_NEL(3) & "," & NEL1 & ",1,1,1" & vbCrLf)
801     num_elements(22) = num_elements(21) + aux_NEL(3) * NEL7
802     Print(2, "C* Number of elements: " & num_elements(22) & vbCrLf)

803     Print(2, "M_VL,1341," & 1341 + nwp - 1 & ",1,20," & NEL1 & "," & aux_NEL(4) &
",," & NEL1 & ",1,1,1" & vbCrLf)
804     num_elements(23) = num_elements(22) + nwp * aux_NEL(4)
805     Print(2, "C* Number of elements: " & num_elements(23) & vbCrLf)

806     Print(2, "M_VL," & 1341 + nwp & "," & 1341 + nwp & ",1,20," & NEL7 & "," &
aux_NEL(4) & "," & NEL1 & ",1,1,1" & vbCrLf)
807     num_elements(24) = num_elements(23) + aux_NEL(4) * NEL7
808     Print(2, "C* Number of elements: " & num_elements(24) & vbCrLf)

809     Print(2, "M_VL,1441," & 1441 + nwp - 1 & ",1,20," & NEL1 & "," & aux_NEL(5) &
",," & NEL1 & ",1,1,1" & vbCrLf)
810     num_elements(25) = num_elements(24) + nwp * aux_NEL(5)
811     Print(2, "C* Number of elements: " & num_elements(25) & vbCrLf)

812     Print(2, "M_VL," & 1441 + nwp & "," & 1441 + nwp & ",1,20," & NEL7 & "," &
aux_NEL(5) & "," & NEL1 & ",1,1,1" & vbCrLf)
813     num_elements(26) = num_elements(25) + aux_NEL(5) * NEL7
814     Print(2, "C* Number of elements: " & num_elements(26) & vbCrLf)

815     Print(2, "M_VL,1541," & 1541 + nwp - 1 & ",1,20," & NEL1 & "," & aux_NEL(6) &
",," & NEL1 & ",1,1,1" & vbCrLf)
816     num_elements(27) = num_elements(26) + nwp * aux_NEL(6)
817     Print(2, "C* Number of elements: " & num_elements(27) & vbCrLf)

818     Print(2, "M_VL," & 1541 + nwp & "," & 1541 + nwp & ",1,20," & NEL7 & "," &
aux_NEL(6) & "," & NEL1 & ",1,1,1" & vbCrLf)
819     num_elements(28) = num_elements(27) + aux_NEL(6) * NEL7

```

```

820     Print(2, "C* Number of elements: " & num_elements(28) & vbCrLf)

821     Print(2, " " & vbCrLf)
822     Print(2, "C* Merge and compress (3)" & vbCrLf)
823     Print(2, "PARASSIGN,num_nodes4,INT,ndmax" & vbCrLf)
824     Print(2, "NMERGE,1,ndmax,1,0.0001,0,1,0" & vbCrLf)
825     Print(2, "NCOMPRESS,1,ndmax" & vbCrLf)
826     Print(2, "PARASSIGN,num_nodes5,INT,ndmax" & vbCrLf)
827     Print(2, "NMODIFY,num_nodes3+1,ndmax,1,1,-20,0,0,0" & vbCrLf)

'scalling (Part 2)
828     Print(2, " " & vbCrLf)
829     Print(2, "C* Scalling (Part 2)" & vbCrLf)
830     Print(2, "CSYS,7,0,1712,1718,2042" & vbCrLf)

831     aux_dist(24) = aux_dist(7)
832     For i = 1 To ncfp - 4
833         Print(2, "ELSCALE," & num_elements(19) + 1 & "," & num_elements(28) &
",1,0,1,1,1," & aux_dist(24) * i & ",0,0" & vbCrLf)
834     Next
835     num_elements(29) = num_elements(28) + (num_elements(28) - num_elements(19)) *
(ncfp - 4)
836     Print(2, "C* Number of elements: " & num_elements(29) & vbCrLf)

'elemento diferente do linha de elementos na parte interior junto ao cordão
837     Print(2, "CSYS,8,0,1702,1708,1701" & vbCrLf)

838     aux_dist(25) = 3 * aux_dist(7)
839     aux_dist(26) = aux_dist(25) / aux_dist(24)
840     Print(2, "ELSCALE," & num_elements(19) + 1 & "," & num_elements(28) & ",1,0,"
& aux_dist(26) & ",1,1," & aux_dist(7) * (ncfp - 3) & ",0,0" & vbCrLf)
841     num_elements(30) = num_elements(29) + (num_elements(28) - num_elements(19))
842     Print(2, "C* Number of elements: " & num_elements(30) & vbCrLf)

'parte entre a malha de transição e a linha de elementos junto ao cordão
843     aux_dist(26) = z(ncfp) - aux_angle(6) - (aux_dist(7) * ncfp)
844     aux_dist(27) = (aux_dist(26) / aux_dist(7)) / NEL2
845     aux_dist(28) = aux_dist(7) * ncfp
846     For i = 0 To NEL2 - 1
847         Print(2, "ELSCALE," & num_elements(19) + 1 & "," & num_elements(28) &
",1,0," & aux_dist(27) & ",1,1," & aux_dist(28) + aux_dist(26) * i & ",0,0" & vbCrLf)
848     Next
849     num_elements(31) = num_elements(30) + (num_elements(28) - num_elements(19))
850     Print(2, "C* Number of elements: " & num_elements(31) & vbCrLf)

851     aux_dist(29) = aux_angle(6) - aux_angle(3)
852     aux_dist(30) = 2 * aux_angle(3)
853     aux_dist(31) = aux_angle(6) - aux_angle(3)
854     aux_dist(32) = z(ncfp) - aux_angle(6)
855     aux_dist(33) = z(ncfp) - aux_angle(3)
856     aux_dist(34) = z(ncfp) + aux_angle(3)
857     For i = 0 To 2
858         Print(2, "ELSCALE," & num_elements(19) + 1 & "," & num_elements(28) &
",1,0," & aux_dist(29 + i) / aux_dist(7) & ",1,1," & aux_dist(32 + i) & ",0,0" & vbCrLf)
859     Next
860     num_elements(32) = num_elements(31) + (num_elements(28) - num_elements(19)) *
3
861     Print(2, "C* Number of elements: " & num_elements(32) & vbCrLf)

862     aux_dist(35) = z(ncfp) + aux_angle(6)
863     aux_dist(36) = (vZ(1) - aux_dist(35)) / NEL3
864     For i = 0 To NEL3 - 1

```

```

865         Print(2, "ELSCALE," & num_elements(19) + 1 & "," & num_elements(28) &
",1,0," & aux_dist(36) / aux_dist(7) & ",1,1," & aux_dist(35) + aux_dist(36) * i &
",0,0" & vbCrLf)
866     Next
867     num_elements(33) = num_elements(32) + (num_elements(28) - num_elements(19)) *
NEL3
868     Print(2, "C* Number of elements: " & num_elements(33) & vbCrLf)

869     Print(2, " " & vbCrLf)
870     Print(2, "C* Merge and compress (4)" & vbCrLf)
871     Print(2, "PARASSIGN,num_nodes6,INT,ndmax" & vbCrLf)
872     Print(2, "NMERGE,1,ndmax,1,0.0001,0,1,0" & vbCrLf)
873     Print(2, "NCOMPRESS,1,ndmax" & vbCrLf)
874     Print(2, "PARASSIGN,num_nodes7,INT,ndmax" & vbCrLf)
875     Print(2, "NMODIFY,num_nodes1+1,num_nodes3,1,1," & -vX(1) - 20 & ",0,0,0" &
vbCrLf)

'scalling (Part 3)
876     Print(2, " " & vbCrLf)
877     Print(2, "C* Scalling (Part 3)" & vbCrLf)
878     Print(2, "CSYS,7,0,1011,1012,1021" & vbCrLf)
879     aux_dist(37) = aux_angle(9) - aux_angle(6)
880     aux_dist(38) = (vY(5) + lig(3) * vY(2)) - aux_angle(9)
881     aux_dist(39) = aux_dist(38) / aux_NEL(3)
882     aux_dist(40) = aux_dist(39) / aux_dist(37)
883     For i = 0 To aux_NEL(3) - 1
884         Print(2, "ELSCALE," & num_elements(12) + 1 & "," & num_elements(13) &
",1,0,1," & aux_dist(40) & ",1,0," & aux_dist(37) + aux_dist(39) * i & ",0" & vbCrLf)
'nov0
885         Print(2, "ELSCALE," & num_elements(13) + 1 & "," & num_elements(15) &
",1,0,1," & aux_dist(40) & ",1,0," & aux_dist(37) + aux_dist(39) * i & ",0" & vbCrLf)
'nov0
886         Print(2, "ELSCALE," & num_elements(17) + 1 & "," & num_elements(18) &
",1,0,1," & aux_dist(40) & ",1,0," & aux_dist(37) + aux_dist(39) * i & ",0" & vbCrLf)
'nov0
887     Next
888     num_elements(34) = (num_elements(13) - num_elements(12)) + (num_elements(15)
- num_elements(13)) + (num_elements(18) - num_elements(17))
889     num_elements(35) = num_elements(33) + num_elements(34) * aux_NEL(3)
890     Print(2, "C* Number of elements: " & num_elements(35) & vbCrLf)

891     aux_dist(41) = (vY(5) + 0.5 * vY(2)) - (vY(5) + lig(3) * vY(2))
892     aux_dist(42) = aux_dist(41) / aux_NEL(4)
893     aux_dist(43) = aux_dist(42) / aux_dist(37)
894     aux_dist(44) = aux_dist(37) + aux_dist(38)
895     For i = 0 To aux_NEL(4) - 1
896         Print(2, "ELSCALE," & num_elements(12) + 1 & "," & num_elements(13) &
",1,0,1," & aux_dist(43) & ",1,0," & aux_dist(44) + aux_dist(42) * i & ",0" & vbCrLf)
897         Print(2, "ELSCALE," & num_elements(13) + 1 & "," & num_elements(15) &
",1,0,1," & aux_dist(43) & ",1,0," & aux_dist(44) + aux_dist(42) * i & ",0" & vbCrLf)
898         Print(2, "ELSCALE," & num_elements(17) + 1 & "," & num_elements(18) &
",1,0,1," & aux_dist(43) & ",1,0," & aux_dist(44) + aux_dist(42) * i & ",0" & vbCrLf)
899     Next
900     num_elements(36) = num_elements(35) + num_elements(34) * aux_NEL(4)
901     Print(2, "C* Number of elements: " & num_elements(36) & vbCrLf)

902     aux_dist(55) = (vY(5) + (1 - lig(4)) * vY(2)) - (vY(5) + 0.5 * vY(2))
903     aux_dist(56) = aux_dist(55) / aux_NEL(5)
904     aux_dist(57) = aux_dist(56) / aux_dist(37)
905     aux_dist(58) = aux_dist(44) + aux_dist(41)
906     For i = 0 To aux_NEL(5) - 1
907         Print(2, "ELSCALE," & num_elements(12) + 1 & "," & num_elements(13) &
",1,0,1," & aux_dist(57) & ",1,0," & aux_dist(58) + aux_dist(56) * i & ",0" & vbCrLf)

```

```

908      Print(2, "ELSCALE," & num_elements(13) + 1 & "," & num_elements(15) &
",1,0,1," & aux_dist(57) & ",1,0," & aux_dist(58) + aux_dist(56) * i & ",0" & vbCrLf)
909      Print(2, "ELSCALE," & num_elements(17) + 1 & "," & num_elements(18) &
",1,0,1," & aux_dist(57) & ",1,0," & aux_dist(58) + aux_dist(56) * i & ",0" & vbCrLf)
910      Next
911      num_elements(37) = num_elements(36) + num_elements(34) * aux_NEL(5)
912      Print(2, "C* Number of elements: " & num_elements(37) & vbCrLf)

913      aux_dist(59) = aux_dist(23) - (vY(5) + (1 - lig(4)) * vY(2))
914      aux_dist(60) = aux_dist(59) / aux_NEL(6)
915      aux_dist(61) = aux_dist(60) / aux_dist(37)
916      aux_dist(62) = aux_dist(58) + aux_dist(56) * aux_NEL(5)
917      For i = 0 To aux_NEL(6) - 1
918          Print(2, "ELSCALE," & num_elements(12) + 1 & "," & num_elements(13) &
",1,0,1," & aux_dist(61) & ",1,0," & aux_dist(62) + aux_dist(60) * i & ",0" & vbCrLf)
919          Print(2, "ELSCALE," & num_elements(13) + 1 & "," & num_elements(15) &
",1,0,1," & aux_dist(61) & ",1,0," & aux_dist(62) + aux_dist(60) * i & ",0" & vbCrLf)
920          Print(2, "ELSCALE," & num_elements(17) + 1 & "," & num_elements(18) &
",1,0,1," & aux_dist(61) & ",1,0," & aux_dist(62) + aux_dist(60) * i & ",0" & vbCrLf)
921      Next
922      num_elements(38) = num_elements(37) + num_elements(34) * aux_NEL(6)
923      Print(2, "C* Number of elements: " & num_elements(38) & vbCrLf)

924      aux_dist(63) = vY(1) - vY(4) - vY(7)
925      aux_dist(64) = aux_dist(63) / NEL4
926      aux_dist(65) = aux_dist(64) / aux_dist(37)
927      aux_dist(66) = aux_dist(62) + aux_dist(60) * aux_NEL(6)
928      For i = 0 To NEL4 - 1
929          Print(2, "ELSCALE," & num_elements(12) + 1 & "," & num_elements(13) &
",1,0,1," & aux_dist(65) & ",1,0," & aux_dist(66) + aux_dist(64) * i & ",0" & vbCrLf)
930          Print(2, "ELSCALE," & num_elements(13) + 1 & "," & num_elements(15) &
",1,0,1," & aux_dist(65) & ",1,0," & aux_dist(66) + aux_dist(64) * i & ",0" & vbCrLf)
931          Print(2, "ELSCALE," & num_elements(17) + 1 & "," & num_elements(18) &
",1,0,1," & aux_dist(65) & ",1,0," & aux_dist(66) + aux_dist(64) * i & ",0" & vbCrLf)
932      Next
933      num_elements(39) = num_elements(38) + num_elements(34) * NEL4
934      Print(2, "C* Number of elements: " & num_elements(39) & vbCrLf)

935      aux_dist(67) = vY(7)
936      aux_dist(68) = aux_dist(67) / NEL5
937      aux_dist(69) = aux_dist(68) / aux_dist(37)
938      aux_dist(70) = aux_dist(66) + aux_dist(64) * NEL4
939      For i = 0 To NEL5 - 1
940          Print(2, "ELSCALE," & num_elements(12) + 1 & "," & num_elements(13) &
",1,0,1," & aux_dist(69) & ",1,0," & aux_dist(70) + aux_dist(68) * i & ",0" & vbCrLf)
941          Print(2, "ELSCALE," & num_elements(13) + 1 & "," & num_elements(15) &
",1,0,1," & aux_dist(69) & ",1,0," & aux_dist(70) + aux_dist(68) * i & ",0" & vbCrLf)
942          Print(2, "ELSCALE," & num_elements(17) + 1 & "," & num_elements(18) &
",1,0,1," & aux_dist(69) & ",1,0," & aux_dist(70) + aux_dist(68) * i & ",0" & vbCrLf)
943      Next
944      num_elements(40) = num_elements(39) + num_elements(34) * NEL5
945      Print(2, "C* Number of elements: " & num_elements(40) & vbCrLf)

946      Print(2, " " & vbCrLf)
947      Print(2, "C* Merge and compress (5)" & vbCrLf)
948      Print(2, "PARASSIGN,num_nodes8,INT,ndmax" & vbCrLf)
949      Print(2, "NMERGE,1,ndmax,1,0.001,0,1,0" & vbCrLf)
950      Print(2, "NCOMPRESS,1,ndmax" & vbCrLf)
951      Print(2, "PARASSIGN,num_nodes9,INT,ndmax" & vbCrLf)
952      Print(2, "NMODIFY,1,num_nodes1,1,1,0,-20,0,0" & vbCrLf)
953      Print(2, "NMODIFY,num_nodes3+1,num_nodes7,1,1,20,0,0,0" & vbCrLf)

954      Print(2, "C* " & vbCrLf)

```

```

955     Print(2, "C* Merge and compress nodes of the uncracked region on the crack
plane " & vbCrLf)
956     Print(2, "INITSEL,ND,1,1" & vbCrLf)
957     Print(2, "SELREF,ND,VL,1,200,10" & vbCrLf)
958     Print(2, "SELREF,ND,VL,10,200,10" & vbCrLf)
959     Print(2, "SELREF,ND,VL,201,400,10" & vbCrLf)
960     Print(2, "SELREF,ND,VL,210,400,10" & vbCrLf)
961     Print(2, "SELREF,ND,VL,401,600,10" & vbCrLf)
962     Print(2, "SELREF,ND,VL,410,600,10" & vbCrLf)
963     Print(2, "SELREF,ND,VL,601,940,11" & vbCrLf)
964     Print(2, "SELREF,ND,VL,611,940,11" & vbCrLf)
965     Print(2, "SELREF,ND,VL,1141,1160,1" & vbCrLf)
966     Print(2, "SELREF,ND,VL,1181,1200,1" & vbCrLf)
967     Print(2, "NMERGE,1,ndmax,1,0.001,0,1,0" & vbCrLf)
968     Print(2, "NCOMPRESS,1,ndmax" & vbCrLf)

969     Print(2, "C* " & vbCrLf)
970     Print(2, "C* Merge and compress nodes of the bonded region of the welding " &
vbCrLf)
971     Print(2, "ACTSET,CS,0" & vbCrLf)
972     Print(2, "INITSEL,ND,1,1" & vbCrLf)
973     Print(2, "SELRANGE,ND,0,1,1,1,-0.0001,0.0001," & vY(1) + vY(2) - lig(1) *
vY(2) - 0.001 & "," & vY(1) + vY(2) + vY(5) - 0.005 & ",-0.001" & "," & vZ(1) + 0.001 &
",1" & vbCrLf)
974     Print(2, "SELRANGE,ND,0,1,1,1,-0.0001, 0.0001," & vY(1) - vY(4) - 0.001 & ","
& vY(1) + lig(2) * vY(2) + 0.001 & ",-0.001" & "," & vZ(1) + 0.001 & ",1" & vbCrLf)
975     Print(2, "NMERGE,1,ndmax,1,0.001,0,1,0" & vbCrLf)
976     Print(2, "NCOMPRESS,1,ndmax" & vbCrLf)
' mid-side radial nodes moved to quarter-point positions
977     Print(2, " " & vbCrLf)
978     Print(2, "C* Mid-side radial nodes moved to quarter-point positions " &
vbCrLf)
979     aux_dist(72) = (DistL1a / Math.Cos(weld_angle(1)))
980     Print(2, "C* aux_dist(72) " & aux_dist(72) & vbCrLf)
981     For i = 1 To ncfp - 1
982         Print(2, "INITSEL,ND,1,1" & vbCrLf)
983         Print(2, "CSANGL,3,1," & x(i) & "," & vY(1) + vY(2) + vY(5) & "," & z(i)
& ",0," & angle(i) & ",0,0" & vbCrLf)
984         Print(2, "SELRANGE,ND,3,1,1,1," & 0.5 * DistL1a - 0.0001 & "," & 0.5 *
DistL1a + 0.0001 & ",0,360,-0.0001,0.0001,1" & vbCrLf)
985         Print(2, "NMODIFY," & 1 & ",ndmax,1,1," & -0.25 * DistL1a & ",0,0,3" &
vbCrLf)
986     Next

987     For i = 1 To 10
988         Print(2, "CSYS,10,0," & ncfp & "," & 100 + 10 * (ncfp - 1) + i & "," &
(ncfp - 1) & vbCrLf)
989         Print(2, "INITSEL,ND,1,1" & vbCrLf)
990         If 36 * (i - 1) > 180 Then
991             Print(2, "SELRANGE,ND,10,1,1,1," & 0.4 * aux_dist(72) & "," & 0.6 *
aux_dist(72) & ",-0.001,0.001,-0.001,0.001,1" & vbCrLf)
992             Print(2, "NMODIFY," & 1 & ",ndmax,1,1," & -0.25 * aux_dist(72) &
",0,0,10" & vbCrLf)
993         Else
994             Print(2, "SELRANGE,ND,10,1,1,1," & (0.5 * DistL1a) - 0.001 & "," &
(0.5 * DistL1a) + 0.001 & ",-0.001,0.001,-0.001,0.001,1" & vbCrLf)
995             Print(2, "NMODIFY," & 1 & ",ndmax,1,1," & -0.25 * DistL1a & ",0,0,10"
& vbCrLf)
996         End If
997     Next

'seleção dos nós da zona a ligar (ajuda)
998     Print(2, "C* nós da zona a ligar" & vbCrLf)

```



```

999      Print(2, "c* INITSEL,ND,1,1" & vbCrLf)
1000     Print(2, "c* SELRANGE,ND,0,1,1,1,-0.0001,0.0001," & vY(1) - vY(4) - 0.001 &
", " & vY(1) + vY(2) + vY(5) + 0.001 & ",-0.001" & ", " & vZ(1) + 0.001 & ",1" & vbCrLf)

'seleção do plano da fenda (ajuda)
1001     Print(2, "c* nós do plano da fenda" & vbCrLf)
1002     Print(2, "c* INITSEL,ND,1,1" & vbCrLf)
1003     Print(2, "c* SELRANGE,ND,0,1,1,1,-0.0001," & vX(1) + 0.0001 & ", " & vY(1) +
vY(2) + vY(5) - 0.001 & ", " & vY(1) + vY(2) + vY(5) + 0.001 & ",-0.001" & ", " & vZ(1) +
0.001 & ",1" & vbCrLf)

'seleção de todo o modelo (ajuda)
1004     Print(2, "C* nós de todo o modelo" & vbCrLf)
1005     Print(2, "c* INITSEL,all,1,1" & vbCrLf)
1006     Print(2, "c* SELRANGE,all,0,1,1,1," & -vX(2) - 0.0001 & ", " & vX(1) + 0.0001
& ",-0.001," & vY(1) + vY(2) + vY(3) + 0.001 & ",-0.001" & ", " & vZ(1) + 0.001 & ",1" &
vbCrLf)

'symmetry plane
1007     If SYM = 1 Then
1008         Print(2, "C* Symmetry plane (surface crack centred on the cross-section
" & vbCrLf)
1009         Print(2, "INITSEL,ND,1,1" & vbCrLf)
1010         Print(2, "SELRANGE,ND,0,1,1,1," & -vX(2) - 0.0001 & ", " & vX(1) + 0.0001
& ",-0.001," & vY(1) + vY(2) + vY(3) + 0.001 & ",-0.001" & ", " & 0.001 & ",1" & vbCrLf)
1011         Print(2, "DND,1,SZ,0,NDMAX,1,;" & vbCrLf)
1012     Else
1013         Print(2, "C* Corner crack (no symmetry plane) " & vbCrLf)

1014     End If

'loading and boundary conditions
1015     Print(2, "ACTSET,CS,0" & vbCrLf)
1016     If LDT = 1 Then
1017         Print(2, " " & vbCrLf)
1018         Print(2, "C* Load case 1 " & vbCrLf)
1019         Print(2, "C* Boundary conditions " & vbCrLf)
1020         Print(2, "INITSEL,ND,1,1" & vbCrLf)
1021         Print(2, "SELRANGE,ND,0,1,1,1," & -0.001 & ", " & 0.001 & ", " & -0.001 &
", " & vY(7) + 0.001 & ",-0.001," & vZ(1) + 0.001 & ",1" & vbCrLf)
1022         Print(2, "SELRANGE,ND,0,1,1,1," & vX(1) - 0.001 & ", " & vX(1) + 0.001 &
", " & -0.001 & ", " & vY(7) + 0.001 & ",-0.001," & vZ(1) + 0.001 & ",1" & vbCrLf)
1023         Print(2, "DND,1,AU,0,NDMAX,1,;" & vbCrLf)

1024         appForce = Fmax / 4
1025         Print(2, " " & vbCrLf)
1026         Print(2, "C* Loading " & vbCrLf)
1027         Print(2, "INITSEL,ND,1,1" & vbCrLf)
1028         Print(2, "SELRANGE,ND,0,1,1,1," & -0.0001 & ", " & 0.001 & ", " & vY(1) +
vY(2) + vY(3) - 0.001 & ", " & vY(1) + vY(2) + vY(3) + 0.001 & ",-0.0001,0.0001,1" &
vbCrLf)
1029         Print(2, "SELRANGE,ND,0,1,1,1," & vX(1) - 0.0001 & ", " & vX(1) + 0.001 &
", " & vY(1) + vY(2) + vY(3) - 0.001 & ", " & vY(1) + vY(2) + vY(3) + 0.001 & ",-
0.0001,0.0001,1" & vbCrLf)
1030         Print(2, "SELRANGE,ND,0,1,1,1," & -0.0001 & ", " & 0.001 & ", " & vY(1) +
vY(2) + vY(3) - 0.001 & ", " & vY(1) + vY(2) + vY(3) + 0.001 & ", " & vZ(1) - 0.0001 &
", " & vZ(1) + 0.0001 & ",1" & vbCrLf)
1031         Print(2, "SELRANGE,ND,0,1,1,1," & vX(1) - 0.0001 & ", " & vX(1) + 0.001 &
", " & vY(1) + vY(2) + vY(3) - 0.001 & ", " & vY(1) + vY(2) + vY(3) + 0.001 & ", " &
vZ(1) - 0.0001 & ", " & vZ(1) + 0.0001 & ",1" & vbCrLf)
1032         Print(2, "FND,1,FY," & appForce & ",NDMAX,1" & vbCrLf)

1033     ElseIf LDT = 2 Then

```

```

1034      Print(2, " " & vbCrLf)
1035      Print(2, "C* Load case 2 " & vbCrLf)
1036      Print(2, "C* Boundary conditions " & vbCrLf)
1037      Print(2, "INITSEL,ND,1,1" & vbCrLf)
1038      Print(2, "SELRANGE,ND,0,1,1,1," & -0.001 & "," & 0.001 & "," & -0.001 &
", " & vY(7) + 0.001 & ", -0.001," & vZ(1) + 0.001 & ",1" & vbCrLf)
1039      Print(2, "SELRANGE,ND,0,1,1,1," & vX(1) - 0.001 & "," & vX(1) + 0.001 &
", " & -0.001 & ", " & vY(7) + 0.001 & ", -0.001," & vZ(1) + 0.001 & ",1" & vbCrLf)
1040      Print(2, "DND,1,AU,0,NDMAX,1, ;" & vbCrLf)

1041      appForce = Fmax / ((2 * NEL5 + 1) * 4)
1042      Print(2, " " & vbCrLf)
1043      Print(2, "C* Loading definitions " & vbCrLf)
1044      Print(2, "INITSEL,ND,1,1" & vbCrLf)
1045      Print(2, "SELRANGE,ND,0,1,1,1," & -0.0001 & "," & 0.001 & ", " & vY(1) +
vY(2) + vY(3) - vY(6) - 0.001 & ", " & vY(1) + vY(2) + vY(3) + 0.001 & "," & vZ(1) -
0.0001 & ", " & vZ(1) + 0.0001 & ",1" & vbCrLf)
1046      Print(2, "SELRANGE,ND,0,1,1,1," & -0.0001 & "," & 0.001 & ", " & vY(1) +
vY(2) + vY(3) - vY(6) - 0.001 & ", " & vY(1) + vY(2) + vY(3) + 0.001 & ", -
0.0001,0.0001,1" & vbCrLf)
1047      Print(2, "SELRANGE,ND,0,1,1,1," & vX(1) - 0.0001 & "," & vX(1) + 0.001 &
", " & vY(1) + vY(2) + vY(3) - vY(6) - 0.001 & ", " & vY(1) + vY(2) + vY(3) + 0.001 &
", " & vZ(1) - 0.0001 & ", " & vZ(1) + 0.0001 & ",1" & vbCrLf)
1048      Print(2, "SELRANGE,ND,0,1,1,1," & vX(1) - 0.0001 & "," & vX(1) + 0.001 &
", " & vY(1) + vY(2) + vY(3) - vY(6) - 0.001 & ", " & vY(1) + vY(2) + vY(3) + 0.001 &
", -0.0001,0.0001,1" & vbCrLf)
1049      Print(2, "FND,1,FY," & appForce & ",NDMAX,1" & vbCrLf)

1050      ElseIf LDT = 3 Then
1051      Print(2, " " & vbCrLf)
1052      Print(2, "C* Load case 3 " & vbCrLf)
1053      Print(2, "C* Boundary conditions " & vbCrLf)
1054      Print(2, "INITSEL,ND,1,1" & vbCrLf)
1055      Print(2, "SELRANGE,ND,0,1,1,1," & -0.001 & "," & 0.001 & "," & -0.001 &
", " & vY(7) + 0.001 & ", -0.001," & vZ(1) + 0.001 & ",1" & vbCrLf)
1056      Print(2, "SELRANGE,ND,0,1,1,1," & vX(1) - 0.001 & "," & vX(1) + 0.001 &
", " & -0.001 & ", " & vY(7) + 0.001 & ", -0.001," & vZ(1) + 0.001 & ",1" & vbCrLf)
1057      Print(2, "DND,1,AU,0,NDMAX,1, ;" & vbCrLf)

1058      appForce = Fmax / 4
1059      Print(2, " " & vbCrLf)
1060      Print(2, "C* Loading " & vbCrLf)
1061      Print(2, "INITSEL,ND,1,1" & vbCrLf)
1062      Print(2, "SELRANGE,ND,0,1,1,1," & -0.0001 & "," & 0.001 & ", " & vY(1) +
vY(2) + vY(3) - 0.001 & ", " & vY(1) + vY(2) + vY(3) + 0.001 & ", -0.0001,0.0001,1" &
vbCrLf)
1063      Print(2, "SELRANGE,ND,0,1,1,1," & -0.0001 & "," & 0.001 & ", " & vY(1) +
vY(2) + vY(3) - 0.001 & ", " & vY(1) + vY(2) + vY(3) + 0.001 & ", " & vZ(1) - 0.0001 &
", " & vZ(1) + 0.0001 & ",1" & vbCrLf)
1064      Print(2, "FND,1,FX," & appForce & ",NDMAX,1" & vbCrLf)

1065      ElseIf LDT = 4 Then
1066      Print(2, " " & vbCrLf)
1067      Print(2, "C* Load case 4 " & vbCrLf)
1068      Print(2, "C* Boundary conditions " & vbCrLf)
1069      Print(2, "INITSEL,ND,1,1" & vbCrLf)
1070      Print(2, "SELRANGE,ND,0,1,1,1," & -0.001 & "," & 0.001 & "," & -0.001 &
", " & vY(7) + 0.001 & ", -0.001," & vZ(1) + 0.001 & ",1" & vbCrLf)
1071      Print(2, "SELRANGE,ND,0,1,1,1," & vX(1) - 0.001 & "," & vX(1) + 0.001 &
", " & -0.001 & ", " & vY(7) + 0.001 & ", -0.001," & vZ(1) + 0.001 & ",1" & vbCrLf)
1072      Print(2, "DND,1,AU,0,NDMAX,1, ;" & vbCrLf)

1073      appForce = Fmax / ((2 * NEL5 + 1) * 2)

```

```

1074         Print(2, " " & vbCrLf)
1075         Print(2, "C* Loading definitions " & vbCrLf)
1076         Print(2, "INITSEL,ND,1,1" & vbCrLf)
1077         Print(2, "SELRANGE,ND,0,1,1,1," & -0.0001 & "," & 0.001 & "," & vY(1) +
vY(2) + vY(3) - vY(6) - 0.001 & "," & vY(1) + vY(2) + vY(3) + 0.001 & "," & vZ(1) -
0.0001 & "," & vZ(1) + 0.0001 & ",1" & vbCrLf)
1078         Print(2, "SELRANGE,ND,0,1,1,1," & -0.0001 & "," & 0.001 & "," & vY(1) +
vY(2) + vY(3) - vY(6) - 0.001 & "," & vY(1) + vY(2) + vY(3) + 0.001 & ",-
0.0001,0.0001,1" & vbCrLf)
1079         Print(2, "FND,1,FX," & appForce & ",NDMAX,1" & vbCrLf)

1080     ElseIf LDT = 5 Then
1081         Print(2, " " & vbCrLf)
1082         Print(2, "C* Load case 5 " & vbCrLf)
1083         Print(2, "C* Boundary conditions " & vbCrLf)
1084         Print(2, "INITSEL,ND,1,1" & vbCrLf)
1085         Print(2, "SELRANGE,ND,0,1,1,1," & -0.001 & "," & 0.001 & "," & -0.001 &
"," & vY(7) + 0.001 & ",-0.001," & vZ(1) + 0.001 & ",1" & vbCrLf)
1086         Print(2, "SELRANGE,ND,0,1,1,1," & vX(1) - 0.001 & "," & vX(1) + 0.001 &
"," & -0.001 & "," & vY(7) + 0.001 & ",-0.001," & vZ(1) + 0.001 & ",1" & vbCrLf)
1087         Print(2, "DND,1,AU,0,NDMAX,1,;" & vbCrLf)

1088         appForce = Fmax / 4
1089         Print(2, " " & vbCrLf)
1090         Print(2, "C* Loading " & vbCrLf)
1091         Print(2, "INITSEL,ND,1,1" & vbCrLf)
1092         Print(2, "SELRANGE,ND,0,1,1,1," & -0.0001 & "," & 0.001 & "," & vY(1) +
vY(2) + vY(3) - 0.001 & "," & vY(1) + vY(2) + vY(3) + 0.001 & ",-0.0001,0.0001,1" &
vbCrLf)
1093         Print(2, "SELRANGE,ND,0,1,1,1," & -0.0001 & "," & 0.001 & "," & vY(1) +
vY(2) + vY(3) - 0.001 & "," & vY(1) + vY(2) + vY(3) + 0.001 & "," & vZ(1) - 0.0001 &
"," & vZ(1) + 0.0001 & ",1" & vbCrLf)
1094         Print(2, "FND,1,FZ," & appForce & ",NDMAX,1" & vbCrLf)

1095     ElseIf LDT = 6 Then
1096         Print(2, " " & vbCrLf)
1097         Print(2, "C* Load case 6 " & vbCrLf)
1098         Print(2, "C* Boundary conditions " & vbCrLf)
1099         Print(2, "INITSEL,ND,1,1" & vbCrLf)
1100         Print(2, "SELRANGE,ND,0,1,1,1," & -0.001 & "," & 0.001 & "," & -0.001 &
"," & vY(7) + 0.001 & ",-0.001," & vZ(1) + 0.001 & ",1" & vbCrLf)
1101         Print(2, "SELRANGE,ND,0,1,1,1," & vX(1) - 0.001 & "," & vX(1) + 0.001 &
"," & -0.001 & "," & vY(7) + 0.001 & ",-0.001," & vZ(1) + 0.001 & ",1" & vbCrLf)
1102         Print(2, "DND,1,AU,0,NDMAX,1,;" & vbCrLf)

1103         appForce = Fmax / ((2 * NEL5 + 1) * 2)
1104         Print(2, " " & vbCrLf)
1105         Print(2, "C* Loading definitions " & vbCrLf)
1106         Print(2, "INITSEL,ND,1,1" & vbCrLf)
1107         Print(2, "SELRANGE,ND,0,1,1,1," & -0.0001 & "," & 0.001 & "," & vY(1) +
vY(2) + vY(3) - vY(6) - 0.001 & "," & vY(1) + vY(2) + vY(3) + 0.001 & "," & vZ(1) -
0.0001 & "," & vZ(1) + 0.0001 & ",1" & vbCrLf)
1108         Print(2, "SELRANGE,ND,0,1,1,1," & vX(1) - 0.0001 & "," & vX(1) + 0.001 &
"," & vY(1) + vY(2) + vY(3) - vY(6) - 0.001 & "," & vY(1) + vY(2) + vY(3) + 0.001 &
"," & vZ(1) - 0.0001 & "," & vZ(1) + 0.0001 & ",1" & vbCrLf)
1109         Print(2, "FND,1,FZ," & appForce & ",NDMAX,1" & vbCrLf)

1110     ElseIf LDT = 7 Then
1111         Print(2, " " & vbCrLf)
1112         Print(2, "C* Load case 7 " & vbCrLf)
1113         Print(2, "C* Boundary conditions " & vbCrLf)
1114         Print(2, "INITSEL,ND,1,1" & vbCrLf)

```

```

1115      Print(2, "SELRANGE,ND,0,1,1,1," & -0.001 & "," & 0.001 & "," & -0.001 &
"," & vY(7) + 0.001 & ",-0.001," & vZ(1) + 0.001 & ",1" & vbCrLf)
1116      Print(2, "SELRANGE,ND,0,1,1,1," & vX(1) - 0.001 & "," & vX(1) + 0.001 &
"," & -0.001 & "," & vY(7) + 0.001 & ",-0.001," & vZ(1) + 0.001 & ",1" & vbCrLf)
1117      Print(2, "DND,1,AU,0,NDMAX,1,;" & vbCrLf)

1118      appForce = Fmax / 2
1119      Print(2, " " & vbCrLf)
1120      Print(2, "C* Loading " & vbCrLf)
1121      Print(2, "INITSEL,ND,1,1" & vbCrLf)
1122      Print(2, "SELRANGE,ND,0,1,1,1," & -0.0001 & "," & 0.001 & "," & vY(1) +
vY(2) + vY(3) - 0.001 & ", " & vY(1) + vY(2) + vY(3) + 0.001 & ",-0.0001,0.0001,1" &
vbCrLf)
1123      Print(2, "SELRANGE,ND,0,1,1,1," & vX(1) - 0.0001 & "," & vX(1) + 0.001 &
", " & vY(1) + vY(2) + vY(3) - 0.001 & ", " & vY(1) + vY(2) + vY(3) + 0.001 & ",-
0.0001,0.0001,1" & vbCrLf)
1124      Print(2, "FND,1,FY," & appForce & ",NDMAX,1" & vbCrLf)

1125      ElseIf LDT = 8 Then
1126      Print(2, " " & vbCrLf)
1127      Print(2, "C* Load case 8 " & vbCrLf)
1128      Print(2, "C* Boundary conditions " & vbCrLf)
1129      Print(2, "INITSEL,ND,1,1" & vbCrLf)
1130      Print(2, "SELRANGE,ND,0,1,1,1," & -0.001 & "," & 0.001 & "," & -0.001 &
"," & vY(7) + 0.001 & ",-0.001," & vZ(1) + 0.001 & ",1" & vbCrLf)
1131      Print(2, "SELRANGE,ND,0,1,1,1," & vX(1) - 0.001 & "," & vX(1) + 0.001 &
"," & -0.001 & "," & vY(7) + 0.001 & ",-0.001," & vZ(1) + 0.001 & ",1" & vbCrLf)
1132      Print(2, "DND,1,AU,0,NDMAX,1,;" & vbCrLf)

1133      appForce = Fmax / 2
1134      Print(2, " " & vbCrLf)
1135      Print(2, "C* Loading " & vbCrLf)
1136      Print(2, "INITSEL,ND,1,1" & vbCrLf)
1137      Print(2, "SELRANGE,ND,0,1,1,1," & -0.0001 & "," & 0.001 & "," & vY(1) +
vY(2) + vY(3) - 0.001 & ", " & vY(1) + vY(2) + vY(3) + 0.001 & ",-0.0001,0.0001,1" &
vbCrLf)
1138      Print(2, "SELRANGE,ND,0,1,1,1," & -0.0001 & "," & 0.001 & "," & vY(1) +
vY(2) + vY(3) - 0.001 & ", " & vY(1) + vY(2) + vY(3) + 0.001 & ", " & vZ(1) - 0.0001 &
", " & vZ(1) + 0.0001 & ",1" & vbCrLf)
1139      Print(2, "FND,1,FY," & appForce & ",NDMAX,1" & vbCrLf)

1140      ElseIf LDT = 9 Then
1141      Print(2, " " & vbCrLf)
1142      Print(2, "C* Load case 9 " & vbCrLf)
1143      Print(2, "C* Boundary conditions " & vbCrLf)
1144      Print(2, "INITSEL,ND,1,1" & vbCrLf)
1145      Print(2, "SELRANGE,ND,0,1,1,1," & -0.001 & "," & 0.001 & "," & -0.001 &
"," & vY(7) + 0.001 & ",-0.001," & vZ(1) + 0.001 & ",1" & vbCrLf)
1146      Print(2, "SELRANGE,ND,0,1,1,1," & vX(1) - 0.001 & "," & vX(1) + 0.001 &
"," & -0.001 & "," & vY(7) + 0.001 & ",-0.001," & vZ(1) + 0.001 & ",1" & vbCrLf)
1147      Print(2, "DND,1,AU,0,NDMAX,1,;" & vbCrLf)

1148      appForce = Fmax
1149      Print(2, " " & vbCrLf)
1150      Print(2, "C* Loading " & vbCrLf)
1151      Print(2, "INITSEL,ND,1,1" & vbCrLf)
1152      Print(2, "SELRANGE,ND,0,1,1,1," & -0.0001 & "," & 0.001 & "," & vY(1) +
vY(2) + vY(3) - 0.001 & ", " & vY(1) + vY(2) + vY(3) + 0.001 & ",-0.0001,0.0001,1" &
vbCrLf)
1153      Print(2, "FND,1,FY," & appForce & ",NDMAX,1" & vbCrLf)

1154      ElseIf LDT = 10 Then
1155      Print(2, " " & vbCrLf)

```

```

1156         Print(2, "C* Load case 10 (3-point bending) " & vbCrLf)
1157         Print(2, "C* Fixed support (translations restrained)" & vbCrLf)
1158         Print(2, "ACTSET,CS,0" & vbCrLf)
1159         Print(2, "INITSEL,ND,1,1" & vbCrLf)
1160         Print(2, "SELRANGE,ND,0,1,1,1," & vX(1) - 0.001 & "," & vX(1) + 0.001 &
", " & vY(7) - 0.001 & "," & vY(7) + 0.001 & ",-0.001," & vZ(1) + 0.001 & ",1" & vbCrLf)
1161         Print(2, "DND,1,AU,0,NDMAX,1,;" & vbCrLf)
1162         Print(2, "C* Simple support" & vbCrLf)
1163         Print(2, "ACTSET,CS,0" & vbCrLf)
1164         Print(2, "INITSEL,ND,1,1" & vbCrLf)
1165         Print(2, "SELRANGE,ND,0,1,1,1," & vX(1) - 0.001 & "," & vX(1) + 0.001 &
", " & vY(1) + vY(2) + vY(3) - vY(6) - 0.001 & "," & vY(1) + vY(2) + vY(3) - vY(6) +
0.001 & ",-0.001," & vZ(1) + 0.001 & ",1" & vbCrLf)
1166         Print(2, "DND,1,UX,0,NDMAX,1,;" & vbCrLf)

1167         appForce = Fmax / 4
1168         Print(2, " " & vbCrLf)
1169         Print(2, "C* Loading definitions " & vbCrLf)
1170         Print(2, "INITSEL,ND,1,1" & vbCrLf)
1171         Print(2, "SELRANGE,ND,0,1,1,1," & -vX(2) - 0.0001 & "," & -vX(2) + 0.001
& ", " & vY(1) - 0.001 & ", " & vY(1) + 0.001 & ",-0.0001,0.0001,1" & vbCrLf)
1172         Print(2, "SELRANGE,ND,0,1,1,1," & -vX(2) - 0.0001 & "," & -vX(2) + 0.001
& ", " & vY(1) + vY(2) - 0.001 & ", " & vY(1) + vY(2) + 0.001 & ",-0.0001,0.0001,1" &
vbCrLf)
1173         Print(2, "SELRANGE,ND,0,1,1,1," & -vX(2) - 0.0001 & "," & -vX(2) + 0.001
& ", " & vY(1) - 0.001 & ", " & vY(1) + 0.001 & ", " & vZ(1) - 0.0001 & ", " & vZ(1) +
0.0001 & ",1" & vbCrLf)
1174         Print(2, "SELRANGE,ND,0,1,1,1," & -vX(2) - 0.0001 & "," & -vX(2) + 0.001
& ", " & vY(1) + vY(2) - 0.001 & ", " & vY(1) + vY(2) + 0.001 & ", " & vZ(1) - 0.0001 &
", " & vZ(1) + 0.0001 & ",1" & vbCrLf)
1175         Print(2, "FND,1,FX," & appForce & ",NDMAX,1" & vbCrLf)

1176     ElseIf LDT = 11 Then
1177         Print(2, " " & vbCrLf)
1178         Print(2, "C* Load case 11 (3-point bending) " & vbCrLf)
1179         Print(2, "C* Fixed support (translations restrained)" & vbCrLf)
1180         Print(2, "ACTSET,CS,0" & vbCrLf)
1181         Print(2, "INITSEL,ND,1,1" & vbCrLf)
1182         Print(2, "SELRANGE,ND,0,1,1,1," & vX(1) - 0.001 & "," & vX(1) + 0.001 &
", " & vY(7) - 0.001 & "," & vY(7) + 0.001 & ",-0.001," & vZ(1) + 0.001 & ",1" & vbCrLf)
1183         Print(2, "DND,1,AU,0,NDMAX,1,;" & vbCrLf)
1184         Print(2, "C* Simple support" & vbCrLf)
1185         Print(2, "ACTSET,CS,0" & vbCrLf)
1186         Print(2, "INITSEL,ND,1,1" & vbCrLf)
1187         Print(2, "SELRANGE,ND,0,1,1,1," & vX(1) - 0.001 & "," & vX(1) + 0.001 &
", " & vY(1) + vY(2) + vY(3) - vY(6) - 0.001 & "," & vY(1) + vY(2) + vY(3) - vY(6) +
0.001 & ",-0.001," & vZ(1) + 0.001 & ",1" & vbCrLf)
1188         Print(2, "DND,1,UX,0,NDMAX,1,;" & vbCrLf)

1189         appForce = Fmax / ((2 * ((ncfp - 1) + 3 + NEL3) + 1) * 2)
1190         Print(2, " " & vbCrLf)
1191         Print(2, "C* Loading definitions " & vbCrLf)
1192         Print(2, "INITSEL,ND,1,1" & vbCrLf)
1193         Print(2, "SELRANGE,ND,0,1,1,1," & -vX(2) - 0.0001 & "," & -vX(2) + 0.001
& ", " & vY(1) - 0.001 & ", " & vY(1) + 0.001 & ", " & -0.0001 & ", " & vZ(1) + 0.0001 &
",1" & vbCrLf)
1194         Print(2, "SELRANGE,ND,0,1,1,1," & -vX(2) - 0.0001 & "," & -vX(2) + 0.001
& ", " & vY(1) + vY(2) - 0.001 & ", " & vY(1) + vY(2) + 0.001 & ", " & -0.0001 & ", " &
vZ(1) + 0.0001 & ",1" & vbCrLf)
1195         Print(2, "FND,1,FX," & appForce & ",NDMAX,1" & vbCrLf)

1196     ElseIf LDT = 12 Then
1197         Print(2, " " & vbCrLf)

```

```

1198         Print(2, "C* Load case 12 (3-point bending) " & vbCrLf)
1199         Print(2, "C* Fixed support (translations restrained)" & vbCrLf)
1200         Print(2, "ACTSET,CS,0" & vbCrLf)
1201         Print(2, "INITSEL,ND,1,1" & vbCrLf)
1202         Print(2, "SELRANGE,ND,0,1,1,1," & vX(1) - 0.001 & "," & vX(1) + 0.001 &
", " & vY(7) - 0.001 & "," & vY(7) + 0.001 & ",-0.001," & vZ(1) + 0.001 & ",1" & vbCrLf)
1203         Print(2, "DND,1,AU,0,NDMAX,1,;" & vbCrLf)
1204         Print(2, "C* Simple support" & vbCrLf)
1205         Print(2, "ACTSET,CS,0" & vbCrLf)
1206         Print(2, "INITSEL,ND,1,1" & vbCrLf)
1207         Print(2, "SELRANGE,ND,0,1,1,1," & vX(1) - 0.001 & "," & vX(1) + 0.001 &
", " & vY(1) + vY(2) + vY(3) - vY(6) - 0.001 & "," & vY(1) + vY(2) + vY(3) - vY(6) +
0.001 & ",-0.001," & vZ(1) + 0.001 & ",1" & vbCrLf)
1208         Print(2, "DND,1,UX,0,NDMAX,1,;" & vbCrLf)

1209         appForce = Fmax / ((2 * (aux_NEL(3) + aux_NEL(4) + aux_NEL(5) +
aux_NEL(6)) + 1) * 2)
1210         Print(2, " " & vbCrLf)
1211         Print(2, "C* Loading definitions " & vbCrLf)
1212         Print(2, "C* aux_NEL(3) " & aux_NEL(3) & vbCrLf)
1213         Print(2, "C* aux_NEL(4) " & aux_NEL(4) & vbCrLf)
1214         Print(2, "C* aux_NEL(5) " & aux_NEL(5) & vbCrLf)
1215         Print(2, "C* aux_NEL(6) " & aux_NEL(6) & vbCrLf)

1216         Print(2, "INITSEL,ND,1,1" & vbCrLf)
1217         Print(2, "SELRANGE,ND,0,1,1,1," & -vX(2) - 0.0001 & "," & -vX(2) + 0.001
& ", " & vY(1) - 0.001 & ", " & vY(1) + vY(2) + 0.001 & ", " & -0.0001 & ", " & 0.0001 &
",1" & vbCrLf)
1218         Print(2, "SELRANGE,ND,0,1,1,1," & -vX(2) - 0.0001 & "," & -vX(2) + 0.001
& ", " & vY(1) - 0.001 & ", " & vY(1) + vY(2) + 0.001 & ", " & vZ(1) - 0.0001 & ", " &
vZ(1) + 0.0001 & ",1" & vbCrLf)
1219         Print(2, "FND,1,FX," & appForce & ",NDMAX,1" & vbCrLf)

1220     ElseIf LDT = 13 Then
1221         Print(2, " " & vbCrLf)
1222         Print(2, "C* Load case 13 (3-point bending) " & vbCrLf)
1223         Print(2, "C* Fixed support (translations restrained)" & vbCrLf)
1224         Print(2, "ACTSET,CS,0" & vbCrLf)
1225         Print(2, "INITSEL,ND,1,1" & vbCrLf)
1226         Print(2, "SELRANGE,ND,0,1,1,1," & vX(1) - 0.001 & "," & vX(1) + 0.001 &
", " & vY(7) - 0.001 & "," & vY(7) + 0.001 & ",-0.001," & vZ(1) + 0.001 & ",1" & vbCrLf)
1227         Print(2, "DND,1,AU,0,NDMAX,1,;" & vbCrLf)
1228         Print(2, "C* Simple support" & vbCrLf)
1229         Print(2, "ACTSET,CS,0" & vbCrLf)
1230         Print(2, "INITSEL,ND,1,1" & vbCrLf)
1231         Print(2, "SELRANGE,ND,0,1,1,1," & vX(1) - 0.001 & "," & vX(1) + 0.001 &
", " & vY(1) + vY(2) + vY(3) - vY(6) - 0.001 & "," & vY(1) + vY(2) + vY(3) - vY(6) +
0.001 & ",-0.001," & vZ(1) + 0.001 & ",1" & vbCrLf)
1232         Print(2, "DND,1,UX,0,NDMAX,1,;" & vbCrLf)

1233         appForce = Fmax / (((2 * (aux_NEL(3) + aux_NEL(4) + aux_NEL(5) +
aux_NEL(6)) + 1) * ((2 * ((ncfp - 1) + 3 + NEL3) + 1))))
1234         Print(2, " " & vbCrLf)
1235         Print(2, "C* Loading definitions " & vbCrLf)
1236         Print(2, "INITSEL,ND,1,1" & vbCrLf)
1237         Print(2, "SELRANGE,ND,0,1,1,1," & -0.0001 - vX(2) & "," & -vX(2) + 0.001
& ", " & vY(1) - 0.001 & ", " & vY(1) + vY(2) + 0.001 & ", " & -0.0001 & ", " & vZ(1) +
0.0001 & ",1" & vbCrLf)
1238         Print(2, "FND,1,FX," & appForce & ",NDMAX,1" & vbCrLf)

1239     ElseIf LDT = 14 Then

1240         Print(2, " " & vbCrLf)

```

```

1241         Print(2, "C* Load case 14 (3-point bending) " & vbCrLf)
1242         Print(2, "C* Fixed support (translations restrained)" & vbCrLf)
1243         Print(2, "ACTSET,CS,0" & vbCrLf)
1244         Print(2, "INITSEL,ND,1,1" & vbCrLf)
1245         Print(2, "SELRANGE,ND,0,1,1,1," & vX(1) - 0.001 & "," & vX(1) + 0.001 &
", " & vY(7) - 0.001 & "," & vY(7) + 0.001 & ",-0.001," & vZ(1) + 0.001 & ",1" & vbCrLf)
1246         Print(2, "DND,1,AU,0,NDMAX,1,;" & vbCrLf)
1247         Print(2, "C* Simple support" & vbCrLf)
1248         Print(2, "ACTSET,CS,0" & vbCrLf)
1249         Print(2, "INITSEL,ND,1,1" & vbCrLf)
1250         Print(2, "SELRANGE,ND,0,1,1,1," & vX(1) - 0.001 & "," & vX(1) + 0.001 &
", " & vY(1) + vY(2) + vY(3) - vY(6) - 0.001 & "," & vY(1) + vY(2) + vY(3) - vY(6) +
0.001 & ",-0.001," & vZ(1) + 0.001 & ",1" & vbCrLf)
1251         Print(2, "DND,1,UX,0,NDMAX,1,;" & vbCrLf)

1252         appForce = Fmax / (node_max + node_max - 1)
1253         Print(2, " " & vbCrLf)
1254         Print(2, "C* Loading " & vbCrLf)
1255         Print(2, "INITSEL,ND,1,1" & vbCrLf)
1256         Print(2, "SELRANGE,ND,0,1,1,1," & vX(1) - 0.0001 & "," & vX(1) + 0.001 &
", " & vY(1) + 0.5 * vY(2) - 0.001 & "," & vY(1) + 0.5 * vY(2) + 0.001 & ",-0.0001," &
vZ(1) + 0.0001 & ",1" & vbCrLf)
1257         Print(2, "FND,1,FX," & appForce & ",NDMAX,1" & vbCrLf)

1258         ElseIf LDT = 15 Then

1259         Print(2, " " & vbCrLf)
1260         Print(2, "C* Load case 15 (3-point bending) " & vbCrLf)
1261         Print(2, "C* Fixed support (translations restrained)" & vbCrLf)
1262         Print(2, "ACTSET,CS,0" & vbCrLf)
1263         Print(2, "INITSEL,ND,1,1" & vbCrLf)
1264         Print(2, "SELRANGE,ND,0,1,1,1," & vX(1) - 0.001 & "," & vX(1) + 0.001 &
", " & vY(7) - 0.001 & "," & vY(7) + 0.001 & ",-0.001," & vZ(1) + 0.001 & ",1" & vbCrLf)
1265         Print(2, "DND,1,AU,0,NDMAX,1,;" & vbCrLf)
1266         Print(2, "C* Simple support" & vbCrLf)
1267         Print(2, "ACTSET,CS,0" & vbCrLf)
1268         Print(2, "INITSEL,ND,1,1" & vbCrLf)
1269         Print(2, "SELRANGE,ND,0,1,1,1," & vX(1) - 0.001 & "," & vX(1) + 0.001 &
", " & vY(1) + vY(2) + vY(3) - vY(6) - 0.001 & "," & vY(1) + vY(2) + vY(3) - vY(6) +
0.001 & ",-0.001," & vZ(1) + 0.001 & ",1" & vbCrLf)
1270         Print(2, "DND,1,UX,0,NDMAX,1,;" & vbCrLf)

1271         appForce = Fmax / 2
1272         Print(2, " " & vbCrLf)
1273         Print(2, "C* Loading " & vbCrLf)
1274         Print(2, "INITSEL,ND,1,1" & vbCrLf)
1275         Print(2, "SELRANGE,ND,0,1,1,1," & vX(1) - 0.0001 & "," & vX(1) + 0.001 &
", " & vY(1) + 0.5 * vY(2) - 0.001 & "," & vY(1) + 0.5 * vY(2) + 0.001 & ",-0.0001," &
0.0001 & ",1" & vbCrLf)
1276         Print(2, "SELRANGE,ND,0,1,1,1," & vX(1) - 0.0001 & "," & vX(1) + 0.001 &
", " & vY(1) + 0.5 * vY(2) - 0.001 & "," & vY(1) + 0.5 * vY(2) + 0.001 & ", " & vZ(1) -
0.0001 & ", " & vZ(1) + 0.0001 & ",1" & vbCrLf)
1277         Print(2, "FND,1,FX," & appForce & ",NDMAX,1" & vbCrLf)

1278         ElseIf LDT = 16 Then

1279         Print(2, " " & vbCrLf)
1280         Print(2, "C* Load case 14 " & vbCrLf)
1281         Print(2, "C* Boundary conditions " & vbCrLf)
1282         Print(2, "INITSEL,ND,1,1" & vbCrLf)
1283         Print(2, "SELRANGE,ND,0,1,1,1," & -0.001 - vX(2) & "," & -vX(2) + 0.001
& ", " & -0.001 & "," & vY(7) + 0.001 & ",-0.001," & vZ(1) + 0.001 & ",1" & vbCrLf)

```

```

1284      Print(2, "SELRANGE,ND,0,1,1,1," & vX(1) - 0.001 & "," & vX(1) + 0.001 &
", " & -0.001 & "," & vY(7) + 0.001 & ",-0.001," & vZ(1) + 0.001 & ",1" & vbCrLf)
1285      Print(2, "DND,1,AU,0,NDMAX,1, ;" & vbCrLf)

1286      appForce = Fmax / 4
1287      Print(2, " " & vbCrLf)
1288      Print(2, "C* Loading " & vbCrLf)
1289      Print(2, "INITSEL,ND,1,1" & vbCrLf)
1290      Print(2, "SELRANGE,ND,0,1,1,1," & -0.0001 & "," & 0.001 & ", " & vY(1) +
vY(2) + vY(3) - 0.001 & ", " & vY(1) + vY(2) + vY(3) + 0.001 & ",-0.0001,0.0001,1" &
vbCrLf)
1291      Print(2, "SELRANGE,ND,0,1,1,1," & vX(1) - 0.0001 & "," & vX(1) + 0.001 &
", " & vY(1) + vY(2) + vY(3) - 0.001 & ", " & vY(1) + vY(2) + vY(3) + 0.001 & ",-
0.0001,0.0001,1" & vbCrLf)
1292      Print(2, "SELRANGE,ND,0,1,1,1," & -0.0001 & "," & 0.001 & ", " & vY(1) +
vY(2) + vY(3) - 0.001 & ", " & vY(1) + vY(2) + vY(3) + 0.001 & ", " & vZ(1) - 0.0001 &
", " & vZ(1) + 0.0001 & ",1" & vbCrLf)
1293      Print(2, "SELRANGE,ND,0,1,1,1," & vX(1) - 0.0001 & "," & vX(1) + 0.001 &
", " & vY(1) + vY(2) + vY(3) - 0.001 & ", " & vY(1) + vY(2) + vY(3) + 0.001 & ", " &
vZ(1) - 0.0001 & ", " & vZ(1) + 0.0001 & ",1" & vbCrLf)
1294      Print(2, "FND,1,FY," & appForce & ",NDMAX,1" & vbCrLf)

1295      Print(2, " " & vbCrLf)
1296      Print(2, "C* Loading definitions " & vbCrLf)
1297      Print(2, "INITSEL,ND,1,1" & vbCrLf)
1298      Print(2, "SELRANGE,ND,0,1,1,1," & -vX(2) - 0.0001 & "," & -vX(2) + 0.001
& ", " & vY(1) - 0.001 & ", " & vY(1) + 0.001 & ",-0.0001,0.0001,1" & vbCrLf)
1299      Print(2, "SELRANGE,ND,0,1,1,1," & -vX(2) - 0.0001 & "," & -vX(2) + 0.001
& ", " & vY(1) + vY(2) - 0.001 & ", " & vY(1) + vY(2) + 0.001 & ",-0.0001,0.0001,1" &
vbCrLf)
1300      Print(2, "SELRANGE,ND,0,1,1,1," & -vX(2) - 0.0001 & "," & -vX(2) + 0.001
& ", " & vY(1) - 0.001 & ", " & vY(1) + 0.001 & ", " & vZ(1) - 0.0001 & ", " & vZ(1) +
0.0001 & ",1" & vbCrLf)
1301      Print(2, "SELRANGE,ND,0,1,1,1," & -vX(2) - 0.0001 & "," & -vX(2) + 0.001
& ", " & vY(1) + vY(2) - 0.001 & ", " & vY(1) + vY(2) + 0.001 & ", " & vZ(1) - 0.0001 &
", " & vZ(1) + 0.0001 & ",1" & vbCrLf)
1302      Print(2, "FND,1,FX," & appForce & ",NDMAX,1" & vbCrLf)

1303      End If

      'select all entities
1304      Print(2, " " & vbCrLf)
1305      Print(2, "C* Select all entities " & vbCrLf)
1306      Print(2, "INITSEL,ALL,1, 1" & vbCrLf)
1307      Print(2, "SELRANGE,ALL,0,1,1,1," & -0.001 - vX(2) & "," & vX(1) + 0.001
& ",-0.001," & vY(1) + vY(2) + vY(3) + 0.001 & ",-0.001," & vZ(1) + 0.001 & ",1" &
vbCrLf)
      'run static analysis
1308      Print(2, " " & vbCrLf)
1309      Print(2, "C* Run Static analysis" & vbCrLf)
1310      Print(2, "R_Static" & vbCrLf)

      'export displacements and node coordinates
1311      Call mygeofiles.ExportCoordinatesDisplacements()

      'create end file
1312      Print(2, " " & vbCrLf)
1313      Print(2, "ACTSET,CS,0" & vbCrLf)
1314      Print(2, "C* End of analysis" & vbCrLf)
1315      Print(2, "LISTLOG,1,end.lis,0" & vbCrLf)
1316      Print(2, "LISTLOG,0" & vbCrLf)

      'close mesh file

```



```

1317         FileClose(2)
1318         Main.ListBox1.Items.Add(Now & " Mesh has been created ")

        'run simulation
1319         ChDir(folderpath & "\" & myname & "\" & it)
1320         FileOpen(1, "run.bat", OpenMode.Append)
1321         Print(1, " " & exepath & " " & folderpath & "\" & myname & "\" & it &
"\it.gen " & folderpath & "\" & myname & "\" & "mesh-" & it & ".ses")
1322         FileClose(1)

1323         Shell(folderpath & "\" & myname & "\" & it & "\" & "run.bat", 6)

        'activate timer
1324         Main.Timer1.Enabled = True
1325         Main.ListBox1.Items.Add(Now & " FE software has been launched ")

End Sub

```

### Subrotina A6. Subrotina mesh\_wt()

```
Sub ExportCoordinatesDisplacements()
```

```

        'define coordinate system in the crack plane similar to the one used to define
the crack front coordinates
1       Print(2, "ACTSET,CS,0" & vbCrLf)
2
3       'coordinates
4       Print(2, " " & vbCrLf)
5       Print(2, "C* Coordinates A " & vbCrLf)
6       Print(2, "LISTLOG,1,CoordinatesA.lis,0" & vbCrLf)
7       For i = 1 To ncfp
8           Print(2, "CSANGL,3,1," & x(i) & "," & vY(1) + vY(2) + vY(5) & "," & z(i) &
",0," & angle(i) & ",0,0" & vbCrLf)
9           Print(2, "INITSEL,ND,1,1" & vbCrLf)
10          Print(2, "SELRANGE,ND,3,1,1,1," & (DistL1a - 0.001) & "," & (DistL1a +
0.001) & ",179,181,-0.001,0.001,1" & vbCrLf)
11          Print(2, "NLIST,1,ndmax,1,0" & vbCrLf)
12          Next
13          Print(2, "LISTLOG,0" & vbCrLf)

14          Print(2, "" & vbCrLf)
15          Print(2, "C* Coordinates B" & vbCrLf)
16          Print(2, "LISTLOG,1,CoordinatesB.lis,0" & vbCrLf)
17          For i = 1 To ncfp
18              Print(2, "CSANGL,3,1," & x(i) & "," & vY(1) + vY(2) + vY(5) & "," & z(i) &
",0," & angle(i) & ",0,0" & vbCrLf)
19              Print(2, "INITSEL,ND,1,1" & vbCrLf)
20              Print(2, "SELRANGE,ND,3,1,1,1," & (DistL1a + DistL2a) - 0.001 & "," &
(DistL1a + DistL2a) + 0.001 & ",179,181,-0.001,0.001,1" & vbCrLf)
21              Print(2, "NLIST,1,ndmax,1,0" & vbCrLf)
22              Next
23              Print(2, "LISTLOG,0" & vbCrLf)

        'displacements
24          Print(2, " " & vbCrLf)
25          Print(2, "C* Displacements A " & vbCrLf)
26          Print(2, "LISTLOG,1,DisplacementsA.lis,0" & vbCrLf)
27          For i = 1 To ncfp
28              Print(2, "CSANGL,3,1," & x(i) & "," & vY(1) + vY(2) + vY(5) & "," & z(i) &
",0," & angle(i) & ",0,0" & vbCrLf)
29              Print(2, "INITSEL,ND,1,1" & vbCrLf)

```

```

30      Print(2, "SELRANGE,ND,3,1,1,1," & DistL1a + -0.0001 & "," & DistL1a +
0.0001 & ",179,181,-0.001,0.001,1" & vbCrLf)
31      Print(2, "DISLIST,1,1,1,ndmax,1,0" & vbCrLf)
32      Next
33      Print(2, "LISTLOG,0" & vbCrLf)

34      Print(2, " " & vbCrLf)
35      Print(2, "C* Displacements B " & vbCrLf)
36      Print(2, "LISTLOG,1,DisplacementsB.lis,0" & vbCrLf)
37      For i = 1 To ncfp
38          Print(2, "CSANGL,3,1," & x(i) & "," & vY(1) + vY(2) + vY(5) & "," & z(i) &
",0," & angle(i) & ",0,0" & vbCrLf)
39          Print(2, "INITSEL,ND,1,1" & vbCrLf)
40          Print(2, "SELRANGE,ND,3,1,1,1," & (DistL1a + DistL2a) - 0.0001 & "," &
(DistL1a + DistL2a) + 0.0001 & ",179,181,-0.001,0.001,1" & vbCrLf)
41          Print(2, "DISLIST,1,1,1,ndmax,1,0" & vbCrLf)
42      Next
43      Print(2, "LISTLOG,0" & vbCrLf)

'forces
44      Print(2, " " & vbCrLf)
45      Print(2, "C* Applied forces" & vbCrLf)
46      Print(2, "LISTLOG,1,Forces.lis,0" & vbCrLf)
47      Print(2, "ACTSET,CS,0" & vbCrLf)
48      Print(2, "INITSEL,ALL,1, 1" & vbCrLf)
49      Print(2, "SELRANGE,ALL,0,1,1,1," & -0.001 - vX(2) & "," & vX(1) + 0.001 & ",-
0.001," & vY(1) + vY(2) + vY(3) + 0.001 & ",-0.001," & vZ(1) + 0.001 & ",1" & vbCrLf)
50      Print(2, "FLIST,1,ndmax,1" & vbCrLf)
51      Print(2, "LISTLOG,0" & vbCrLf)

'select all entities
52      Print(2, "C* Select all entities " & vbCrLf)
53      Print(2, "INITSEL,ALL,1, 1" & vbCrLf)
54      Print(2, "SELRANGE,ALL,0,1,1,1," & -0.001 - vX(2) & "," & vX(1) + 0.001 & ",-
0.001," & vY(1) + vY(2) + vY(3) + 0.001 & ",-0.001," & vZ(1) + 0.001 & ",1" & vbCrLf)

55      End Sub

```

### Subrotina A7. Subrotina ExportCoordinatesDisplacements()

```

Sub sif(x, y, z, coorA, coorB, dispA, dispB, rpA, rpB, FITA, FITB, FITp)

1      For i = 1 To ncfp

'radial distances
2          rpA(i) = ((x(i) - coorA(i, 1)) ^ 2 + (y(i) - coorA(i, 2)) ^ 2 + (z(i) -
coorA(i, 3)) ^ 2) ^ 0.5
3          rpB(i) = ((x(i) - coorB(i, 1)) ^ 2 + (y(i) - coorB(i, 2)) ^ 2 + (z(i) -
coorB(i, 3)) ^ 2) ^ 0.5

'stress intensity factors
4          FITA(i) = ((2 * Math.PI) ^ 0.5) * EX * dispA(i, 2) / (4 * ((rpA(i)) ^ 0.5)
* (1 - NUXY ^ 2))
5          FITB(i) = ((2 * Math.PI) ^ 0.5) * EX * dispB(i, 2) / (4 * ((rpB(i)) ^ 0.5)
* (1 - NUXY ^ 2))

'extrapolation for r=0
6          FITp(i) = FITA(i) - rpA(i) * (FITB(i) - FITA(i)) / (rpB(i) - rpA(i))

'correction for plane stress state at surface
7          If i = ncfp Then

```

```

8         FITp(i) = FITp(i) * (1 - NUXY ^ 2)
9     End If

10        If SYM = 0 Then 'caso sem simetria (fenda de canto com simetria nas duas
extremidades da fenda)
11            FITp(1) = FITp(1) * (1 - NUXY ^ 2)
12        End If

13    Next

        'save values
14        FileOpen(3, folderpath & "\" & myname & "\output-" & myname & ".out",
OpenMode.Append)
15        Print(3, "iteration " & it & vbCrLf)
16        Print(3, "i  Ax  Ay  Az  Bx  By  Bz  AUx  AUy  AUz  BUx  BUy  BUz  rpA
rpB  FITA  FITB  FIT " & vbCrLf)
17        For i = 1 To ncfp
18            Print(3, i & " " & coorA(i, 1) & " " & coorA(i, 2) & " " & coorA(i, 3) & "
" & coorB(i, 1) & " " & coorB(i, 2) & " " & coorB(i, 3) & " " & dispA(i, 1) & " " &
dispA(i, 2) & " " & dispA(i, 3) & " " & dispB(i, 1) & " " & dispB(i, 2) & " " & dispB(i,
3) & " " & rpA(i) & " " & rpB(i) & " " & FITA(i) & " " & FITB(i) & " " & FITp(i) &
vbCrLf)
19        Next
20        FileClose(3)

21 End Sub

```

### Subrotina A8. Subrotina SIF()

```

Sub effectiveSIFrange(FIT, deltaFIT)

        'stress intensity factor range
1     For i = 1 To ncfp
2         deltaFIT(i) = FIT(i) * (1 - (Fmin / Fmax))
3     Next

        'save values
4     FileOpen(3, folderpath & "\" & myname & "\output-" & myname & ".out",
OpenMode.Append)
5     Print(3, "stress intensity factor ranges " & it & vbCrLf)
6     Print(3, "i  value " & vbCrLf)
7     For i = 1 To ncfp
8         Print(3, i & " " & deltaFIT(i) & vbCrLf)
9     Next
10    FileClose(3)

11 End Sub

```

### Subrotina A9. Subrotina effectiveSIF()

```

Sub newcrackfront(deltaFIT, x)

        'calculate second order derivatives of current crack front nodes
1     Call mycubicspline.SecondDerivatives(iAngle, iRadius, ncfp, D2)
2     FileOpen(3, folderpath & "\" & myname & "\output-" & myname & ".out",
OpenMode.Append)
3     Print(3, "Second order derivatives " & vbCrLf)

```

```

4     For i = 1 To ncfp
5         Print(3, "Node " & i & " " & D2(i) & vbCrLf)
6     Next
7     FileClose(3)

'crack propagation direction
8     Call mycubicspline.crackpropagationdirection(iAngle, iRadius, ncfp, D2, deriv)
9     FileOpen(3, folderpath & "\" & myname & "\output-" & myname & ".out",
OpenMode.Append)
10    Print(3, "Crack propagation direction (first order derivatives) " & vbCrLf)
11    For i = 1 To ncfp
12        Print(3, "Node " & i & " " & deriv(i) & vbCrLf)
13    Next
14    FileClose(3)

'find maximum effective stress intensity factor range
15    DFITmax = deltaFIT(1)
16    For i = 1 To ncfp
17        If deltaFIT(i) > DFITmax Then
18            DFITmax = deltaFIT(i)
19        End If
20    Next
21    Kmax = DFITmax * (Fmax / (Fmax - Fmin))
22    FileOpen(3, folderpath & "\" & myname & "\output-" & myname & ".out",
OpenMode.Append)
23    Print(3, "Maximum stress intensity factor " & vbCrLf)
24    Print(3, Kmax & vbCrLf)
25    FileClose(3)

'calculate number of fatigue cycles
26    DeltaN = (DAmax * 0.001) / (CCC * ((0.001 ^ 0.5) * DFITmax) ^ mmm)
'(m/cycle; MPa m0.5)
27    FileOpen(3, folderpath & "\" & myname & "\output-" & myname & ".out",
OpenMode.Append)
28    Print(3, "Number of loading cycles " & vbCrLf)
29    Print(3, DeltaN & vbCrLf)
30    FileClose(3)

'calculate crack increments
31    For i = 1 To ncfp
32        deltaA(i) = DAmax * ((deltaFIT(i) / DFITmax) ^ mmm)
33    Next
34    FileOpen(3, folderpath & "\" & myname & "\output-" & myname & ".out",
OpenMode.Append)
35    Print(3, "Nodal crack advances " & vbCrLf)
36    For i = 1 To ncfp
37        Print(3, i & " " & deltaA(i) & vbCrLf)
38    Next
39    FileClose(3)

'calculate new nodal positions (in cartesian and polar coordinates)
40    For i = 1 To ncfp
41        pX(i) = x(i) + deltaA(i) * (Math.Cos(Math.Atan(deriv(i))))
42        pY(i) = 0
43        pZ(i) = z(i) - deltaA(i) * (Math.Sin(Math.Atan(deriv(i))))
'corrige se a fenda anda para trás
44        If pZ(i) < z(i) Then
45            pX(i) = x(i) + deltaA(i) * (Math.Cos(Math.Atan(-deriv(i))))
46            pY(i) = 0
47            pZ(i) = z(i) - deltaA(i) * (Math.Sin(Math.Atan(-deriv(i))))
48        End If
49    Next
50

```

```

51     FileOpen(3, folderpath & "\" & myname & "\output-" & myname & ".out",
OpenMode.Append)
52     For i = 1 To ncfp
53         pRadius(i) = ((pX(i) ^ 2) + (pZ(i) ^ 2)) ^ 0.5
54         pAngle(i) = Math.Atan((pZ(i)) / pX(i))
55         Print(3, i & " " & pAngle(i) & " " & pRadius(i) & vbCrLf)
56     Next

57     Print(3, "graus" & vbCrLf)
58     For i = 1 To ncfp
59         pAngle(i) = pAngle(i) * (180 / Math.PI)
60     Next
61     FileClose(3)

62     FileOpen(3, folderpath & "\" & myname & "\output-" & myname & ".out",
OpenMode.Append)
63     Print(3, "New crack front positions in cartesian coordiantes (not optimised) "
& vbCrLf)
64     Print(3, "i   X       Y       Z " & vbCrLf)
65     For i = 1 To ncfp
66         Print(3, i & " " & pX(i) & " " & pY(i) & " " & pZ(i) & vbCrLf)
67     Next
68     Print(3, "New crack front positions in polar coordiantes (not optimised) " &
vbCrLf)
69     Print(3, "i   teta(rad)  teta(graus)    r " & vbCrLf)
70     For i = 1 To ncfp
71         Print(3, i & " " & pAngle(i) & " " & pRadius(i) & vbCrLf)
72     Next
73     FileClose(3)

'calculate second order derivatives of provisional crack front nodes
'Call mycubicspline.SecondDerivatives(pZ, pX, ncfp, D2)
74     Call mycubicspline.SecondDerivatives(pAngle, pRadius, ncfp, D2)
75     FileOpen(3, folderpath & "\" & myname & "\output-" & myname & ".out",
OpenMode.Append)
76     Print(3, "Second order derivatives of the new crack front (for optimisation)"
& vbCrLf)
77     For i = 1 To ncfp
78         Print(3, i & " " & D2(i) & vbCrLf)
79     Next
80     FileClose(3)

81     ai = 1
82     af = ncfp - 1

83     FileOpen(3, folderpath & "\" & myname & "\output-" & myname & ".out",
OpenMode.Append)
'first node
84     Print(3, "iAngle(1) " & iAngle(1) & vbCrLf)
85     Print(3, "pAngle(1) " & pAngle(1) & vbCrLf)
86     If iAngle(1) < pAngle(1) Then
87         fRadius(1) = pRadius(1)
88         ai = 2
89     End If
90     Print(3, "pRadius(1) " & pRadius(1) & vbCrLf)
91     Print(3, "fRadius(1) " & fRadius(1) & vbCrLf)

'last node
92     Print(3, "iAngle(ncfp) " & iAngle(ncfp) & vbCrLf)
93     Print(3, "pAngle(ncfp) " & pAngle(ncfp) & vbCrLf)
94     If (iAngle(ncfp) > pAngle(ncfp)) Then
95         fRadius(ncfp) = pRadius(ncfp)
96         af = ncfp - 1

```

```

97     End If
98     Print(3, "pRadius(ncfp) " & pRadius(ncfp) & vbCrLf)
99     Print(3, "fRadius(ncfp) " & fRadius(ncfp) & vbCrLf)

100    nint = 1
101    For i = ai To af
102        nint = 1
103        Do While Not ((iAngle(i) >= pAngle(nint)) And (iAngle(i) <= pAngle(nint +
1)))
104            nint = nint + 1
105            If nint + 1 > 100 Then
106                End If
107            Loop
108            Term1 = D2(nint) * (pAngle(nint + 1) - iAngle(i)) ^ 3 / (6 * (pAngle(nint
+ 1) - pAngle(nint)))
109            Term2 = D2(nint + 1) * (iAngle(i) - pAngle(nint)) ^ 3 / (6 * (pAngle(nint
+ 1) - pAngle(nint)))
110            Term3 = (pRadius(nint) / (pAngle(nint + 1) - pAngle(nint)) - D2(nint) *
(pAngle(nint + 1) - pAngle(nint)) / 6) * (pAngle(nint + 1) - iAngle(i))
111            Term4 = (pRadius(nint + 1) / (pAngle(nint + 1) - pAngle(nint)) - D2(nint
+ 1) * (pAngle(nint + 1) - pAngle(nint)) / 6) * (iAngle(i) - pAngle(nint))
112            fRadius(i) = Term1 + Term2 + Term3 + Term4
113        Next

        'surface node
114        For i = 1 To ncfp
115            fAngle(i) = iAngle(i)
116        Next
117        FileClose(3)

        'save final crack front coordinates
118        FileOpen(3, folderpath & "\" & myname & "\output-" & myname & ".out",
OpenMode.Append)
119        Print(3, "Final coordinates of the new crack front (polar coordinates) " &
vbCrLf)
120        Print(3, "i    angle        radius " & vbCrLf)
121        For i = 1 To ncfp
122            Print(3, i & "    " & fAngle(i) & "    " & fRadius(i) & vbCrLf)
123        Next
124        FileClose(3)

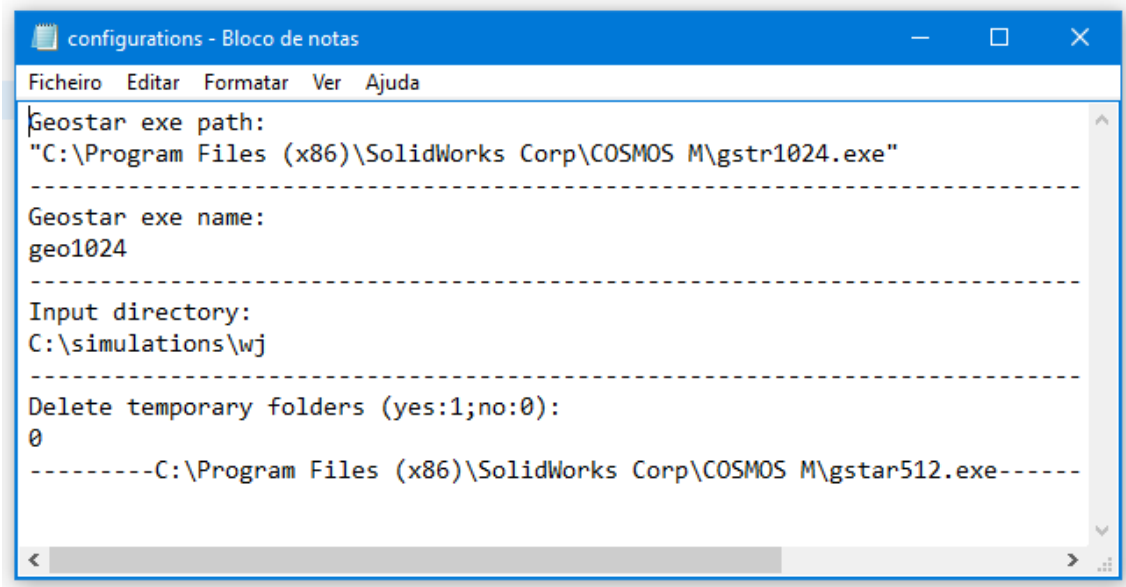
125    End Sub

```

### Subrotina A10. Subrotina newcrackfront()



## APÊNDICE B

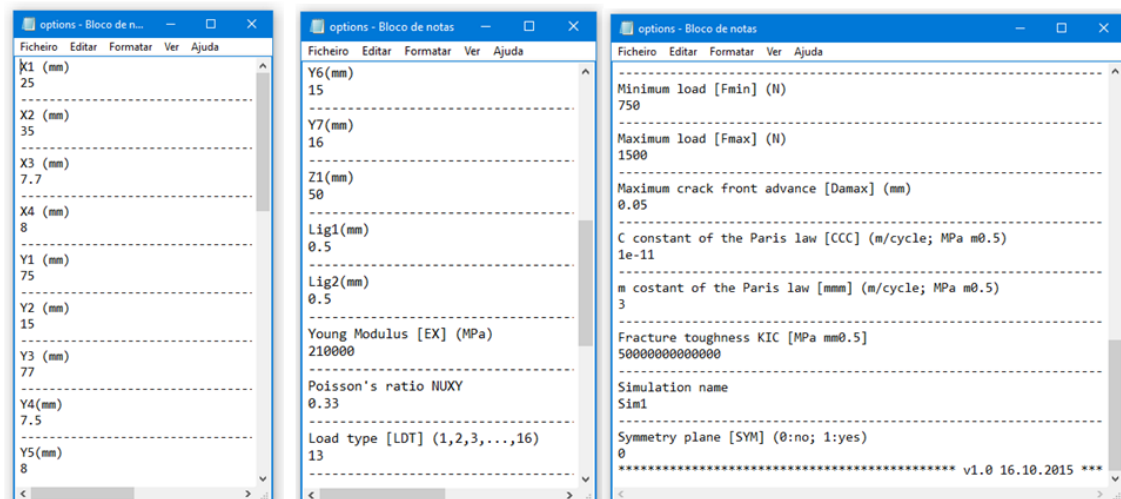


```

configurations - Bloco de notas
Ficheiro Editar Formatar Ver Ajuda
Geostar exe path:
"C:\Program Files (x86)\SolidWorks Corp\COSMOS M\gstr1024.exe"
-----
Geostar exe name:
geo1024
-----
Input directory:
C:\simulations\wj
-----
Delete temporary folders (yes:1;no:0):
0
-----C:\Program Files (x86)\SolidWorks Corp\COSMOS M\gstar512.exe-----

```

Figura B.1. Ficheiro ASCII para abertura do programa de elementos finitos (*configurations.txt*).



```

options - Bloco de n...
Ficheiro Editar Formatar Ver Ajuda
X1 (mm)
25
-----
X2 (mm)
35
-----
X3 (mm)
7.7
-----
X4 (mm)
8
-----
Y1 (mm)
75
-----
Y2 (mm)
15
-----
Y3 (mm)
77
-----
Y4 (mm)
7.5
-----
Y5 (mm)
8
-----

options - Bloco de notas
Ficheiro Editar Formatar Ver Ajuda
Y6 (mm)
15
-----
Y7 (mm)
16
-----
Z1 (mm)
50
-----
Lig1 (mm)
0.5
-----
Lig2 (mm)
0.5
-----
Young Modulus [EX] (MPa)
210000
-----
Poisson's ratio NUXY
0.33
-----
Load type [LDT] (1,2,3,...,16)
13
-----

options - Bloco de notas
Ficheiro Editar Formatar Ver Ajuda
-----
Minimum load [Fmin] (N)
750
-----
Maximum load [Fmax] (N)
1500
-----
Maximum crack front advance [Damax] (mm)
0.05
-----
C constant of the Paris law [CCC] (m/cycle; MPa m0.5)
1e-11
-----
m constant of the Paris law [mmm] (m/cycle; MPa m0.5)
3
-----
Fracture toughness KIC [MPa mm0.5]
5000000000000000
-----
Simulation name
Sim1
-----
Symmetry plane [SYM] (0:no; 1:yes)
0
-----
***** v1.0 16.10.2015 *****

```

Figura B.2. Ficheiro ASCII para definição da geometria do provete em T, do nível de penetração dos cordões de soldadura, dos tipos e magnitude dos carregamentos e das propriedades do material (*options.txt*).



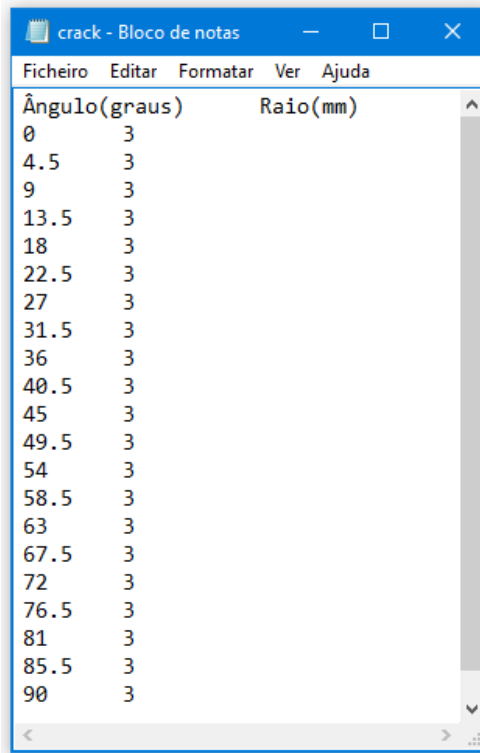


Figura B.3. Ficheiro ASCII para definição da frente de fenda inicial (*crack.txt*).

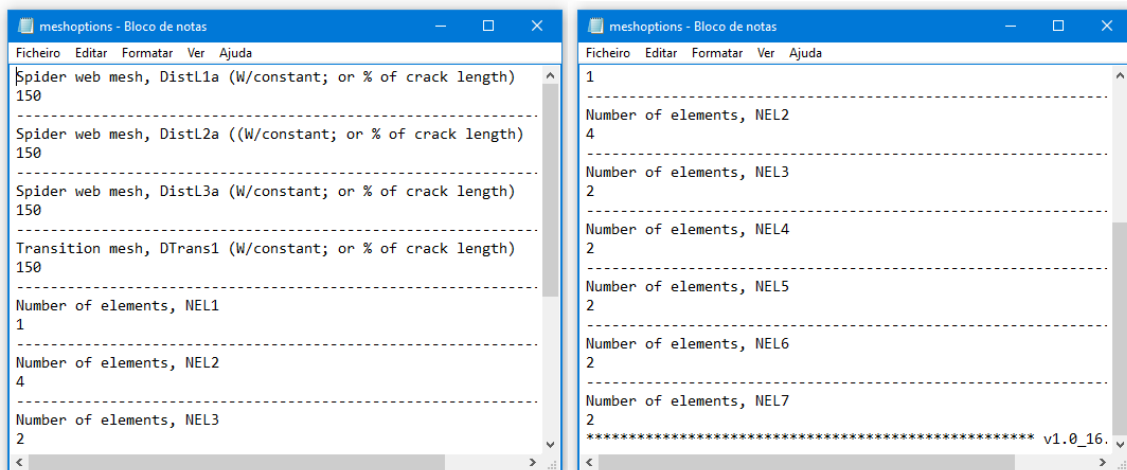


Figura B.4. Ficheiro ASCII para definição das variáveis  $L_1$ ,  $L_2$ ,  $L_3$  e  $L_4$  (correspondentes as primeiras 4 variáveis do ficheiro) e das variáveis NEL (*meshoptions.txt*).

hwp	xw(nwp)	yw(nwp)	nwpnf	xwnf(nwp-1)	ywnf(nwp-1)
1	0.5	0.51	0	0	0
2	0.75	0.751	1	0.755	0.754
3	1.5	1.51	2	1.55	1.54
4	2.25	2.251	3	2.255	2.254
5	3	3.251	4	3.1	3.12
6	4	4.1	5	4.1	4.11
7	6	6.1	6	6.1	6.11
8	7	7.1	7	7.1	7.11

**Figura B.5.** Ficheiro ASCII para definição dos perfis de soldadura fissurados (3 colunas da esquerda) e não fissurados (3 colunas da direita) (*weldprofile.txt*).

Angulo(graus)	Raio(mm)
0	3.054142
4.5	3.017283
9	3.001588
13.5	3.00005
18	3.000004
22.5	3.000148
27	3.000467
31.5	3.000796
36	3.000996
40.5	3.001032
45	3.000933
49.5	3.000762
54	3.000557
58.5	3.000355
63	3.000179
67.5	3.000056
72	3.000005
76.5	3.000001
81	3.000023
85.5	3.000126
90	3.000219
2	
5021	

**Figura B.6.** Ficheiro ASCII para definição da frente de fenda inicial, nº de iterações e nº de corridas realizadas (*resume.out*).